

**Raimund Ubar**

# **Digitaalsüsteemide diagnostika**

**I**

**Diagnostiline modelleerimine**

**TTÜ**

**KIRJASTUS**

Selle õppevahendi väljaandmist  
Toetas Eesti Infotehnoloogia Sihtasutus  
Tiigriülikooli projekti kaudu

Autoriõigus © Raimund Ubar 2005

Autoriõigus © Tallinna Tehnikaülikool 2005

Kaanekujundus: Tiina Ubar Sauter

# Sisukord

Eessõna .....	5
Sissejuhatus .....	8
1. Digitaalsüsteemide diagnostiline modelleerimine .....	15
1.1. Boole'i differentsiaalaparaat .....	16
1.1.1. Boole'i osatuletised .....	16
1.1.2. Osatuletiste omadusi .....	19
1.1.3. Boole'i vektortuletised .....	21
1.1.4. Kordsed Boole'i osatuletised .....	23
1.1.5. Liitfunktsioonide differentseerimine .....	25
1.1.6. Osatuletiste kasutamine järjestikskeemide analüüsil .....	27
1.1.7. Boole'i diffentsiaalid .....	30
1.1.8. Digitaalskeemide diagnostika üldvõrrand .....	34
1.2. Otsustusdiagrammid .....	36
1.2.1. Binaarsete otsustusdiagrammide mõiste .....	37
1.2.2. Struktuurselt sünteesitud binaarsed otsustusdiagrammid .....	39
1.2.3. Diagnostikaoperatsioonid SSBOD mudelil .....	45
1.2.4. Otsustusdiagrammide üldjuhtum .....	49
1.2.5. Otsustusdiagrammid juhtautomaatidele .....	55
1.2.6. Otsustusdiagrammid digiaalsüsteemidele registersiirete tasandil .....	63
1.2.7. Otsustusdiagrammid mikroprotsessorite diagnostiliseks modelleerimiseks .....	75
1.3. Kokkuvõtteks .....	77
2. Rikete modelleerimine digitaalsüsteemides .....	80

2.1.	Rikete klassifikatsioon .....	81
2.1.1.	Defektid, rikked, vead .....	81
2.1.2.	Rikete mudelite üldised omadused .....	82
2.1.3.	Konstantsed rikked .....	85
2.1.4.	Lühised, katkestused ja viiterikked .....	87
2.2.	Konstantsete rikete omadused .....	94
2.2.1.	Rikete liiasus .....	94
2.2.2.	Rikete dominantsus ja ekvivalentsussuhted .....	96
2.2.3.	Rikete maskeerumine .....	101
2.3.	Funktsionaalne rikke mudel .....	104
2.3.1.	Rikete modelleerimine Boole'i differentsiaalvõrranditega .....	104
2.3.2.	Füüsikaliste defektide kujutamine loogikatasandile .....	108
2.3.3.	Ühendusahelate defektide kujutamine loogikatasandile .....	114
2.3.4.	Rikete hierarhiline esitus .....	117
2.4.	Kõrgtasandi rikete mudelid .....	119
2.4.1.	Mikroprotsessori funktsionaalne rikete mudel .....	120
2.4.2.	Registersiirete tasandi rikete mudelid .....	124
2.4.3.	Rikete modelleerimine otsustusdiagrammidega .....	126
2.5.	Kokkuvõtteks .....	132
	Kirjandus .....	134
	Lühendid .....	138
	Mõisteregister .....	139

## Eessõna

*“Eksimine on inimlik.  
Et aga tõeliselt kõik ära rikkuda,  
on vaja arvutit”  
(insenerifolkloor)*

Viimase 10 aastaga on inimkond rohkem teadmisi produtseerinud kui kogu eelneva tsivilisatsiooni vältel. Selle tulemusena on tekkinud meeletu kiirusega arenev tehismaailm, kus ühelt poolt, materiaalsed artifaktid on suurendanud inimese tugevust ja kiirust, ning teiselt poolt, kognitiivsed artifaktid (arvutid) on teinud teda targemaks ja kavalamaks.

Arvutite võimsus kahekordistub pooleteise aastaga. Aastast 1950 kuni tänaseni on see kasvanud 10 miljardit korda. See on palju rohkem, kui see võimsuse kasv, mille tõi kaasa üleminek dünamiidilt vesinikupommile. Hiilivalt pealetungiv infotehnoloogiline *ubikvism* (nähtamatud arvutid kõikjal ja ei kusagil – *ubiquitous computing*) on muutmas ulmeraamatute stsenaariumid tõelisuseks.

Tehnoloogia keerukus kasvab, aga keerukus kätkeb endas ootamatusi ja mittekavandatut. Elu on täis ohte, aga võrku ühendatud arvutid, mis juhivad ja kontrollivad tehismaailma, on täis veelgi suuremaid ohte: arvutirikete põhjustatud lennukatastroofid, õnnetused keemiatööstuses, tuumajaamades... Tehissüsteemide ohutus ja turvalisus on muutumas sageli olulisemaks kui niisuguste süsteemide täiuslikkus.

Esimest arvutiviga maailmas dateeritakse aastaga 1945, kui koiliblikas sattus Harvardis arvuti Mark II kahe relee vahele. 1991. a. Lahesõjas tabab Iraaki suunatud raket USA enda raketibaasi, kuna ümardamisvea tõttu arvutas kompuuter valesti raketi trajektoori. 1995. a. plahvatab Ariane-5 juba 40 sek. pärast starti tarkvaravea tõttu inertsiaalsüsteemis. 1996. a. saadab Intel turule mikroprotsessori, mille jagamistehe töötab riistvara vea tõttu valesti. 1998. a. USA kogukahjum arvutivigadest oli 11 miljardit dollarit. 43% firmadest, keda on tabanud andmekatastroof arvutisüsteemis, pankrotistub.

Üha suurenev sõltuvus tehnoloogiast teeb inimese kergesti haavatavaks ja abituks olukordades, kus tehnika hakkab tõrkuma. Harilikult märkamegi seda sõltuvust alles siis, kui saabub õnnetus, milleks me valmis pole olnud.

Möödunud sajandi keskel eeskätt lennuki- ja raketitööstuse vajadusel kujunes välja inseneriteadus, mida nimetatakse *tehniliseks diagnostikaks*. Eriti suure arenguhoo sai see teadus arvutite ilmumisel tehismaailma, mille põhjuseks oli tehissüsteemide s.t. arvutite keerukuse kiire kasv. Paradoksaalne on see, et keerukuse teooria loodi digitaalse tehismaailma jaoks, mis oma olemuselt on lõplik, aga mitte analoogmaailma jaoks, mille dimensiooniks on lõpmatus.

Submikron-tehnoloogia ning juba käivitud investeringud nanotehnoloogiasse elektroonikas võimaldavad inseneridel luua üha keerukamaid mikroküpe - integraalskeeme. Arvutid ja arvutivõrgud ühesaansas mikroskeemis on saanud tavapäraseks kõrgtehnoloogiliseks produktiks tänapäeval.

Mida keerukam on aga süsteem, seda kindlamiini kehtib Murphy seadus: *kui miski võib untsu minna, siis ta ka läheb*. Keerukus tähendab rohkete vigade võimalusi nii süsteemide projekteerimisel, valmistamisel kui ka nende kasutamisel. Seega, mida keerukam on süsteem, seda olulisemaks muutuvad süsteemi testimine, diagnostika ja veakindlus. Kulutused elektroonikasüsteemide testimisele ulatuvad sageli kuni 70%-ni (!) kõikidest tootmiskuludest tööstuses. Kuidas projekteerida süsteeme nii, et nad oleksid kergemini (odavamalt) ja paremini testitavad – on uus inseneriprobleem süsteemitehnikas.

Elektroonika-, arvuti- ja süsteemiinseneride hariduse oluliseks komponendiks on tänapäeval saanud teadmised ja oskused skeemide, seadmete ja süsteemide testimise ning diagnostika alal. Süsteemide usaldatavuse ja veakindlusega seotud distsipliin on hakatud õpetama tehnikaülikoolides üha laialdasemamalt ja põhjalikumalt.

Laiemaski mõttes tähendab tehniline diagnostika kui õppeaine intellektuaalset harjutust põhjuste ja tagajärgede mõtestamisel ning omab seetõttu küllaltki olulist didaktilist tähendust insenerihariduse kujundamisel. *Diagnostika* on aine, mis õpetab formuleerima õigeid küsimusi, õpetab planeerima eksperimente ning õpetab analüüsima eksperimentide tulemusi. Tehissüsteemide maailm on rikas eri valdkondade iseärasuste poolest, aga ühiseks siduvaks jooneks on süsteemide loogikaline keerukus. Seetõttu ongi just digitaalsüsteemid tehismaailma kõige iseloomulikumaks esindajaks tehnilise diagnostika probleemide uurimisel ja mõistmisel.

Viimastel aastatel on ilmunud rohkesti võõrkeelset õppe- teadus- ja teatmealast kirjandust elektronskeemide, arvutite ja digitaalsüsteemide testimise ning diagnostika kohta.

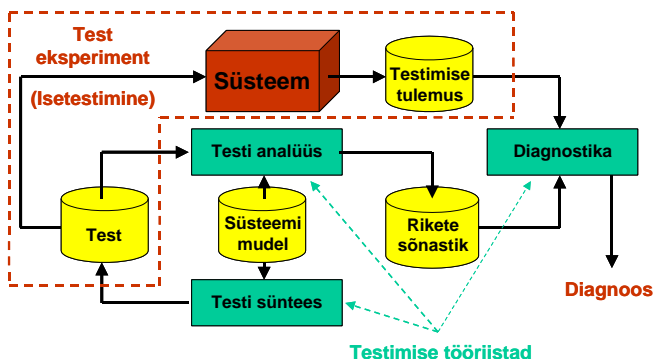
Käesoleva raamatu eesmärgiks on täita lünk eestikeelse kirjanduse puudumise osas nimetatud valdkonnas.

Raamat on plaanis avaldada mitmeosalisena. Esimeses osas käsitletakse digitaalsüsteemide diagnostilise modelleerimise teoreetilisi aluseid, mille eesmärgiks on kujundada baas diagnostikaprobleemide matemaatiliseks uurimiseks ning analüüsiks, nende lahendamise algoritmiseerimiseks ja automatiseerimiseks. Järgmistes osades vaadeldakse diagnostikatestide sünteesi ja analüüsi probleeme, testprogrammide automaatse genereerimise meetodeid, rikete simuleerimist ja diagnoosi ehk rikete asukoha lokaliseerimist, süsteemide projekteerimise ja diagnostika omavahelisi seoseid, seda, kuidas luua hõlpsamini testitavaid ja diagnoositavaid süsteeme, kuidas projekteerida iseenast testitavaid seadmeid ja kuidas tagada süsteemide usaldatavust ning veakindlust.

## Sissejuhatus

Digitaalsüsteemide *tehnilise diagnostika* eesmärgiks on testimise abil kindlaks teha, kas süsteem on töökorras ja kui ta ei ole töökorras, siis lokaliseerida rikete asukoht nende kõrvaldamiseks. Laiemas mõttes tähendab *diagnostika* nii *testimist* kui rikete lokaliseerimist, kitsamas mõttes ainult *rikete lokaliseerimist* ehk diagnoosi.

Diagnostika tähtsamaid omavahel seotud ülesandeid ja nende lahendamiseks kasutatavaid tööriistu esitab ülevaatlilikult joonis 1. Keskseks objektiks on siin testimisele ja diagnoosimisele kuuluv *tehniline süsteem*. *Testeksperiment* selle süsteemiga võidakse läbi viia kas spetsiaalse välise testimisseadme (automaatse *testri*) abil või süsteemi enda ressursside poolt, mida nimetatakse *isetestimiseks*.



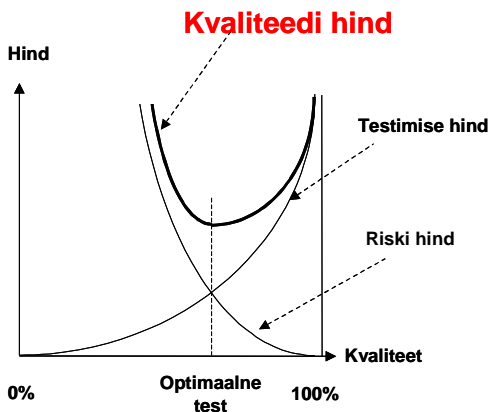
Joonis 1. Testimise tööriistad

Mõlemal testimise juhul on vaja rakendada *testi* ehk *testvektorite* jada, mis on eelnevalt genereeritud ja hoitakse testi mälus või mida genereeritakse jooksvalt (ehk *on-line*) spetsiaalsete süsteemi sisseehitatud



vahendite poolt isetestimise käigus. *Testi kvaliteet* (avastatavate rikete protsent kõigi võimalike rikete suhtes) tehakse kindlaks *testi analüüsi* tööriistadega, milleks on harilikult tarkvaralised testide analüsaatorid ehk *rikete simulaatorid*. Viimaste abil konstrueeritakse ka *rikete sõnastik*, mida saab tarvitada tehnilise diagnoosi panemiseks. *Testide sünteesiks* kasutatakse väga keerulisi tarkvaratööriistu – testide generaatoreid.

Mida tähendab *testigeneraator*? See on programm, mis analüüsib sadadest tuhandetest loogikaelementidest koosnevat elektronskeemi (õigemini, tema mudelit), määrab kindlaks kõik selles skeemis esineda võivad *rikked* – lühised ja katkestused elementide sees ning ühenduste vahel – ja seejärel hakkab iga sellise rikke jaoks otsima niisugust signaalide kogumit (*testi*), mille rakendamisel skeemi sisenditele avastatakse nimetatud rike juhul, kui see skeemis ette tuleks. Kui skeem koosneks mõnest tuhandest elemendist, siis sünteesiks parimad generaatorid selle testi mõne minutiga. Mõnekümne tuhande elemendi puhul võib kuluda aega juba tunde, ja edasi kasvava keerukuse puhul suureneks vajalik aeg juba eksponentsiaalselt. Reaalsed digitaalsüsteemid koosnevad aga miljonitest elementidest. Kuidas siis genereerida niisugustele süsteemidele teste, jäädes seejuures realistliku aja piiridesse?



*Joonis 2. Testimise ja riski maksumuse vahekord*

Tehnilise diagnostika filosoofiliseks põhiküsimuseks ongi – *kui palju testida* uurimise all olevat süsteemi olemaks kindel, et süsteem on töökorras. Teiseks tähtsaks, aga rohkem juba tehniliseks põhiküsimuseks on: kus asub rike, kui on testimise teel juba kindlaks tehtud, et süsteem ei

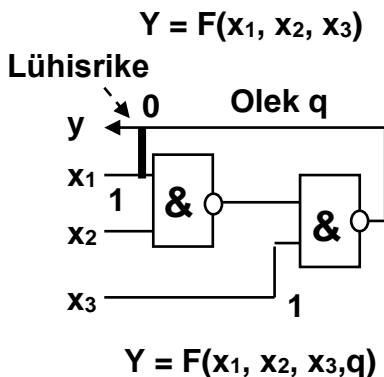
töötä. Mõlema probleemi lahendus koosneb kahest poolest – testide sünteesist (genereerimisest) ja testide analüüsist.

*Testimine* on tegelikult kvaliteedi ja selle tagamiseks vajalike kulutuste ehk raha dilemma. Mida rohkem ja põhjalikumalt testime, seda kindlamalt garanteerime süsteemi kvaliteeti (loe siinkohal: *usaldusväärust*). Aga testimine tähendab kulutusi. Mida rohkem testime, seda rohkem kulutame aega ja ressursse ehk kokkuvõttes raha. Samas, kui ei testiks üldse või testiks liiga vähe, siis *riskiksime* vigade tekkimisega süsteemi töös võimalike avastamata jäänud rikete tõttu ja kõigest sellest tulenevate pahandustega, mida lõppkokkuvõttes trahvide, kompensatsioonide jms. näol tuleks lõpuks kinni maksta. Nii testimisel on hind kui ka *riskil* on hind. Kusagil on aga kompromiss, nagu näitavad joonisel 2 olevad kõverad.

Kvaliteedi hinna kõveral on miinimum, mida ilmselt tulekski taotleda. See miinimum tähendab sisuliselt parimat kulutuste ja riski vahekorda.

Probleem on vaid selles, et täpseid kõveraid ja parimat kompromissi kulutuste ja riski vahel on väga raske välja arvutada.

Esimeseks raskuseks oleks testi *100%-lise kvaliteedi* määrang. Kuidas kindlaks teha, et test annab 100%-lise garantii süsteemi töökorras oleku kohta? Üheks võimaluseks oleks läheneda probleemile “terve mõistuse” loogika abil: kui süsteem töötab, siis on ta ka töökorras. Aga kuidas kindlaks teha, et süsteem töötab?



*Joonis 3. Lühisriike digitaalskeemis*

Võtame näiteks 32-bitise *summaatori*. Selleks, et kindlaks teha, et summaator töötab õigesti, tuleks läbi summeerida

$$2^{64} = 18\,446\,700\,000\,000\,000\,000 \approx 10^{19}$$

arvupaari. Selle sooritamiseks kuluks 1GHz summeerimissageduse juures 3 sajandit (!). Aga isegi see poleks piisav (!).

Kujutleme *lühisriket* joonisel 3 näidatud skeemi ühe sisendi ja väljundi vahel. 3-sisendilise *kombinatsioonskeemi*  $y = F(x_1, x_2, x_3)$  täielikuks testimiseks oleks vaja  $2^3 = 8$  testvektorit. Aga lühise tõttu pole enam tegemist kombinatsioonskeemiga. Rikke tulemusena on tekkinud triger ehk *järjestikskeem* (lõplik automaat) olekuga  $q$ , mille väljundfunktsioonil  $y = F(x_1, x_2, x_3, q)$  on mitte 3 vaid 4 argumenti. Seetõttu oleks täielikuks testimiseks vaja nüüd  $2^4 = 16$  testvektorit. Pöördudes tagasi summaatori juurde, tähendaks ühe oleku lisandumine *testimisaja* kahekordistumist ehk 3 sajandi asemel 6 sajandit. Kuna võimalike sekventsiaalsete lühiste arv võib suuremas skeemis küllalt suur olla ja kuna arvesse tuleks võtta ka lühiste suvalisi kombinatsioone, siis näemegi, et kõigi testimiseks vajalike testvektorite arvu ülemine piir kipub praktiliselt lõpmatu suureks kujunema.

Väljapääs olukorrast oleks loobuda niisuguse *funktsionaalse testimise* käsitlusest ja asendada see *struktuurse* lähenemisega. Näiteks 32-bitist summaatorit võib kirjeldada kombinatsioonskeemina, mis realiseerib 32 loogikafunktsiooni paari

$$s_i = \overline{a_i b_i c_i} \vee \overline{a_i b_i} c_i \vee \overline{a_i} b_i c_i \vee a_i b_i c_i$$

$$c_{i+1} = a_i b_i \vee a_i c_i \vee b_i c_i.$$

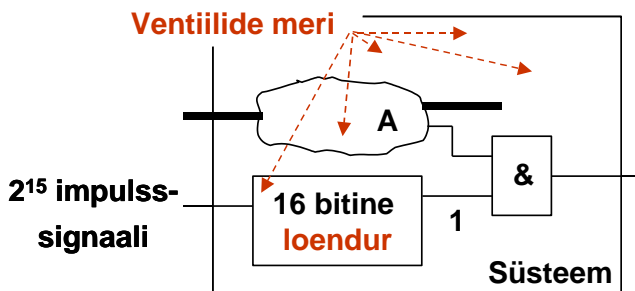
Kokku oleks niisuguses skeemis  $32 \cdot 3$  sisendit,  $32 \cdot 18$  sisendharu ja  $32 \cdot 7$  ühendust ehk kokku 896 juhet. Igal juhtmel võib kujutleda kahte võimalikku *loogilist riket* “konstant 0” ja “konstant 1”, seega kõikide rikete koguarv oleks 1792. Iga niisuguse rikke avastamiseks oleks vaja leida üks testvektor ehk kahe summeeritava arvu paar. See oleks ühtlasi ka *testimise keerukuse* mõõduks, mis oleks juba päris realistlik. Edaspidi näeme (raamatu teises osas), et tegelikult piisaks suvalise sõnapikkusega *järjestikülekandega* summaatori testimiseks ka ainult 8-st arvupaarist.

On lihtne näha, et struktuurse ehk *riketepõhise* lähenemisviisi puhul ülesande keerukus kujuneb mõõtmatult väiksemaks kui funktsionaalse lähenemise puhul. Ometigi pörkame ka siin kohe raskustele: skeemis võivad ju põhimõtteliselt tekkida ka *mitmekordsed* rikked. On lihtne arvutada, et  $n$ -juhtmelises skeemis on kõigi võimalike kordsete rikete arv  $3^n - 1$ , ehk antud juhul 32-bitise summaatori puhul  $3^{1792} - 1$ . Iga juhe võib olla kolmes

võimalikus olekus: “konstant 0”, “konstant 1” või “korras”. Rikete loetlemisel ei tule arvesse situatsioon, kus kõik juhtmed on “korras”. Seega ka struktuurse lähenemise korral viib täiuslikkuse taotlemine meid keerukuse lõksu ja praktiliste lahenduste leidmiseks tuleb ülesannet “mõistlikult” lihtsustada. Üheks niisuguseks võimaluseks oleks eeldus, et skeemis võib alati olla korraga ainult üks rike. Sellise eelduse põhjenduseks on see, et kordsete rikete tekkimise tõenäosus on väike: kui ühe *rikke tõenäosus* oleks näiteks 1 tuhandik, siis kahe üheaegse rikke tõenäosuseks oleks 1 miljondik. Nii või teisiti on selline eeldus ikkagi kompromiss reaalsete testimisvõimaluste ja saavutatava testimiskvaliteedi vahel.

Kohe tulevad aga uued probleemid. Konstantsete rikete mudel *loogikaskaemide* tasemel ei ole piisavalt täpne esindamiseks reaalseid füüsikalisi defekte *transistorskaemide* tasandil. Aga asendades analüüsi eesmärgil loogikaskaemid transistorskaemidega sattuksime uuesti keerukuse kiire kasvu umbteele.

Nii jõuamegi uue üldisema põhiküsimuse juurde digitaalsüsteemide diagnostikas: kuidas tagada süsteemide üha kasvava keerukuse tingimustes testimise kvaliteeti.

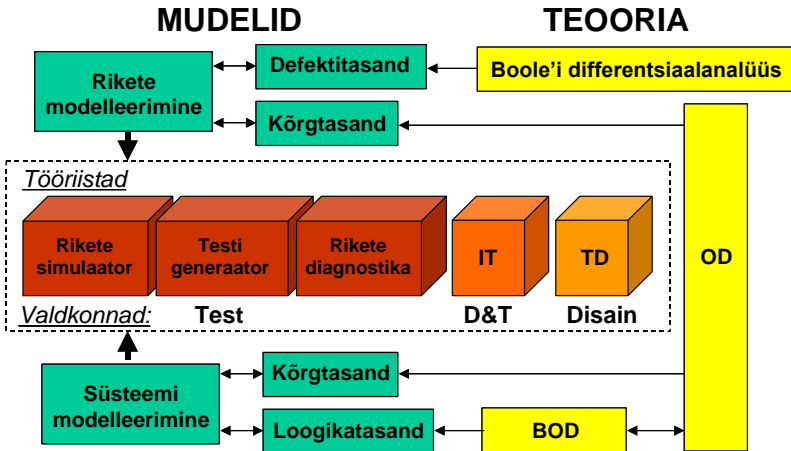


*Joonis 4. Hierarhiline süsteemi modelleerimine*

Keerukusega saaks “võidelda”, kui *süsteemi analüüsi* (testide sünteesi ja rikete simuleerimist) viia läbi kõrgematel tasanditel väiksema detailsusastmega mudelitel. Samal ajal, nagu eelpool toodust juba järeldada võis, kaotaksime niiviisi analüüsi täpsuses ega saa tagada testide kvaliteedi adekvaatset hindamist. Teiselt poolt, täpsust saaks tagada küll, kui viime testide analüüsi läbi *modelleerides* süsteemi *defektipõhiselt* võimalikult madalal näit. transistorskaemide tasandil. See aga suurendaks taas uurimisobjekti keerukust ega võimaldaks saavutada praktilisi tulemusi.

Väljapääsuks ummiksituatsioonist oleks *hierarhiline* lähenemisviis keerukate digitaalsüsteemide testimisel.

Joonisel 4 on esitatud *digitaalsüsteem*, mida võib käsitleda näiteks kas kui struktuurit "ventiilide merd" ("sea of gates") või siis hierarhiliselt, kus üksikutele ventiilide piirkondadele on seatud vastavusse kõrgema tasandi funktsioonid. Näiteks ühele ventiilide grupile joonisel 4 on vastavusse seatud 16-bitise *loenduri* funktsioon. Oletame, et on vaja genereerida test ploki A võimalike rikete avastamiseks süsteemi väljundis. Selleks, et rikete tõttu tekivad veasignaalid leviksid süsteemi väljundisse, kus neid avastada saaks, tuleks JA-elementi alumisele sisendile saata signaal 1. Kui me ei teaks, et selle sisendiga ühenduses olev skeem on loendur ja seda skeemi tuleks käsitleda kui "ventiilide merd", oleks väga raske loogikameetodite abil tuletada niisugune sisendsignaalide jada, mis tekitaks meil JA-elementi sisendis vajaliku signaali 1. Taoline tuletusprotsess võiks võtta ka väga võimsalt arvutilt aega minuiteid kui mitte tunde. Teades, aga, et nimetatud ventiilide grupp on 16-järguline loendur, oleks ka ilma arutusteta selge, et signaali 1 saamiseks loenduri väljundis on vaja tema sisendile rakendada  $2^{15}$  impulsist koosnev signaalide jada.



Joonis 5. Diagnostika probleemide üldplaan

Hierarhiline lähenemisviis tähendab seda, et me osa süsteemi analüüsi viime läbi komponentide tasemel, mis on vähem keerukad, ja mis seetõttu võimaldavad töötada madalamatel ja detailsematel (ventiilide või isegi transistoride) tasanditel. Nii õnnestuks adekvaatselt käsitleda füüsikalisi

defekte ja leida tingimusi, kuidas neid aktiveerida, nii et nende mõjusid ka kõrgematel tasanditel jälgida saaks. Defektidest tingitud veasignaalide analüüs saaks seejärel toimuda juba pealiskaudsemaid kõrgema tasandi mudeleid kasutades.

Ülaltoodust tuleneb, et keerukate süsteemide diagnostikaprobleemide mõistmiseks ja nende lahendamiseks tuleb tunda mitmesuguseid süsteemide eri tasanditel töötavaid matemaatilisi teooriaid, mudeleid ja meetodeid.

Joonisel 5 on esitatud digitaalsüsteemide *diagnostika probleemide* üldplaan. Probleemid võib jagada kolme valdkonda, mis on omavahel küllaltki läbipõimunud: *testimine, disain ja test* ning *testikõlblik disain*. *Testi* valdkond ühendab endas testide sünteesi ja analüüsiga seotud probleeme, mida võiks eristada kui rikete simuleerimine, testide genereerimine ja diagnoos. *Disaini ja testi (D&T)* valdkonda kuuluvad küsimused, kuidas projekteerida (disainida) isetestivaid süsteeme (ITS). *Disaini ja testi* probleemid on siin väga läbipõimunud. *Testikõlblik disain (TD)* aga haarab probleeme, kuidas projekteerida süsteemi nii, et see oleks võimalikult hästi, kvaliteetselt ja kergesti testitav.

Probleemide lahendus seisneb vajalike tööriistade välja töötamises, valmis ehitamises ja efektiivses rakendamises. Tööriistade all mõtleme siin eritarkvara (rikete simulaatorid, testigeneraatorid, rikete diagnoosi ja lokaliseerimise tarkvara). Tööriistade väljatöötamise aluseks on meetodid ja algoritmid, mis töötavad süsteemi ehk diagnostikaobjekti matemaatilistel mudelitel. Hierarhilise lähenemisviisi realiseerimiseks peab meil olema nii madala kui ka kõrgtasandi mudeleid. Algoritmide väljatöötamiseks eri tasanditel ja eri mudelitel tuleb kasutada mitmesuguseid teooriaid.

Paljude võimalike teoreetiliste aparatuuride hulgast on käesolevas broshüüris põhjalikumaks käsitlemiseks välja valitud kaks: *Boole'i differentsiaalalgebra* ja *otsustusdiagrammid*, mis kokku võimaldavad anda ühtse ja kompaktselt käsitlemise põhilistest digitaalsüsteemide diagnostika probleemidest. Boole'i differentsiaalaparaat võimaldab siduda kaks põhilist diagnostikaprobleemi - testide süntees ja rikete diagnoos – ühte ainsasse Boole'i differentsiaalvõrrandisse. Boole'i tuletiste abil osutub võimalikuks ka defektide kujutamine füüsikatasandilt loogikatasandile, mis oleks esimeseks sammuks defektide hierarhilisel modelleerimisel. *Binaarsete otsustusdiagrammide (BOD)* abil õnnestub kompaktselt esitada põhilisi testide sünteesi ja analüüsiga seotud algoritme. Loobudes aga binaarsuse kitsendusest õnnestub neid algoritme otsustusdiagrammide (OD) üldjuhu abil üldistada digitaalsüsteemide kõrgematele tasanditele.

# 1. Digitaalsüsteemide diagnostiline modelleerimine

Digitaalsüsteemide *diagnostilise modelleerimise* eesmärgiks on analüüsida süsteemide käitumist erinevate rikete korral, seletada põhjusi, miks süsteem käitub konkreetses olukorras ebanormaalselt, genereerida teste erinevate rikete avastamiseks, analüüsida testide võimet avastada rikkeid ja lahendada palju muid spetsiifilisemaid süsteemide diagnostikaga seotud ülesandeid. Komplitseerituks muudab nimetatud probleemide lahendamise digitaalsüsteemide üha kasvav keerukus. Väljapääsuks olukorrast on hierarhiline lähenemisviis meetodil “*jaga ja valitse*”, mis eeldab seda, et diagnostiline modelleerimine peaks olema võimalik nii kõrgemal, näiteks arvuti käsusüsteemi tasandil kui ka madalamal, näiteks ventiil- või koguni transistorskeemide tasandil.

Digitaalsüsteemide diagnostikaprobleemid on võrdlemisi hästi läbitöötatud loogikaskeemide tasandil, formaalseks matemaatiliseks aparaadiks sobib siin kõige paremini Boole'i diferentsiaalaparaat, mida traditsioonilistes *diskreetse matemaatika* või *arvutiteooria* kursustes harilikult ei käsitleta. Nimetatud aparaadist arusaamine aitab paremini mõista diagnostikaprobleemide kompleksi kui tervikut. Siiski pole sellest teoriast suurt kasu süsteemide uurimiseks kõrgematel tasanditel, kus bittide ja loogikatehete asemel kasutatakse niisugusi mõisteid nagu sõnad, mikroprogrammid, masinakäsud. Sobivaks modelleerimise vahendiks süsteemide diagnostilisel analüüsil kõrgematel tasanditel oleksid otsustusdiagrammid. Viimaste erijuhuks on binaarsed otsustusdiagrammid, mis võimaldavad diagnostilist analüüsi loogikatasemel.

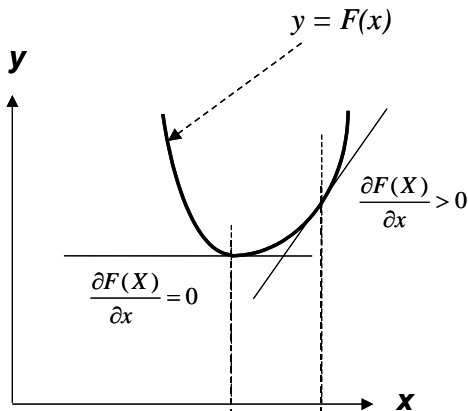
Käesolevas peatükis käsitlemegi nimetatud kahte modelleerimisviisi – Boole'i differentsiaalaparaati ja otsustusdiagramme.

## 1.1. Boole'i differentsiaalaparaat

*Boole'i differentsiaalaparaati* käsitletakse suhteliselt harva traditsioonilistes diskreetse matemaatika kursustes. Põhjalikumalt on neid vaadeldud töödes [Ake 59, Tha 71, Boc 75, Boc 89]. Peamiseks Boole'i differentsiaalarvutuse rakendusala on olnud digitaalskeemide uurimine dünaamikas. Käesolevas õppevahendis kasutame Boole'i differentsiaalaparaati digitaalskeemide diagnostiliseks modelleerimiseks.

### 1.1.1. Boole'i osatuletised

Matemaatilises analüüsis mõistetakse funktsiooni  $y = F(x)$  *tuletise*  $dy/dx$  all selle funktsiooni juurdekasvu ja argumendi juurdekasvu suhte piirväärtust argumendi juurdekasvu lähenemisel nullile. Geomeetrilise interpretatsiooni järgi on tuletis  $dy/dx$  funktsiooni graafiku  $dy/dx$  puutuja tõus punktis, mille abstsiss on  $x$ . Tuletist võib interpreteerida ka funktsiooni muutumise kiirusena. Joonisel 1-1 esitatud funktsiooni näitel on selge, et funktsiooni tuletis võib põhimõtteliselt omada igasuguseid väärtusi alates nullist kuni lõpmatuseni.



**Joonis 1-1.** Funktsiooni tuletise geomeetriline interpretatsioon



Analoogilise tuletise mõiste võib sisse viia ka Boole'i funktsioonide jaoks. Kuna aga *Boole'i funktsiooni*  $y = F(x)$  puhul nii  $y$  kui ka  $x$  võivad omada vaid kahte väärtust 0 ja 1, siis ei saa me enam rääkida funktsiooni muutumise kiirusest, vaid võime rääkida vaid sellest, kas funktsiooni väärtus muutub argumendi väärtuse muutudes või ei muutu. Seega saab ka *Boole'i funktsiooni tuletise* väärtus omada vaid kahte väärtust 0 ja 1, kusjuures 0 vastaks sellele, et  $y$ -i väärtus ei muutu  $x$ -i väärtuse muutudes ja vastupidi, 1 vastaks sellele, et  $y$ -i väärtus muutub, kui  $x$ -i väärtus muutub.

Kuna Boole'i funktsioonid on tüüpiliselt  $n$ -muutuja funktsioonid  $y = F(X)$ , kus  $X = (x_1, x_2, \dots, x_n)$ , ja  $n \geq 1$ , siis tuleb siin kasutada *Boole'i osatuletise* mõistet, mis kirjeldab  $y$ -i muutumist mingi konkreetse  $x_i \in X$  muutumise suhtes. Niisugust muutumist kirjeldab funktsioon

$$\frac{\partial F(X)}{\partial x_i} = F(x_1, \dots, x_i, \dots, x_n) \oplus F(x_1, \dots, \bar{x}_i, \dots, x_n) \quad (1-1)$$

ehk lihtsamal kujul

$$\frac{\partial F(X)}{\partial x_i} = F(x_1, \dots, x_i = 0, \dots, x_n) \oplus F(x_1, \dots, x_i = 1, \dots, x_n) \quad (1-2)$$

Boole'i funktsioon (1-2) leiab suurepärase rakenduse digitaalskeemide diagnostikas. Esitagu meil funktsioon  $y = F(X) = F(x_1, x_2, \dots, x_n)$  kombinatsioonskeemi, millel on  $n$  sisendit. Olgu sellel skeemil sisend  $x_i$  katki, nii et signaal seal kunagi läbi ei lähe. Matemaatilisel võiks see tähendada näiteks, et  $x_i \equiv 0$ <sup>1</sup>. Kui nüüd rakendada selles sisendis signaali  $x_i = 1$ , siis rikke tõttu leiaks seal aset signaali  $x_k$  väärtuse muutus  $1 \rightarrow 0$ . Niisuguse rikke avastamiseks skeemi väljundis  $y$  huvitab meid olukord, kus ka  $y$  muutuks  $x_i$  muutudes. Lähtudes eelpool toodud Boole'i osatuletise interpretatsioonist saaksime taolist olukorda kirjeldada võrrandi

$$\frac{\partial F(X)}{\partial x_i} = 1 \quad (1-3)$$

lahendite abil. Iga differentsiaalvõrrandi (1-3) lahend oleks testiks (ehk testvektoriks), mis avastab rikke  $x_i \equiv 0$  funktsiooniga  $y = F(X)$  esitatud kombinatsioonskeemi sisendis. Võrrandi lahendamiseks tuleks ta vasakpool

---

<sup>1</sup> Sõltuvalt tehnoloogiast võib see mõnikord tähendada ka teist olukorda, nimelt et  $x_i \equiv 1$ . Konkreetset käsitleme seda probleemi edaspidi (vt. 2.1.4).

teisendada *disjunktivseks normaalkujuks*. Iga konjuktsioon annaks siis meile ühe võimaliku lahendi.

Näide 1-1.

Vaatleme kombinatsiooniskeemi joonisel 1-2.

Skeemi funktsiooniks on  $y = x_1x_2 \vee x_3x_4$ . Valemit (1-2) kasutades leiaksime võrrandi

$$\frac{\partial y}{\partial x_1} = x_3x_4 \oplus (x_2 \vee x_3x_4) = 1 \quad (1-4)$$

Võrrandit (1-4) disjunktivsele normaalkujule (DNK) teisendades saaksime

$$\frac{\partial y}{\partial x_1} = x_2 \overline{x_3} \vee x_2 \overline{x_4} = 1 \quad (1-5)$$

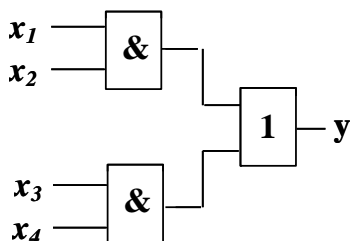
mis annaks kaks võimalikku test vektorit sisendi  $x_1$  testimiseks:

$$x_1 x_2 x_3 x_4 = -10-$$

ja

$$x_1 x_2 x_3 x_4 = -1-0,$$

kus “-” tähendab, et väärtus jääb määramatuks (ehk pole oluline).



*Joonis 1-2. Kombinatsiooniskeem*

Huvitav on siin märkida, et mõlema lahendi puhul jääb testitav muutuja  $x_1$  ise määramatuks, mis peabki nii olema, sest kuna just muutujat

$x_1$  testime, siis peamegi talle põhimõtteliselt lubama mõlemat võimalikku väärtust: õiget ja väära (rikke korral).

### 1.1.2. Boole'i osatuletiste omadusi

Näitest 1-1 ilmneb, et võrrandi (1-4) teisendamine DNK-ks pole sugugi lihtne. Teisenduse lihtsustamiseks vaatame järgnevalt mõningaid Boole'i osatuletiste omadusi.

1. Olgu funktsioon  $P(X)$  esitatav kujuna  $P(X) = F(X) \wedge G(X)$ , kusjuures osaavaldis  $F(X)$  on sõltumatu muutujast  $x_i \in X$ . Siis on differentseeritavat avaldist võimalik lihtsustada järgneva teisenduse abil:

$$\frac{\partial [F(X)G(X)]}{\partial x_i} = F(X) \frac{\partial G(X)}{\partial x_i} \quad (1-6)$$

2. Olgu funktsioon  $P(X)$  esitatav kujuna  $P(X) = F(X) \vee G(X)$ , kusjuures  $F(X)$  on sõltumatu muutujast  $x_i \in X$ . Siis on differentseeritavat avaldist võimalik lihtsustada järgnevalt:

$$\frac{\partial [F(X) + G(X)]}{\partial x_i} = F(X) \frac{\partial G(X)}{\partial x_i} \quad (1-7)$$

Üsna endastmõistetavad on ka järgmised kaks omadust:

$$\frac{\partial \overline{F(X)}}{\partial x_i} = \frac{\partial F(X)}{\partial x_i} \quad (1-8)$$

$$\frac{\partial \overline{F(X)}}{\partial x_i} = \frac{\partial F(X)}{\partial x_i} \quad (1-9)$$

Kasutades ülalesitatud omadusi, on võimalik üsna märgatavalt lihtsustada ka päris keerukate Boole'i avaldiste differentseerimist.

#### Näide 1-2.

Olgu vaja differentseerida muutuja  $x_5$  järgi järgmist avaldist:

$$y = x_1 x_2 \vee x_3 (\overline{x_2 x_4} \vee \overline{x_1} (x_4 \vee (x_5 \vee \overline{x_2 x_6}))) \vee x_1 \overline{x_3} \quad (1-10)$$

Kuna osaavaldis

$$F(X) = x_1 x_2 \vee x_1 \overline{x_3}$$

ei sõltu muutujast  $x_5$ , siis võime selle differentsiaali märgi alt välja viia, lihtsustades differentseeritavat osa. Kasutades vaheldumisi teisendusi (1-6) ja (1-7) saaksime:

$$\begin{aligned} \frac{\partial y}{\partial x_5} &= \frac{\partial(x_3(x_2 x_4 \vee x_1(x_4 \vee (x_5 \vee x_2 x_6))))}{\partial x_5} = \\ &= x_1 x_2 \vee x_1 x_3 x_3 \frac{\partial(x_2 x_4 \vee x_1(x_4 \vee (x_5 \vee x_2 x_6)))}{\partial x_5} = \\ &= x_1 x_2 \vee x_1 x_3 x_3 x_2 x_4 \frac{\partial(x_1(x_4 \vee (x_5 \vee x_2 x_6)))}{\partial x_5} = \\ &= x_1 x_2 \vee x_1 x_3 x_3 x_2 x_4 x_1 \frac{\partial(x_4 \vee (x_5 \vee x_2 x_6))}{\partial x_5} = \\ &= x_1 x_2 \vee x_1 x_3 x_3 x_2 x_4 x_1 x_4 x_2 x_6 \frac{\partial x_5}{\partial x_5} \end{aligned}$$

Kuna  $\partial x_5 / \partial x_5 \equiv 1$ , siis olemegi lahti saanud tülkast operatsioonist  $\oplus$  ja testide leidmine avaldisele (1-10) muutuja  $x_5$  testimiseks taandub nüüd juba DeMorgani teisendustele ning sulgude avamisele:

$$\begin{aligned} \frac{\partial y}{\partial x_5} &= (x_1 x_2 \vee x_1 x_3) x_3 (x_2 x_4) x_1 x_4 (x_2 x_6) \frac{\partial x_5}{\partial x_5} = \\ &= (\overline{x_1} \vee \overline{x_2})(\overline{x_1} \vee \overline{x_3}) x_3 (x_2 \vee x_4) x_1 x_4 (x_2 \vee x_6) = \\ &= x_1 x_4 x_3 x_2 \vee \dots = 1 \end{aligned}$$

Üheks võimalikuks testvektoriks leiame  $x_1 x_2 x_3 x_4 x_5 = 0110--$ . Olgu märgitud, et testide genereerimisel praktilisest aspektist lähtudes, ei olegi vaja tervet disjunktiivset normaalkuju kätte saada kõikide lahendite leidmiseks, vaid piisab ju ka ühest ainsast testvektorist.

### 1.1.3. Boole'i vektortuletised

Mitmetel juhtudel on vaja analüüsida Boole'i funktsiooni tundlikkust mitme muutja väärtuse üheaegse muutumise suhtes. Niisugusteks juhtudeks on näiteks:

- mitme rikke üheaegne olemasolu skeemis või
- ühest ja samast rikkest tuleneva vigase signaali levimine mitme hargneva signaalitee kaudu skeemis.

Testvektorite leidmiseks niisugusel juhul võib kasutada *vektortuletisi*:

$$\frac{\partial F(X)}{\partial(x_i, x_j)} = F(x_1, \dots, x_i, x_j, \dots, x_n) \oplus F(x_1, \dots, \bar{x}_i, \bar{x}_j, \dots, x_n) \quad (1-11)$$

#### Näide 1-3.

Vaatleme taas skeemi joonisel 1-2, mille funktsiooniks on  $y = x_1 x_2 \vee x_3 x_4$ . Olgu korraga vigased nii sisend  $x_2$  kui ka  $x_3$ . niisuguse 2 rikke põhjuseks võib olla ka üksainus rike skeemis, millest tingitud veasignaali levib mööda kahte haru. Testvektori niisuguse kordse vea avastamiseks leiame võrrandist:

$$\frac{\partial F(X)}{\partial(x_2, x_3)} = \bar{x}_1 \bar{x}_4 \vee \bar{x}_1 x_4 \vee x_1 \bar{x}_4 (\bar{x}_2 \bar{x}_3 \vee x_2 x_3) = 1$$

Võrrandil on neli lahendit:

- 1) 1--0,
- 2) 0--1,
- 3) 1001,
- 4) 1111.

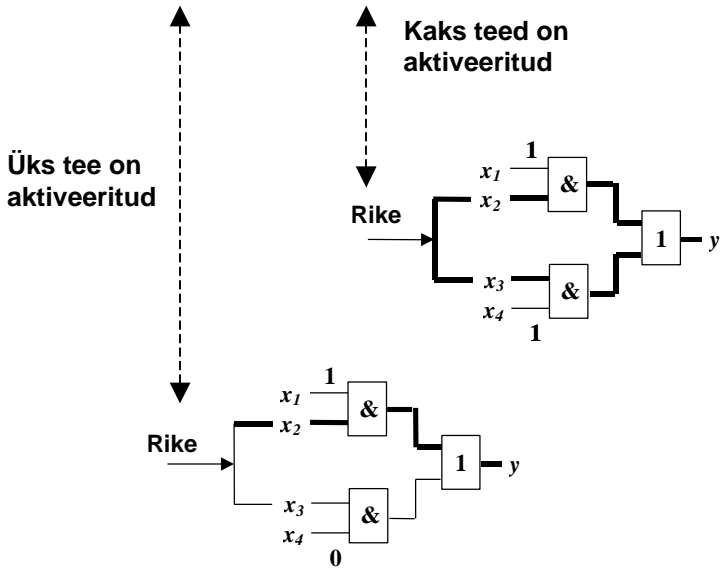
Lahenditel on ka oma kindel "füüsikaline" tähendus (vt. ka joonist 1-3).

Esimene lahend 1--0 lubab levida ühel ainsal veasignaali  $x_2$  läbi skeemi, blokeerides teise veasignaali  $x_3$  levi. Sama omadus on ka teisel lahendil, kusjuures nüüd levib viga vaid sisendist  $x_3$ . Mõlemal juhul võivad signaali muutused sisendites  $x_2$  ja  $x_3$  olla suvalised  $0 \rightarrow 1$  või  $1 \rightarrow 0$  (seega kokku 4 võimalust).

Kolmanda ja neljanda lahendi puhul on aga aktiveeritud mõlemad harud vea levikuks, kusjuures mitte enam kõik vigade kombinatsioonid pole enam avastatavad: väljundisse levib viga vaid siis, kui mõlemad veasignaalid on

ühesuunalised. Kui veasignaali muutuvad vastupidises suunas, siis nad kompenseerivad teineteist ja vead jäävad avastamata (vead *maskeeruvad*).

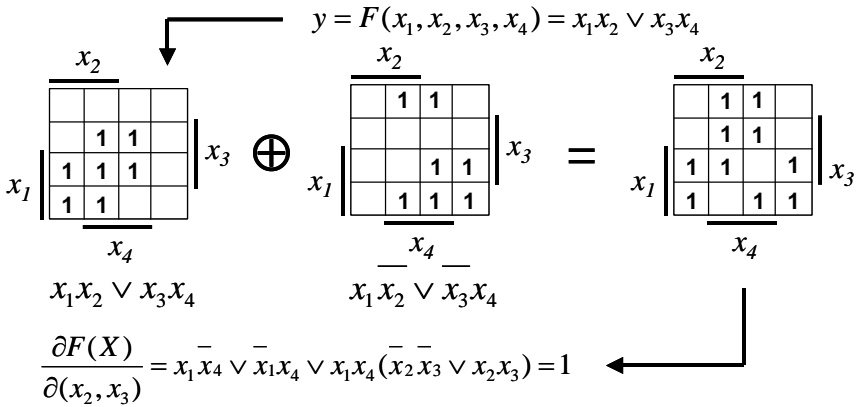
$$\frac{\partial F(X)}{\partial(x_2, x_3)} = \overline{x_1 x_4} \vee \overline{x_1 x_4} \vee \overline{x_1 x_4} (\overline{x_2 x_3} \vee x_2 x_3) = 1$$



*Joonis 1-3. Vektortuletise füüsikaline interpretatsioon*

Näites 1-3 vaadeldud olukord illustreerib ühte keerukamat probleemi testide genereerimisel. Kui *veasignaali* levib mitut haru pidi, oleks vaja tegeleda maskeerumise kontrolliga, mis teeb testide genereerimise algoritmi keerukamaks ja aeglasemaks. Algoritm lihtsustuks, kui lubaksime veasignaale levida alati vaid ühte haru pidi, blokeerides teised harud. Samas aga, kui niiviisi teeksime, sünnib oht välistada testi leidmist juhul, kui üksnes mitme haru kaudu veasignaale levitav test eksisteerib.

Nn. lihtsustatud testide genereerimise algoritmid, mis aktiveerivad vaid üksikuid teid, korreleeruvad hästi ka faktiga, et Boole'i vektortuletisi arvutada on väga keerukas. Üheks võimaluseks neid arvutada on *Carnaugh' kaartide* kasutamine (joonis 1-4).



Joonis 1-4. Vektortuletiste arvutamine Carnaugh' kaardi abil

### 1.1.4. Kordsed Boole'i osatuletised

Olgu antud Boole'i funktsioon  $y = F(X) = F(x_1, x_2, \dots, x_n)$ . Kordne tuletis kahe muutuja  $x_i$  ja  $x_j$  järgi analoogiliselt traditsioonilise matemaatilise analüüsiga on defineeritud järgmiselt:

$$\frac{\partial^2 y}{\partial x_i \partial x_j} = \frac{\partial}{\partial x_i} \left( \frac{\partial y}{\partial x_j} \right) \quad (1-12)$$

Kordset Boole'i osatuletist saab kasutada kordsete rikete analüüsiks, näiteks testide genereerimiseks kordsele rikkele. Olgu skeemis, millele vastab funktsioon  $y = F(x_1, x_2, \dots, x_n)$ , vigased kaks sisendit:  $x_i$  ja  $x_j$ . Võiks püstitada ülesande genereerida test, mis avastaks ühe kahest rikkest, näiteks rikke sisendis  $x_j$  tingimusel, et teine rike sisendis  $x_i$  ei maskeeriks esimest.

Rikke avastamise tingimuseks sisendis  $x_j$  oleks

$$\frac{\partial y}{\partial x_j} = F_1(X) = 1 \quad (1-13)$$

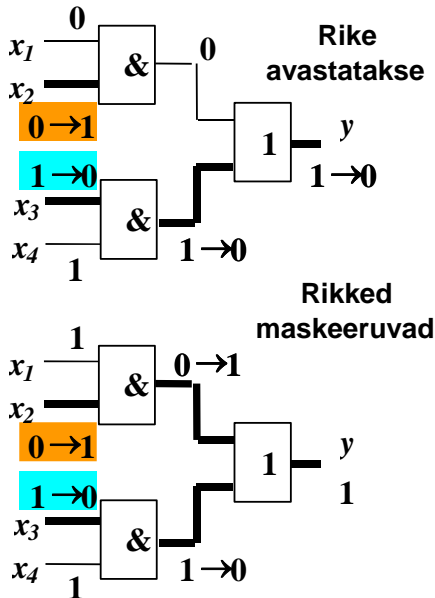
Selleks et viga sisendis  $x_i$  ei saaks mõjutada tingimust (1-13) s.t. maskeerida riket sisendis  $x_j$ , tuleks lahendada võrrand

$$\frac{\partial F_1(X)}{\partial x_i} = 0 \quad (1-14)$$

Ehk teiste sõnadega, tuleks lahendada võrrandisüsteem:

$$\frac{\partial^2 y}{\partial x_i \partial x_j} = \frac{\partial}{\partial x_i} \left( \frac{\partial y}{\partial x_j} \right) = 0 \quad (1-15)$$

$$\frac{\partial y}{\partial x_j} = 1$$



Joonis 1-5. Kordse tuletise kasutamine rikete maskeerumise vältimiseks



#### Näide 1-4.

Olgu antud kombinatsioonskeem, millele vastab funktsioon  $y = x_1x_2 \vee x_3x_4$  ja kus on korraga vigased nii sisend  $x_2$  kui ka  $x_3$ . Joonisel 1-5 on illustreeritud kaks juhtu. Ülemisel skeemil illustreeritakse testi  $x_1x_2x_3x_4 = 0011$ , mille saame saame lahendades võrrandisüsteemi (1-15):

$$\frac{\partial^2 y}{\partial x_2 \partial x_3} = \frac{\partial}{\partial x_2} \left( \frac{\partial y}{\partial x_3} \right) = x_1x_4 = 0$$

$$\frac{\partial y}{\partial x_3} = \overline{x_1x_4} \vee \overline{x_2x_4} = 1$$

Alumisel skeemil aga illustreeritakse olukorda, kus on küll genereeritud test  $x_1x_2x_3x_4 = 1011$  rikkele sisendis  $x_3$  võrrandi (1-13) lahendamisega:

$$\frac{\partial y}{\partial x_3} = \overline{x_1x_4} \vee \overline{x_2x_4} = 1 \quad \longrightarrow \quad \overline{x_2x_4} = 1$$

aga rike jääb maskeeritaks teise rikke tõttu sisendis  $x_2$ , kuna pole täidetud tingimus (1-14).

### **1.1.5. Liitfunktsioonide diferentseerimine**

Keerukamate digitaalskeemide puhul ei ole otstarbekas neid esitada väljundite Boole'i funktsioonide süsteemina kahel põhjusel:

- väljundfunktsioonide keerukuse tõttu muutuvad ka Boole'i differentsiaal-võrrandid liiga keeruliseks;
- diagnostika aspektist ei piisa ainult sisendite testimisest, vaid on vaja testida ka skeemi sisepunkte.

Seetõttu esitatakse digitaalskeeme enamasti komponentide (või alamskeemide) võrguna, kus igale komponendile (või alamskeemile) vastab mingi lihtsam Boole'i funktsioon. Väljundfunktsioone saab sellisel juhul vaadelda liitfunktsioonidena, mille argumentideks võivad olla nii sisendmuutujad kui ka skeemi sisepunktidele vastavad funktsioonid.

Vaatleme skeemi joonisel 1-6, mis on esitatud *liitfunktsioonina*

$$y = F(X) = F(X, x_k) = F(X, F_k(X_k)),$$

kus

$$x_k = F_k(X_k)$$

$$X_k \subseteq X.$$

Niisuguse funktsiooni tuletis mingi muutuja  $x_i \in X_k$  järgi võib avaldada Boole'i funktsioonide korrutisena:

$$\frac{\partial y}{\partial x_i} = \frac{\partial F(X, F_k(X_k))}{\partial x_i} = \frac{\partial F(X, x_k)}{\partial x_i} = \frac{\partial y}{\partial x_k} \frac{\partial F_k(X_k)}{\partial x_i} = \frac{\partial y}{\partial x_k} \frac{\partial x_k}{\partial x_i} \quad (1-16)$$

Üldjuhul, kui liitfunktsioon on esitatud *superpositsioonide* ahelana

$$y = F_k(F_{k-1}(\dots F_2(x_1, X)\dots, X)), \quad (1-17)$$

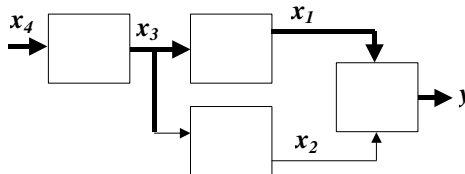
saame korrutise

$$\frac{\partial y}{\partial x_1} = \frac{\partial F_k}{\partial F_{k-1}} \frac{\partial F_{k-1}}{\partial F_{k-2}} \dots \frac{\partial F_2}{\partial x_1} \quad (1-18)$$

Olgu märgitud aga, et niisugune *ahelreegel* liitfunktsiooni osatuletise esitamiseks on lihtsustatud ja kehtib ainult erijuhul, mis diagnostika aspektist vastab sellele, et veasignaal levib vaid ühte teed pidi.

### Näide 1-5.

Vaatleme skeemi joonisel 1-6, kus eraldi on välja toodud 4 olulist muutujat, teisi muutujaid hulgast  $X$  pole näidatud.



**Joonis 1-6.** Testide genereerimine liitfunktsiooni osatuletiste abil

Arvutades tuletist  $\partial y/\partial x_4$  võime kasutada liitfunktsiooni tuletise arvutamise ahelreeglit

$$\frac{\partial y}{\partial x_4} = \frac{\partial y}{\partial x_1} \frac{\partial x_1}{\partial x_3} \frac{\partial x_3}{\partial x_4}$$

aga ainult sel juhul, kui veasignaali levik paralleelselt teisi harusid kaudu on blokeeritud. Selleks võib kasutada kahte võimalikku lisatingimust:

- 1) kordsete tuletiste põhimõtet

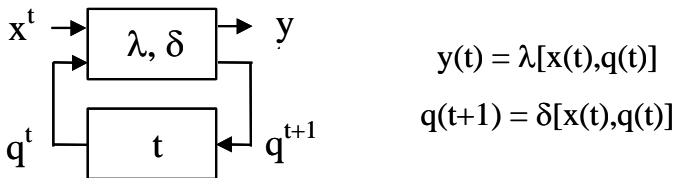
$$\frac{\partial y}{\partial x_2} \left( \frac{\partial y}{\partial x_1} \right) = 0$$

- 2) või veasignaali leviku blokeerimist juba enne komponenti  $y = F(x_1, x_2, X)$

$$\frac{\partial x_2}{\partial x_3} = 0$$

### 1.1.6. Boole'i osatuletised järjestikskemidele

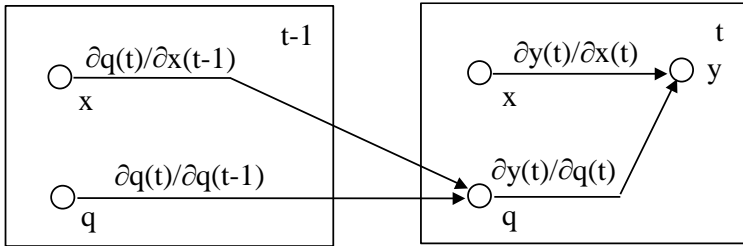
Järjestikskemide esitamiseks kasutatakse *Huffmann'i mudelit* (joonis 1-7), millele vastab kaks tüüpi funktsioone: väljundfunktsioon ja siirdefunktsioon.



Joonis 1-7. Järjestikskemide mudel

Mõlemad funktsioonid on tavalised Boole'i funktsioonid, kus aeg  $t$  on parameetrik ja seob konkreetseid muutujate väärtusi erinevate taktidega. Nii tulebki vaadelda ühte muutujat  $x(t)$  parameetri  $t$  eri väärtuste korral  $t_1$  ja  $t_2$  sisuliselt kui kahte erinevat muutujat  $x(t_1)$  ja  $x(t_2)$ . Õeldut arvesse võttes toimub niisuguste ajast sõltuvate Boole'i funktsioonide diferentseerimine

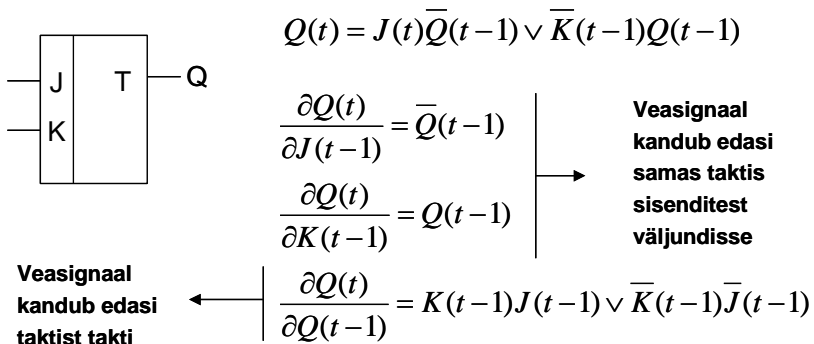
analoogiliselt ajast sõltumatute Boole'i funktsioonidega. Joonisel 1-8 on illustreeritud Huffmann'i mudelist tulenevad neli Boole'i osatuletise tüüpi.



*Joonis 1-8. Järjestikskemide osatuletiste tüübid*

Näide 1-6.

Joonisel 1-9 on esitatud *JK-trigeri* funktsioon ja sellest tulenevad Boole'i osatuletised.

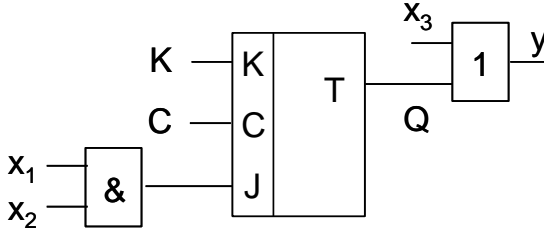


*Joonis 1-9. JK-trigeri Boole'i osatuletised*

Kui seni vaatlesime Boole'i differentsiaalvõrrandite kasutamist üksikute testvektorite genereerimiseks, siis ajafunktsioonide differentseerimise eripäraks on võimalus formaliseerida järjestikskemide *testjadade* genereerimist.

Näide 1-7.

Genereerimise testi joonisel 1-10 esitatud järjestikskeemi sisendile  $x_2$  kasutades Boole'i tuletiste arvutamise ahelmeetodit võrrandi (1-19) kujul.



**Joonis 1-10. Järjestikskeem**

$$\frac{\partial y(t)}{\partial x_1(t-\tau)} = \frac{\partial y(t)}{\partial Q(t)} \frac{\partial Q(t)}{\partial J(t-1)} \frac{\partial J(t-1)}{\partial x_1(t-1)} = \overline{x_3(t)} \overline{Q(t-1)} x_2(t-1) = 1 \quad (1-19)$$

Võrrandi vasakut poolt koostama hakates hakates polnud veel teada testjada pikkus, seetõttu sai ajaline nihe muutujate  $y$  ja  $x_1$  vahel fikseeritud esialgu veel määramatu väärtusega sümbolmuutujaga  $\tau$ . Liitfunktsiooni osatuletiste jada valmimisel selgub ka selle muutuja lõplik väärtus ehk otsitav ajaline nihe:  $\tau = 1$ .

Võrrandi vasakul pool olevast tingimusest  $Q(t-1) = 0$  tuleneb uus tingimus  $K(t-2) = 1$ . Asendades nüüd selle tingimuse võrrandi (1-19) vasakusse poole, saame lõpliku võrrandi,

$$x_3(t)K(t-2)x_2(t-1) = 1 \quad (1-20)$$

millest tuleneb Tabelis 1-1 esitatud 3-taktiline testjada.

**Tabel 1-1. 3-taktiline test jada skeemile joonisel 1-10**

$t$	$x_1$	$x_2$	$x_3$	$Q'$	$K$	$y$
1					1	
2	$D$	1		0		
3			0	$D$		$D$

Tühjad ruudud tabelis vastavad määramata väärtustele. *Sümboliga D* tähistame rikke tõttu potentsiaalselt muutuvat väärtust. Apostroof muutuja *Q* juures tähendab muutuja väärtust eelmises taktis.

### 1.1.7. Boole'i differentsiaalid

Testeksperimentide läbiviimist ja rikete lokaliseerimist (diagnoosimist) saab modelleerida *Boole'i differentsiaalide* abil.

Klassikalisest matemaatilisest analüüsist teame, et funktsiooni  $y = F(x)$  *differentsiaaliks*

$$dy = \frac{\partial y}{\partial x} dx \quad (1-21)$$

nimetatakse selle funktsiooni juurdekasvuga ekvivalentset lõpmatult vähenevat suurust, mis on võrdeline argumendi juurdekasvuga, kusjuures funktsioonil on differentsiaal olemas siis ja ainult siis, kui funktsioon on differentseeruv. Boole'i funktsioonide puhul, kus argumentide arv on suur, kasutame taas *osadifferentsiaali* mõistet:

$$d_x y = \frac{\partial y}{\partial x} dx$$

Boole'i differentsiaali  $dx$  all mõistame muutuja  $x$  väärtuse muutumist mingi rikke tõttu:  $dx = 1$ , kui  $x$  väärtus muutub (esines viga) ja  $dx = 0$ , kui  $x$  väärtus ei muutu (viga ei olnud). Boole'i funktsiooni osadifferentsiaal  $d_x y$  väljendab testeksperimenti tulemust:  $d_x y = 1$ , kui  $y$  väärtus muutub  $x$  väärtuse muutudes ja  $d_x y = 0$ , kui ei muutu. Tingimuseks, et niisugune muutus toimub ongi eelpool käsitletud osatuletise võrdumine 1-ga:  $\partial y / \partial x = 1$ .

Boole'i funktsiooni *täisdifferentsiaal* avaldub valemina:

$$\begin{aligned} dy &= F(X) \oplus F(X \oplus dX) = \\ &= F(x_1, \dots, x_i, \dots, x_n) \oplus F(x_1 \oplus dx_1, \dots, x_i \oplus dx_i, \dots, x_n \oplus dx_n) \end{aligned} \quad (1-22)$$

kus

$$dX = (dx_1, dx_2, \dots, dx_n).$$

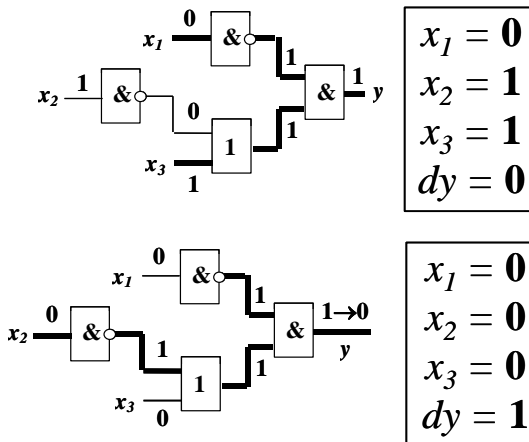
Võrreldes valemite (1-22) valemiga (1-11), on kerge näha, et Boole'i täisdiferentsiaal kujutab endast kõigi Boole'i vektortuletiste hulga parameetrilist kuju. Täpsemalt väljendub nimetatud omadus järgmises täisdiferentsiaali kujus

$$dy = \frac{\partial y}{\partial x_1} dx_1 \overline{dx_2} \dots \overline{dx_n} \vee \dots \vee \frac{\partial y}{\partial x_n} \overline{dx_1} \overline{dx_2} \dots \overline{dx_{n-1}} dx_n \vee \dots \vee \frac{\partial y}{\partial(x_1 x_2)} dx_1 dx_2 \overline{dx_3} \dots \overline{dx_n} \vee \dots \vee \frac{\partial y}{\partial(x_1 x_2 \dots x_n)} dx_1 dx_2 \dots dx_n \quad (1-23)$$

või näiteks kahe muutuva funktsiooni  $y = F(x_1, x_2)$  puhul

$$dy = \frac{\partial y}{\partial x_1} dx_1 \overline{dx_2} \vee \frac{\partial y}{\partial x_2} \overline{dx_1} dx_2 \vee \frac{\partial y}{\partial(x_1 x_2)} dx_1 dx_2 \quad (1-24)$$

Põhiline Boole'i täisdiferentsiaali roll digitaalskeemide diagnostilises analüüsis seisneb võimaluse loomises dešifreerida *diagnostikaeksperimentide* tulemusi, teiste sõnadega - määrata vigaste väljundsignaalide põhjusi.



Joonis 1-11. Kaks diagnostikaeksperimenti

Näide 1-8.

Olgu antud kombinatsioonskeem funktsiooniga

$$y = \bar{x}_1(\bar{x}_2 \vee x_3) \quad (1-25)$$

ja selle täisdiferentsiaaliga

$$dy = y \oplus (\bar{x}_1 \oplus dx_1)((\bar{x}_2 \oplus dx_2) \vee (x_3 \oplus dx_3)) \quad (1-26)$$

Viime läbi kaks diagnostikaeksperimenti (vt. joonis 1-11) testvektoritega  $T_1 = 011$  ja  $T_2 = 000$ . Oletame, et esimesel juhul test “läheb läbi”, s.t. väljundi väärtus on  $y = 1$ , mis vastab oodatavale tulemusele. Eksperimenti tulemuseks saame seega  $dy = 0$ . Oletame, et teisel juhul test “ei lähe läbi”, s.t. väljundis avastatakse oodatava signaali 1 asemel 0. *Diagnostikaksperimenti tulemus* vastab nüüd diferentsiaalile  $dy = 1$ .

Asetame vektoritega  $T_1$  ja  $T_2$  määratud sisendmuutujate väärtused ning testide tulemused  $dy$  avaldisse (1-26) ning saame kahe testeksperimentiga määratud võrrandisüsteemi:

$$\begin{cases} dy = 1 \oplus \bar{dx}_1(dx_2 \vee dx_3) = 0 \\ dy = 1 \oplus \bar{dx}_1(\bar{dx}_2 \vee dx_3) = 1 \end{cases}$$

Lihtsustades avaldise ja teisendades ka esimese avaldise tõeseks, saame

$$\begin{cases} \bar{dx}_1^0(dx_2^1 \vee dx_3^1) = 1 \\ dx_1^0 \vee dx_2^0 dx_3^0 = 1 \end{cases} \quad (1-27)$$

Et diferentsiaale muutujate erinevate väärtuste tõttu üheselt mõista viime diferentsiaalide tähistusse sisse ülaindeksid, mis märgivad muutujate õigeid väärtusi. Näiteks  $dx_2^1 = 1$  tähendab, et muutuja  $x_2$  väärtus peaks olema 1, aga rikke tõttu on see tegelikult 0.

Süsteemi (1-27) esimesest võrrandist tuleneb üheselt mõistetav tulemus:

$$\bar{\partial}x_1^0 = 1$$



mis tähendab, et sisendis  $x_1$  kindlasti puudub rike  $x_1 \equiv 1$ . Rohkem üheselt mõistetavaid fakte ei tulene enam kummastki süsteemi (1-27) võrrandist. Küll aga tuleb rohkesti informatsiooni, kui kaks võrrandit loogiliselt omavahel korrutada, mis võtab kokku mõlemast eksperimentidest saadava informatsiooni:

$$\overline{dx_1^0} (dx_2^1 dx_2^0 \overline{dx_3^0} \vee dx_2^0 \overline{dx_3^0} \overline{dx_3^1}) = 1 \quad (1-28)$$

Kasutades lihtsustust

$$dx_k^0 dx_k^1 = 0 \quad (1-29)$$

mis tähendab, et ühes ja samas sisendis (või ühel ja samal juhtmel)  $x_k$  ei saa olla korraga mõlemat tüüpi rikked  $x_k \equiv 1$  ja  $x_k \equiv 0$ , saame võrrandist (1-28) järgmise tulemuse:

$$\overline{dx_1^0} dx_2^0 \overline{dx_3^0} \overline{dx_3^1} = 1 \quad (1-30)$$

Tõene lause (1-30) kujutabki endast *diagnoosi* ehk kahe testeksperimenti tulemuse lahtimõtestamist. Lause (1-30) väidab, et

- sisendis  $x_1$  puudub rike  $x_1 \equiv 1$ ,
- sisendis  $x_2$  on rike  $x_2 \equiv 1$ , ja
- sisend  $x_3$  on korras (mõlemat tüüpi rikked puuduvad).

Boole'i täisdiferentsiaali omadused:

Olulisteks *diferentsiaalioperaatori d* omadusteks on:

- Boole'i võrrandite differentseerimise võimalus, ja
- Boole'i täisdiferentsiaali avaldise *invariantsus*.

Olgu antud Boole'i võrrand

$$F_1(X) = F_1(X).$$

Siis kehtib ka järgmine võrrand

$$dF_1 = dF_2.$$

Niisugust tehet nimetatakse Boole'i võrrandi täisdiferentseerimiseks.

Olgu antud liitfunktsioon

$$F_k(X, F_i(X)).$$

Siis, vastavalt Boole'i täisdiferentsiaali definitsioonile (1-22), saame

$$dF_k(X, F_i(X)) = F_k(X, F_i(X)) \oplus F_k(X \oplus dX, F_i(X \oplus dX)).$$

Aga kuna

$$F_i(X \oplus dX) = F_i(X) \oplus dF_i,$$

siis

$$dF_k = F_k(X, F_i(X)) \oplus F_k(X \oplus dX, F_i \oplus dF_i)). \quad (1-31)$$

Avaldisest (1-31) järgneb, et üldine formaalne Boole'i täisdiferentsiaali avaldis ei sõltu sellest, kas muutujad on sõltumatud või ei ole sõltumatud. Teiste sõnadega, Boole'i täisdiferentsiaali avaldis on invariantne oma muutujate suhtes.

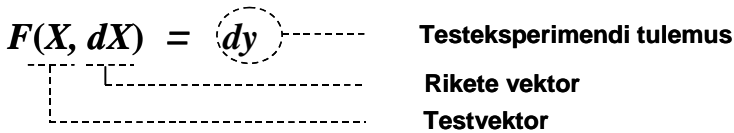
Sellel Boole'i täisdiferentsiaali invariantse omadusel põhineb võimalus arvutada diferentsiaale ka liitfunktsioonidele. See aga omakorda laseb keerukaid Boole'i avaldise tükeldada lihtsamateks osadeks ja sel moel lihtsustada diferentseerimist.

### 1.1.8. Digitaalskeemide diagnostika üldvõrrand

Boole'i funktsioonide täisdiferentsiaali võrrand kätkeb endas võimalust lahendada kõiki digitaalskeemide diagnostikaga seotud ülesandeid. Kaheks põhiülesandeks loetakse:

- testide genereerimist (kui *pöördülesannet*) ja
- rikete diagnoosi (kui *otseülesannet*).

Kõigepealt kujutab täisdiferentsiaal endast testeksperimenti mudelit, kus on ühendatud korraga nii signaalide mõjutamine (stimuleerimine) testvektoritega, rikete modelleerimine ja testi tulemuste arvesse võtmine (joonis 1-12).



*Joonis 1-12. Diagnostika üldvõrrand*

Diagnostika üldvõrrandina esitatavast *diagnostika eksperimentide mudelist* tulenevad otseselt kahe diagnostika põhiülesande formuleeringud, mis seisnevad kahte tüüpi võrrandi lahendamise leidmises (joonis 1-13):

Otseülesanne:

**Testide genereerimine:**  $dX, dy = 1$  - antud  
 $X$  - tuleb leida

Pöördülesanne:

**Rikete diagnoos:**  $X, dy$  - antud  
 $dX$  - tuleb leida

*Joonis 1-13. Diagnostika põhiülesannete tulenemine üldvõrrandist*

*Rikete simuleerimist* võib vaadelda kui rikete diagnoosi ülesande erijuhtu, kus imiteeritakse “tahtlikult” eksperimendi viga  $dy = 1$  ja viiakse läbi sel põhjal diagnoos: leitakse millised vektoriga  $dX$  määratud rikked avastab antud test  $X$ .

Näide 1-9.

Vaatleme veelkord funktsiooni

$$y = \bar{x}_1(\bar{x}_2 \vee x_3)$$

täisdiferentsiaali

$$dy = y \oplus (\bar{x}_1 \oplus dx_1)((\bar{x}_2 \oplus dx_2) \vee (x_3 \oplus dx_3)) \quad (1-32)$$

Testide genereerimisel antakse ette mingi rikete kombinatsioon, näiteks  $dX = 011$ , mis tähendab, et soovitakse genereerida testi kordsele

rikkele sisendites  $x_2$  ja  $x_3$ . Rikke avastamine tähendab ühtaegu veel ka tingimust  $dy = 1$ .

Võrrand (1-32) võtab nüüd kuju

$$y \oplus \overline{x_1}(x_2 \vee \overline{x_3}) = 1. \quad (1-33)$$

Võrrandi (1-33) lahendiks on test, mis avastab ette antud rikete kombinatsiooni. Kerge on näha, et sama ülesande formuleeringu oleksime saanud ka kasutades vektorosatuletisi (vt. p.1.1.3).

Rikete diagnostika ülesande lahendamisel antakse ette mingi testvektor, näiteks  $X = 011$ , ja testi tulemus, näiteks  $dy = 1$ . Asetades nimetatud väärtused võrrandisse (1-32), saame uue lihtsustatud võrrandi.

$$y \oplus \overline{dx_1}(dx_2 \vee \overline{dx_3}) = 1. \quad (1-34)$$

Rikete diagnoos leitakse võrrandi (1-34) lahendist.

Praktikas nii otse- kui ka pöördülesandeid enamasti lihtsustatakse. Testide genereerimisel antakse ette vaid üksik konkreetne rike  $dx_k = 1$  ja kõik ülejäänud rikete avaldumiste võimalused välistatakse (kõigi ülejäänud muutujate  $dx_i \in dX$  jaoks võetakse  $dx_i = 0$ ). Sellisel juhul, nagu selgelt ilmneb valemist (1-23), redutseerub täisdiferentsiaali üldavaldis Boole'i osatuletiseks.

## 1.2. Otsustusdiagrammid

Boole'i differentsiaalparaadi puuduseks on see, et ta on kasutatav üksnes digitaalsüsteemide abstraktse esituse loogikatasandil. Palju laiemaid võimalusi annab digitaalsüsteemide graafiline esitus *otsustusdiagrammide* (OD) kujul, kus kõik operatsioonid taanduvad graafi (otsustusdiagrammi *topoloogilisele analüüsile*). Otsustusdiagrammide erijuhuks on *binaarsed otsustusdiagrammid* (BOD).

Binaarsete otsustusdiagrammide töötlemiseks diagnostika aspektist on levinud kaks kontseptsiooni: otsustusdiagrammide manipuleerimine ehk loogikaoperatsioonide läbiviimine ja graafidel läbiviidav topoloogiline analüüs. Esimesel juhul ei välju me loogika algebra raamidest ja graafidega opereerimise meetodite üldistamine digitaalsüsteemide kõrgematele

tasanditele pole võimalik. Teisel juhul, kus graafidega töö baasiks on topoloogiline analüüs, on meetodite üldistamine loogikatasandilt kõrgematele tasanditele suhteliselt lihtne.

Käesolevas õppevahendis käsitleme otsustusdiagrammide analüüsi topoloogilist kontseptsiooni, et graafide abil mõista digitaalsüsteemide diagnostika ühtsust nii süsteemide madalatel kui ka kõrgematel esitustasanditel.

### 1.2.1. Binaarsete otsustusdiagrammide mõiste

1959. aastal võttis esmakordselt binaarsed otsustusdiagrammid kasutusele C.Y.Lee [Lee 59] nime all *binaarsed otsustusprogrammid*. 1976. aastal kasutati esmakordselt BOD mudelit digitaalskeemide diagnostikas Tallinna Tehnikaülikoolis [Uba 76], tookord *alternatiivsete graafide* nime all. Tegelikult veel varemgi, kuna juba 1974. aastal kaitses oma diplomitöö BOD kasutamisest digitaalskeemide simuleerimise kiirendamiseks TTÜ-s Virve Vaher käesoleva õppevahendi autori juhendamisel. Paar aastat hiljem võeti samad graafid kasutusele ka USA-s *binaarsete otsustusdiagrammide* nime all [Ake 78]. Täna on BOD teooria väga laialt kasutatav ja väga kiiresti edasi arenev [Bry 86, Min 96, Sas 96, Dre 98].

Boole'i funktsiooni

$$y = F(X) = F(x_1, x_2, \dots, x_n)$$

esitav BOD on *orienteeritud tsükliteta graaf*

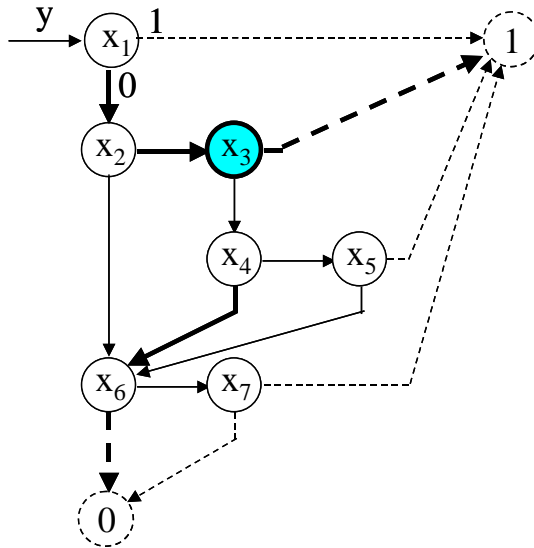
$$G_y = (M, X, \Gamma),$$

kus  $M = \{m\}$  on *graafi tippude hulk*,  $X = \{x_1, x_2, \dots, x_n\}$  on funktsiooni argumentide hulk,  $x(m) \in X$  on muutuja, mis on vastavusse seotud tipuga  $m$  ja  $\Gamma(M, X)$  on funktsiooniga  $y = F(X)$  üheselt määratud relatsioon, kus  $\Gamma(m, x(m))$  määrab tipu  $m$  järglase vastavalt *tipumuutuja*  $x(m)$  väärtusele. Vektoriga  $X^* \in \{0, 1\}^n$  on graafis määratud liikumine tipust tipu. Igal tipul  $m$  on kaks väljuvat *kaart* (*0-kaar* ja *1-kaar*) ning vastavalt kaks *naabrit*  $m^e$ ,  $e \in \{0, 1\}$ . *0-kaar* viib väärtusel  $x(m) = 0$  tippu  $m^0$  ( $\Gamma(m, 0) = m^0$ ) ja *1-kaar* väärtusel  $x(m) = 1$  tippu  $m^1$  ( $\Gamma(m, 1) = m^1$ ). Graafis on kaks *terminaaltippu*  $m^{T,e}$ ,  $e \in \{0, 1\}$ , mida me nimetame *0-terminaliks*  $m^{T,0}$  ja *1-terminaliks*  $m^{T,1}$ .

Me ütleme, et tipumuutuja  $x(m)$  väärtus aktiveerib tipu väljundkaare. Kui  $x(m) = 1$ , siis on aktiveeritud *1-kaar*, ja kui  $x(m) = 0$ , siis on aktiveeritud *0-kaar*. Mingi *tee on graafis aktiveeritud* siis, kui kõik seda teed moodustavad kaared on aktiveeritud. BOD on aktiveeritud väärtusele 1 (0),

siis kui graafis on aktiveeritud tee algtipust (juurest) 1-terminali (0-terminali).

Binaarne otsustusdiagramm  $G_y = (M, X, I)$  esitab Boole'i funktsiooni  $y = F(X)$ , siis ja ainult siis, kui iga vektori  $X^* \in \{0,1\}^n$  jaoks, mis viib graafis terminaaltippu  $m^{T,e}$ , kehtib  $y = F(X^*) = e$ .



**Joonis 1-14.** Binaarne otsustusdiagramm

Näide 1-10.

Joonisel 1-14 on esitatud BOD, mis vastab Boole'i funktsioonile

$$y = x_1 \vee x_2(x_3 \vee x_4x_5) \vee x_6x_7$$

Edaspidi esitame graafe selliselt, et 1-kaared lähevad paremale ja 0-kaared alla. Sellisel juhul ei ole vaja kaartele panna tähistusi 0 ja 1. Olgu antud vektor  $X = 0110101$ . Liikudes selle vektori järgi läbime tippe  $x_1, x_2, x_3, 1$ . Terminaaltippu 1 jõudmine tähendab, et Boole'i funktsiooni väärtus antud vektori korral on 1.

Binaarseid otsustusdiagramme võib interpreteerida järgmistel viisidel:

- BOD on *binaarne programm* Boole'i funktsioonide arvutamiseks, kus tippudele vastavad *if-then-else* käsud,
- BOD on *andmestruktuur*, mida kasutades võib töötada mõni teine programm (näiteks BOD-le vastava funktsiooni simuleerimiseks ehk väärtuse arvutamiseks);
- BOD on *viis esitada teavet* mingist digitaalskeemist (selle interpretatsiooni juurde tuleme edaspidi tagasi, vt. 1.2.4).

Teiselt poolt ei ole binaarne otsustusdiagramm muud kui võimalus esitada kombinatsioonskeemide funktsioone, käsitledes esitatavat skeemi nn. *musta kastina*. Skeemide diagnostiliseks modelleerimiseks oleks aga vaja käsitleda ka skeemi sisemist struktuuri s.t. simuleerida rikkeid skeemi sisepunktides. Soovides modelleerida BOD abil skeeme ventiilide tasandil diagnostika eesmärgil, oleks kaks võimalust:

- kujutada skeemi ventiilide võrguna ja esitada igat ventiili BOD kujul, või
- konstrueerida igale skeemi sisepunktile selle funktsiooni esitamiseks eraldi BOD.

Viimasel juhul on BOD puuduseks tema keerukuse eksponentsiaalne kasv kombinatsioonskeemide keerukuse kasvades.

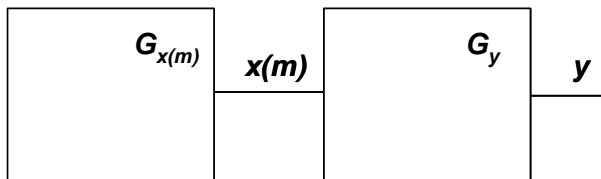
Järgnevalt vaatleme ühte BOD eriklassi, nn. *struktuurselt sünteesitud BOD*-sid (SSBOD), kus nimetatud puuduste mõju väheneb.

## 1.2.2. Struktuurselt sünteesitud binaarsed otsustusdiagrammid

Struktuurselt sünteesitud BOD mudel võeti kasutusele *ventiiltasandil* esitatud kombinatsioonskeemide diagnostiliseks modelleerimiseks signaaliteede terminites [Uba 76, Pla 80, Uba 96].

SSBOD sünteesi aluseks on binaarsete otsustusdiagrammide *superpositsiooni meetod* [Uba 76]. Olgu antud kaks kombinatsioonskeemi (joonis 1-15), millest üks on esitatud BOD-ga  $G_y = (M_y, X_y, I)$ , ja ühele tipule  $m \in M_y$  vastav muutuja  $x(m) \in X_y$  on teise kombinatsioonskeemi väljundiks, mis omakorda on esitatud ühe teise BOD-ga  $G_{x(m)} = (M_{x(m)}, X_{x(m)}, I)$ . Otsustusdiagrammide superpositsioon antud juhul seisneb

graafi  $G_y$  tippu  $m \in M_y$  asendamises graafiga  $G_{x(m)}$ . Operatsioon seisneb järgmiste sammude läbiviimises.



*Joonis 1-15. Kaks omavahel ühendatud skeemi*

Algoritm 1-1. BOD superpositsioon:

1. Tipp  $m$  koos oma kahe kaarega eemaldatakse graafist  $G_y$ .
2. Terminaaltipud  $m^{T,e}$ ,  $e \in \{0,1\}$ , eemaldatakse graafist  $G_{x(m)}$ .
3. Kõik terminaaltippudega  $m^{T,e}$  seotud olnud kaared graafis  $G_{x(m)}$  ühendatakse tippu  $m \in M_y$  vastavate järglastega  $m^e$  graafis  $G_y$ .
4. Kõik tippu  $m$  sisenenud kaared graafis  $G_y$  ühendatakse graafi  $G_{x(m)}$  algtipuga ehk juurega  $m_0$ .

Algoritmi 1-1 teel saadud graafe nimetamegi *struktuurselt sünteesitud binaarseteks otsustusdiagrammideks* (SSBOD).

Näide 1-11.

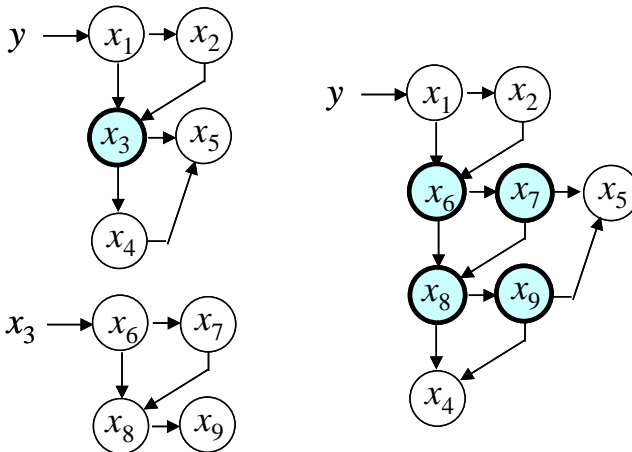
Kahe BOD superpositsiooni operatsioon on illustreeritud joonisel 1-16. Funktsiooni  $y = x_1x_2 \vee (x_3 \vee x_4)x_5$  esitava graafi  $G_y$  tipp  $m$  asendatakse teise graafiga  $G_{x_3}$ , mis esitab funktsiooni  $x_3 = x_6x_7 \vee x_8x_9$ . Uus graaf  $G_y$  esitab funktsiooni

$$y = x_1x_2 \vee (x_6x_7 \vee x_8x_9 \vee x_4)x_5.$$

Graafika lihtsustamiseks on joonisel 1-16 (ja edaspidi) terminaaltipud koos sinna suubuvate kaartega ära jäetud. Kuna kokkuleppeliselt kõik 1-kaared suunduvad alati paremale ja kõik 0-kaared alla, siis 1-kaarte puudumist tuleb interpreteerida, et graafist “väljumine” paremale tähendab



sisenemist 1-terminaali ja 0-kaarte kaarte puudumist tuleb interpreteerida, et graafist “väljumine” alla tähendab sisenemist 0-terminaali.

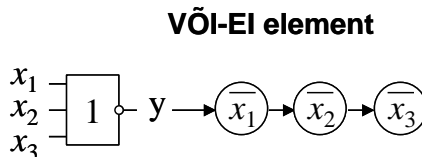
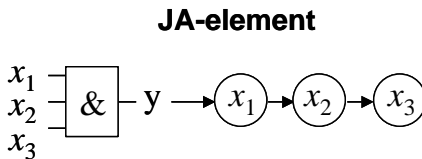
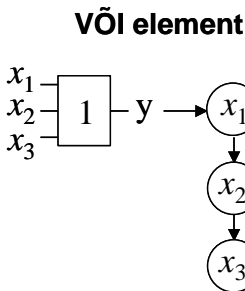


**Joonis 1-16.** Binaarsete otsustusdiagrammide superpositsioon

Kasutades BOD superpositsiooni võib suvalise ventiiltasemel esitatud kombinatsiooniskeemile vastavusse seada struktuurselt sünteesitud BOD.

Olgu antud ventiiltasemel kombinatsiooniskeem, kus iga ventiil (loogikaelement) on esitatud binaarse otsustusdiagrammiga. Niisuguste elementaardiagrammide näited on toodud joonisel 1-17.

Alustades skeemi väljundelemendile vastavast graafist ja kasutades *iteratiivselt* superpositsiooni protseduuri saaksime graafide võrgu asemel üheainsa graafi (iga iteratsiooniga redutseerime mudelit ühe tipu ja ühe graafi võrra). Selleks, et redutseerida mudelit (tippude koguarvu) maksimaalselt, tuleks superponeerida graafe üksnes puukujuliste alamskeemide ulatustes. Sellisel juhul saaksime üksnes ventiilide võrgu asemel *puukujuliste alamskeemide e. makrode* võrgu, kus igale makrole vastab üks SSBOD.

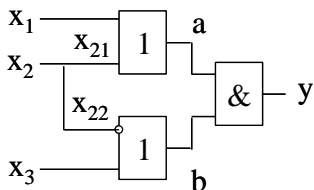


*Joonis 1-17. Elementaasete binaarsete otsustusdiagrammide näited*

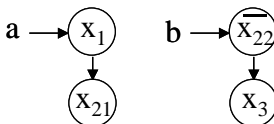
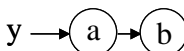
Näide 1-12.

Joonisel 1-18 on esitatud näide SSBOD genereerimisest puukujulisele kombinatsiooniskeemile. Võrdluseks on toodud skeemile vastava Boole'i funktsiooni superpositsioon.

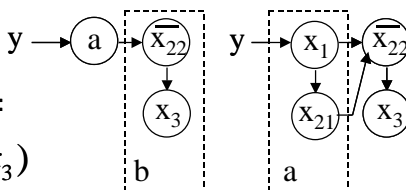
**Kombinatsiooniskeem:**



**BOD-teek:**



**BOD superpositsioon → SSBOD**



**Boole'i funktsioonide superpositsioon:**

$$y = a \& b = (x_1 \vee x_{21}) \overline{(x_{22} \vee x_3)}$$

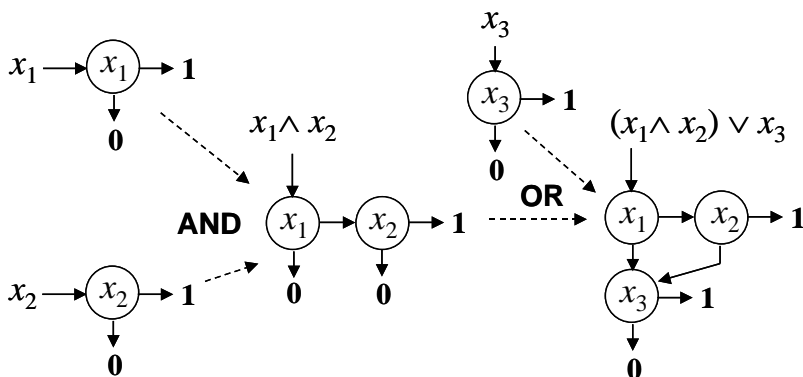
*Joonis 1-18. SSBOD mudeli süntees kombinatsiooniskeemile*

SSBOD mudeli genereerimist antud kombinatsioonskeemile alustame joonisel 1-18 väljundelemendist JA ja sellele vastavast graafist  $G_y$ , mis koosneb kahest tipust  $a$  ja  $b$ . JA elemendi sisend  $a$  on samal ajal graafiga  $G_a$  esitatud VÕI elemendi väljundiks. Graaf  $G_a$  koosneb kahest tipust  $x_1$  ja  $x_{21}$ . Kõigepealt asendame tipu  $a$  graafis  $G_y$  graafiga  $G_a$ , seejärel tipu  $b$  graafis  $G_y$  graafiga  $G_b$ , mis koosneb tippudest  $x_{22}$  ja  $x_3$ . Lõplik graaf, mis esindab antud puukujulist kombinatsioonskeemi ehk makrot, kust on välja jäetud hargnev sisend  $x_2$ , koosneb tippudest  $x_1$ ,  $x_{21}$ ,  $x_{22}$ , ja  $x_3$ .

Olgu märgitud, et samale ventiilskeemile saaks sünteesida SSBOD mudelit ka kasutades BOD sümboolset manipuleerimist [Bry 86]. Näide elementaarsete loogikaoperatsioonide kasutamisest BOD sünteesiks Boole'i funktsioonile  $y = x_1x_2 \vee x_3$  või sellele vastavale kahest elemendist koosnevale ventiilskeemile alates sisenditest kuni väljundini [Sas 98] (vastupidiselt superpositsiooni protseduurile, mis toimub väljundist sisendite suunas) on esitatud joonisel 1-19.

Sümboolse manipuleerimise meetod graafidega loogikaoperatsioone sooritades on läbi viidav vaid ventiilide kaupa graafi ehitades. Superpositsioonimeetod on üldisem, kuna võimaldab suvalisi graafe (funktsioone) kokku ühendada.

SSBOD mudelit võib kasutada otseselt ventiiltasandil esitatud kombinatsioonskeemidele testide genereerimiseks.

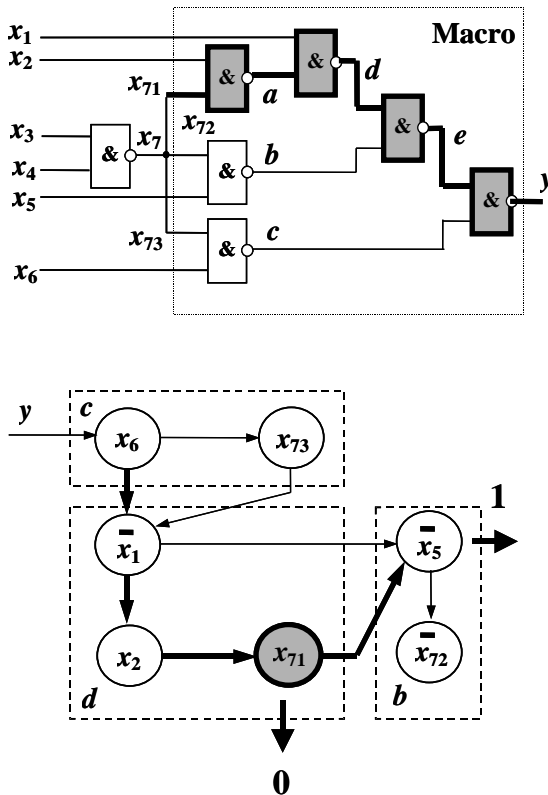


Joonis 1-19. BOD mudeli süntees loogikaoperatsioone kasutades

Erinevalt traditsioonilistest binaarsetest otustusdiagrammidest, kehtib SSBOD mudeli jaoks järgmine omadus: igale tipule  $m$  graafis  $G_y$ , mis kirjeldab mingis ventiiltasandil esitatud kombinatsiooniskeemis  $N$  puukujulist alamskeemi  $N_y$ , vastab üheselt mingi signaalitee  $l(m)$  skeemis  $N_y$ . See üksühene vastavus SSBOD tippude ja kombinatsiooniskeemi signaaliteede vahel tuleneb otseselt SSBOD sünteesist superpositsiooni meetodil.

Näide 1-13.

Joomisel 1-20 on esitatud puukujuline makro ja talle vastav struktuurselt sünteesitud otsustusdiagramm.



Joonis 1-20. Kombinatsiooniskeem ja selle BOD mudel

Igale tipule  $m$  tipumuutujaga  $x(m)$  selles graafis joonisel 1-20 vastab signaalitee kombinatsiooniskeemis, mis algab muutujaga  $x(m)$  tähistatud ühendusest ja levib väljundini  $y$ . Tipumuutuja on inverteeritud, kui inversioonide arv talle vastaval signaaliteel on paaritu ja ilma inversioonita, kui paaris. Näiteks tipp muutujaga  $x_2$  graafis esitab paarisarvu invertoritega signaaliteed läbi skeemipunktide  $x_2, a, d, e, y$  (rasvaselt tähistatud osa skeemis joonisel 1-20). Tipumuutuja  $x_1$  on aga inverteeritud, kuna talle vastav signaalitee  $x_1, d, e, y$  sisaldab paaritud arvu invertoreid. Skeemipunktis  $x_7$  on 3 hargnemist, kus iga haruga  $x_{7,k}$  ( $k = 1, 2, 3$ ) algavale ja väljundis  $y$  lõppevale signaaliteele skeemis vastab konkreetne sama muutujaga  $x_{7,k}$  tähistatud tipp graafis.

Kirjeldatud SSBOD mudelil on rida eeliseid üldisema pelgalt Boole'i funktsioonide esitamiseks mõeldud BOD mudeliga võrreldes.

Esiteks, SSBOD modelleerib lisaks skeemi funktsioonile ka skeemi struktuuri – igale graafitipule vastab üks ja ainus signaalitee skeemis. Sellest tulenevalt on skeemi *struktuursete rikete* esitamine mudelis vahetu – skeemi rikkeid võib vaadelda graafitippude atribuutidena.

Teiseks, kombinatsiooniskeeme võib diagnostika eesmärgil modelleerida SSBOD abil nii ventiilide kui ka kõrgemal makrode tasandil, kusjuures makroks võib olla suvaline osa skeemist (alamskeem). Erinevalt traditsioonilisest modelleerimisest ventiilide tasandil, kus iga ventiili tüübi esitamiseks on vajalik tema konkreetse mudeli hoidmine andmeteegis, SSBOD puhul ei ole selliste mudeltekide olemasolu vajalik. Kolmandaks, diagnostilise analüüsi meetodeid, mis on välja töötatud SSBOD mudeli baasil loogikatasandit silmas pidades, on võimalik vahetult üldistada kõrgema tasandi otsustusdiagrammide mudeli jaoks digitaalsüsteemide kõrgemaid esitustasandeid silmas pidades [Uba 81, Uba 83, Uba 96], vt. 1.2.4. – 1.2.7.

### 1.2.3. Diagnostikaoperatsioonid SSBOD mudelil

Vaatleme alljärgnevalt kahe põhilise diagnostikaülesande lahendamist struktuursetl sünteesitud otsustusdiagrammidel: pöördülesanne ehk testide genereerimine ja otseülesanne ehk rikete diagnoos.

#### Testide genereerimine

Olgu antud  $n$  sisendiga puukujuline skeem  $N_y$ , millele vastab mingi Boole'i funktsioon  $y = F(X) = F(x_1, x_2, \dots, x_n)$  ja SSBOD  $G_y$ . Genereerides

testi tipule  $m$  graafis  $G_y$  leitakse sisendsignaali vektor, mis on testiks sisendile  $x(m)$  skeemis  $N_y$  ja tervele reale riketele signaaliteel  $l(m)$ . Sama testi leidsime lahendades Boole'i differentsiaalvõrrandi (1-3).

Testi genereerimine SSBOD tipule toimub järgmise algoritmi kohaselt [Uba 96, Rai 98, Uba 98].:

Algoritm 1-2. Testi genereerimine SSBOD tipule:

1. Aktiveerida tee  $l_m$  SSBOD algtipust tipuni  $m$ .
2. Aktiveeritakse kaks teega  $l_m$  mittevasturääkivat teed  $l_{m,e}$ , kus  $e \in \{0,1\}$ , tipu  $m$  naabritest  $m^e$  vastavate  $e$ -terminalideni  $m^{T,e}$ . Kui tipp  $m$  on vahetult ühendatud terminaliga  $m^{T,e}$ , ei ole konkreetse  $e$  väärtuse jaoks teed  $l_{m,e}$  vaja aktiveerida.

Näide 1-14.

Vaatleme testi genereerimist graafi  $G_y$  tipule muutujaga  $x_{71}$  joonisel 1-20, millele vastab signaalitee skeemis alates punktist  $x_{71}$  läbi ventiilide  $a, d, e, y$ .

Aktiveerime *Algoritmi 1-2* kohaselt tee  $l_m$  läbi tippude<sup>2</sup>  $x_6, \neg x_1, x_2$ , valides vastavalt väärtused  $x_6=0, x_1=1$  ja  $x_2=1$ . Tee  $l_{m,1}$  aktiveerimiseks 1-terminali valime väärtuse  $x_5=0$ . Teed  $l_{m,0}$  ei olegi vaja aktiveerida, kuna testitav tipp  $x_{7,1}$  on juba ühendatud terminaliga 0. Lõplik testvektor on seega  $x_1, x_2, x_5, x_6, x_7 = 1100-$ . Kuna  $x_7$  on skeemi sisepunkt, siis antud testi tuleb käsitleda kui makrokomponendi lokaalse sisendvektorina. Kuidas lõplikku testi saada antud haru testimiseks käsitleme edaspidi. Leitud testvektor aktiveerib skeemis rasvaselt näidatud signaalitee. Testi leidmiseks vajalikud aktiveeritud teed graafis on samuti näidatud rasvaselt.

Kui kasutaksime Boole'i differentsiaalaparaati antud ülesande lahendamiseks tuleks lahendada võrrand:

$$\frac{\partial y}{\partial x_{7,1}} = \frac{\partial (x_6 x_{7,3} \vee (\overline{x_1} \vee x_2 x_{7,1})) (\overline{x_5} \vee \overline{x_{7,2}})}{\partial x_{7,1}} = x_6 x_{7,3} (x_5 \vee x_{7,2}) x_1 x_2 = x_1 x_2 x_5 x_6 \vee \dots = 1$$

---

<sup>2</sup> Lihtsuse eesmärgil nimetame tippe  $m$  mõnikord ka neile vastavate tipumuutujate  $x(m)$  järgi

Saaksime sama lahendi. Võrrandist nähtub, et lahendeid on veelgi rohkem, kuid kõik need sõltuvad muutuja  $x_7$  väärtusest. Näiteks, üks lahenditest  $x_1, x_2, x_5, x_6, x_7 = 11-00$  tähendab seda, et saaksime testida sisendis  $x_7$  vaid signaalimuutusi  $0 \rightarrow 1$ , aga mitte muutusi  $1 \rightarrow 0$ . Selles mõttes on esimene lahend üldisem, kuna muutuja  $x_7$  väärtusest mittesõltumine võimaldab testida sisendis  $x_7$  mõlemasuunalisi signaalimuutusi.

### Rikete diagnostika.

Olgu antud test vektor  $T = (X^*, e)$ , kus  $e \in \{0,1\}$  on funktsiooni muutuja  $y$  väärtus sisendvektori  $X^*$  korral. Vektor  $X^*$  aktiveerib mingi tee  $l(T)$  graafis terminaaltipuni  $m^{T,e}$ . Tipp  $m \in l(T)$  sellel teel on siis ja ainult siis testitud kui lisaks teele  $l(T)$  on aktiveeritud veel ka mingi teine tee  $l_{m,-e}$  tipust  $m^{-e}$  terminalini  $m^{T,e}$ .

Nimetatud tingimusest tuleneb järgmine *testvektorite diagnostilise analüüsi* algoritm.

### Algoritm 1-3. Testvektori $T$ diagnostiline analüüs SSBOD mudelil.

1. Simuleerida läbi testiga aktiveeritud tee  $l(T)$  potentsiaalselt testitavate tippude leidmiseks. Olgu selle tee terminaaltipuks  $m^{T,e}$ .
2. Iga tipu  $m \in l(T)$  jaoks jätkata simuleerimist alates selle tipu järglasest  $m^{-e} \notin l(T)$ , et kontrollida, kas teine tee  $l_{m,-e}$  terminaaltippu  $m^{T,-e}$  on samuti aktiveeritud; kui on, siis antud vektor  $T$  testib tippu  $m$ .

### Näide 1-15.

Vaatleme veelkord joonist 1-20. Lokaalne testvektor joonisel esitatud makro jaoks  $T = (11001,1)$  aktiveerib graafis tee  $l(T) = (x_6, -x_1, x_2, x_{7,1}, -x_5, m^{T,1})$ . Järgnevalt kontrollime aktiveeritud tee  $l_{m,0}$  olemasolu tippudele sellel teel  $l(T)$ . Tippudel  $x_6$  ja  $-x_1$  see puudub, mõlema tipu puhul tipumuutuja väärtuse muutumine ei muuda funktsiooni  $y$  väärtust. Tippude jaoks  $x_2$  ja  $x_{7,1}$  ei olegi vaja seda kontrolli läbi teha – ühendus 0-terminaliga on vahetu. Tipu  $-x_5$  jaoks tee  $l_{m,0}$  samuti puudub. Seega vektor  $T$  testib antud graafis üksnes tippu  $x_2$  ja  $x_{7,1}$  ehk sellele vastavalt mõlemat signaali teed skeemis alates sisenditest  $x_2$  ja  $x_{7,1}$  läbi ventiilide  $a, d, e$  ja  $y$ .

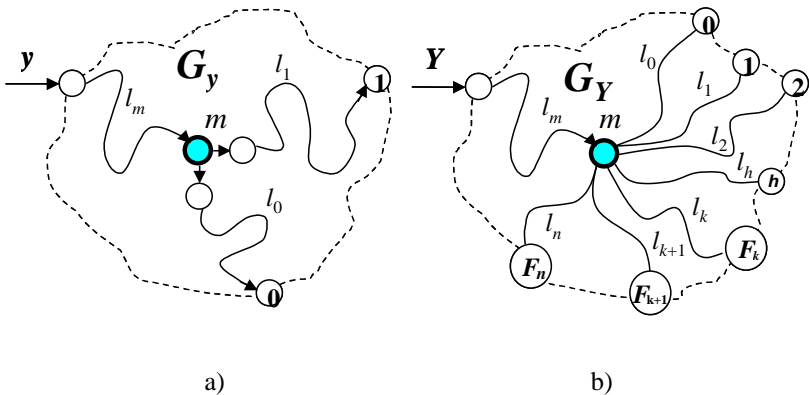
Kui testvektorit rakendada makro sisenditele ja väljundsignaali  $y$  väärtus osutub vigaseks tuleb kahtlustada rikkeid tippudes  $x_2$  või  $x_{7,1}$  ehk neile vastavatel signaaliteedel skeemis.

Vaadeldud operatsioonide algoritmid põhinevad SSBOD mudeli topoloogilisel töötlusel ja seetõttu võib siin Boole'i algebra konteksti kõrvale jätta.

Omistame aktiveeritud teele graafis põhimõtteliselt uudse tähenduse: selle asemel, et käsitleda aktiveeritud teed kui Boole'i differentsiaalvõrrandi lahendit ehk ühte termi disjunktiivses või konjunktiivses normaalkujus, võime teda vaadelda kui tagajärg-põhjuse (testide genereerimine) või põhjus-tagajärje (rikete diagnostika) funktsiooni.

Kui tahame kavandada testi mingite objektide (graafitippude) käitumise kontrollimiseks, siis tuleb konstrueerida niisugune topoloogiline situatsioon graafis, kus graafiga esitatava funktsiooni väärtus hakkab sõltuma sellest, millises suunas testitavast tipust väljutakse.

Binaarses otsustusdiagrammis  $G_y$  (joonis 1-21a) tuleb selleks aktiveerida kolm teed (nn. "kolmjalg"): tee  $l_m$  graafi algusest testitavasse tippu  $m$ , ja tipu  $m$  naabritest kaks teed  $l_0$  ja  $l_1$  vastavalt 0-terminali ja 1-terminali. Sõltuvalt tipust  $m$  väljumise suunast, same funktsioonile erinevad väärtused.



**Joonis 1-21.** Binaarne ja kõrgtaseme otsustusdiagramm

Üldistades nüüd otsustusdiagrammi mõistet kõrgtaseme otsustusdiagrammiks  $G_Y$  (joonis 1-21), lubame muutujatele  $x(m)$  rohkem



väärtusi kui 0 või 1 ning laseme ka terminaltippude arvu vabaks. Terminalides võivad, kuid ei pea enam olema konstandid  $0, 1, 2, \dots, h, \dots, k-1$ , vaid seal võivad olla ka suvalised funktsionaalsed avaldised  $F_k, F_{k+1}, \dots, F_n$ . Tipu  $m$  testimise ülesanne topoloogilises mõttes jab aga ikka samaks: on vaja aktiveerida algtee  $l_m$  ja abiteed  $l_0, l_1, \dots, l_{k-1}, l_k, l_{k+1}, \dots, l_n$  tipu  $m$  naabritest vastavalt terminalidesse  $0, 1, \dots, k-1, F_k, F_{k+1}, \dots, F_n$ .

## 1.2.4. Otsustusdiagrammide üldjuhtum

Olgu digitaalsüsteem kirjeldatav funktsioonina  $Y = F(X) = F(X_1, X_2, \dots, X_n)$ , kus  $X_j \in X$  on täisarvulised muutujad *määramispiirkondadega*  $V(X_j)$ , ning funktsioon  $F$  on esitatatav kujul  $F: V(X_1) * V(X_2) * \dots * V(X_n) \rightarrow V(Y)$ , kus  $V(Y)$  - on funktsiooni *muutumispiirkond* ja  $*$  - tähistab *Descartes'i korrutist*. Defineerime digitaalsüsteemi  $y = F(X)$  esitavat otsustusdiagrammi (OD) üldjuhul kui *orienteeritud tsükliteta graafi*  $G_Y = (M, X, \Gamma)$ , kus  $M = \{m\}$  on *tippude* hulk,  $X = \{X_1, X_2, \dots, X_n\}$  on funktsiooni argumentide hulk,  $X(m) \in X$  on muutuja, mis on vastavusse seotud tipuga  $m$ , ning  $\Gamma(M, X)$  on funktsiooniga  $Y = F(X)$  üheselt määratud relatsioon, kus  $\Gamma(m, X(m))$  määrab tipu  $m$  järglase vastavalt *tipumuutuja*  $X(m)$  määramispiirkonnale  $V(X(m))$ . Vektoriga  $X^*$  on graafis määratud liikumine tipust tippu. Igal tipul  $m$  on  $|V(X(m))|$  väljuvat kaart ning vastavalt  $k \leq |V(X(m))|$  naabrit  $m^e$ ,  $e \in V(X(m))$ . Graafis on  $N$  *terminaaltippu*  $m^{T,i}$ ,  $i = 1, 2, \dots, N$ ,  $N \geq 2$ , märgenditega  $x(m^{T,i})$ , mis võivad olla konstandid, muutujad  $X_j \in X$  või funktsionaalsed avaldised muutujatest  $X_j \in X$ .

Me ütleme, et tipumuutuja  $X(m)$  väärtus aktiveerib mingi tipu  $m$  väljundkaare. Mingi tee on graafis aktiveeritud siis, kui kõik seda teed moodustavad kaared on aktiveeritud. OD on aktiveeritud väärtusele  $e \in V(Y)$  siis kui graafis on aktiveeritud tee algtipust (juurest) mingi terminalini  $m^T$ , nii et  $X(m^T) = e$ . Otsustusdiagramm  $G_Y = (M, X, \Gamma)$  esitab funktsiooni  $Y = F(X)$ , siis ja ainult siis, kui iga vektori  $X^*$  jaoks, mis viib graafis terminaaltippu  $m^T$ , kehtib  $F(X^*) = X(m^T)$ .

Sõltuvalt digitaalsüsteemi klassist või süsteemi esitustasemest, me võime klassifitseerida eri tüüpi otsustusdiagramme erinevate muutujate ja tippude interpretatsioonidega.

Vaatleme kahte otsustusdiagrammide sünteesi meetodit: süsteemi *protseduurse mudeli sümbolsimuleerimine* ja süsteemi struktuurse OD võrgu superpositsioon. Viimasel juhul süsteemi komponentide OD-mudelid peavad eelnevalt juba sünteesitud olema.

### OD süntees süsteemi protseduurse mudeli sümbolsimuleerimise abil

Olgu antud mingi süsteemi protseduurne kirjeldus. Sümbolsimuleerimise teel genereeritakse puu protseduuri kõigist võimalikest teedest (süsteemi *tööviisidest*). Iga tee jaoks leitakse kõigi vajalike tingimuste hulk  $C$ , milliste korral antud tee realiseerub ja tegevuste (operatsioonide) hulk  $P$ , mis antud tingimustel realiseeruvad. Hulgad  $C$  ja  $P$  on aluseks OD-mudeli konstrueerimisel.

```
BEGIN
  Memory state:      M
  Processor state:   PC, AC, AX
  Internal state:    TMP
  Instruction format: IR = OP. A. F0. F1. F2.
  Execution process: EXEC:
    BEGIN
      DECODE OP ⇒ (
        0: AC ← AC + M? A?
        1: M[A] ← AC, AC ← 0
        2: M[A] ← M[A] + 1,
           IF M[A] = 0 THEN PC ← PC + 1
        3: PC ← A
           .....
        7: IF F0 THEN AC ← AC + 1
           IF F1 THEN IF AC = 0 THEN PC ← PC + 1
           IF F2 THEN (TMP ← AC, AC ← AX, AX ← TM)
      )
    END
  END
```

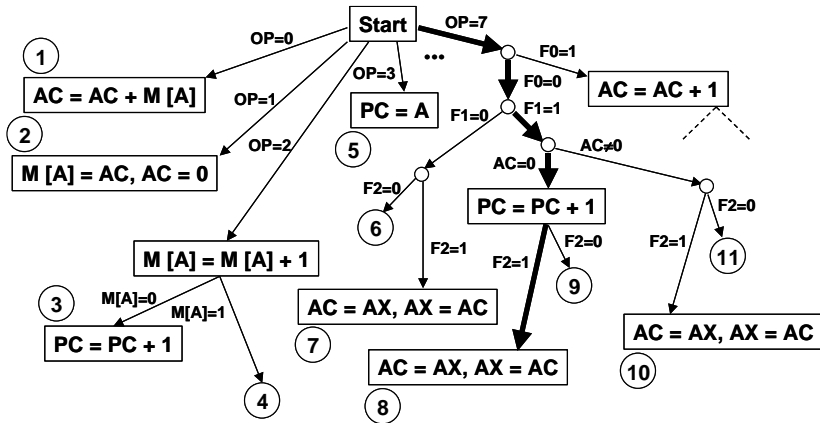
### *Joonis 1-22. Fragment protsessori protseduursest kirjeldusest*

Vaatleme näitena fragmenti ühe *protsessori protseduursest kirjeldusest* joonisel 1-22.

Protsessori andmemuutujateks on  $M$ ,  $PC$ ,  $AC$  ja  $AX$ , juhtmuutujateks on käsuformaadi väljad: *operatsioonikood*  $OP$  ja *loogikatingimused* (lipud)  $F0$ ,  $F1$  ja  $F2$ . Täisarvulise muutuja  $OP$ , mille määramispiirkonnaks on  $V(OP) = \{0,1,2, \dots,7\}$  ja *binaarmuutujate*  $F0$ ,  $F1$  ja  $F2$  kõigi väärtuste läbi simuleerimisel genereeritaks puu joonisel 1-23.

Iga haru selles puus kujutab ühte võimaliku teed läbi protseduuri joonisel 1-22. Puu kaartele on märgitud tingimused hulgast  $C$ , milliste puhul antud kaar realiseerub, puu tippudes on aga esitatud operatsioonid hulgast  $P$ , mis vastava tee läbimisel täide viiakse. Sümbolsimuleerimise puu alusel koostatakse loetelu kõikvõimalikest paaridest - tingimuste

alamhulgast ja operatsioonidest (süsteemi töörezhiimidest), mis antud tingimustel toimuvad.



Joonis 1-23. Sümbolsimuleerimise puu

Näide niisugusest loetelust joonisel 1-23 toodud puu jaoks on esitatud Tabelis 1-2.

Tabel 1-2 Nimistu süsteemi töörezhiimidest

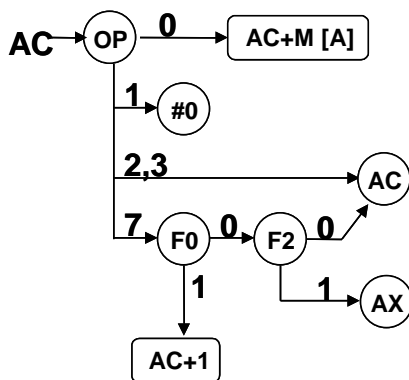
No	Input assertions	Output assertions
1	OP = 0	AC = AC + M[A]
2	OP = 1	M[A] = AC, AC = 0
3	OP = 2, M[A] + 1 = 0	M[A] = M[A] + 1, PC = PC + 1
4	OP = 2, M[A] + 1 ≠ 0	M[A] = M[A] + 1
5	OP = 3	PC = A
6	OP = 7, FO=0, F1=0, F2=0	NO CHANGE
7	OP = 7, FO=0, F1=0, F2=1	AC = AX, AX = AC
8	OP = 7, FO=0, F1=1, AC=0, F2=1	AC = AX, AX = AC
9	OP = 7, FO=0, F1=1, AC=0, F2=0	NO CHANGE

Tabeli paremal pool esitatud operatsioonide hulgast ekstraheerime funktsiooni muutujad (avaldiste vasakud pooled)  $Y = \{AC, AX, M, PC\}$ . Nende muutujate jaoks on võimalik konstrueerida otsustusdiagrammid, kusjuures tingimustega Tabeli 1-2 vasakust pooldest märgendame OD mitteterminaalseid tippe ja operatsiooniavaldiste paremate pooltega tabeli

paremast pooldest märgendame OD terminaaltipud. Nii näiteks muutuja  $AC$  jaoks, viies läbi vajalikud lihtsustused, leiame järgmise sõltuvuse:

$$AC = (OP = 0) (AC + M[A]) \vee (OP = 1) (0) \vee [(OP = 2) \vee (OP = 3)] AC \vee \\ \vee (OP = 7) [(F0 = 0) ((F2 = 0) AC \vee (F2 = 1) AX) \vee \\ \vee (F0 = 1) (AC + 1)],$$

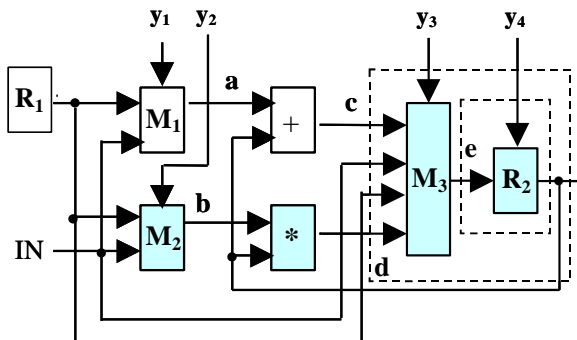
millele vastab otsustusdiagramm joonisel 1-24.



**Joonis 1-24.** Otsustusdiagramm funktsiooni muutuja  $AC$  jaoks

### OD süntees superpositsiooni meetodil

Joonisel (1-25) on esitatud digitaalsüsteemi *operatsioonautomaat*, mis koosneb järgmistest *operatioonelementidest*: registritest  $R_1$  ja  $R_2$ , kolmest multipleksorist  $M_1$ ,  $M_2$ ,  $M_3$ , summaatorist ja korrutajast. Süsteemi juhtmuutujateks on sisendsignaalid  $y_1$ ,  $y_2$ ,  $y_3$ ,  $y_4$ , ning andmesisendiks sõnamuutuja  $IN$ . Komponentide  $M_1$ ,  $M_2$ ,  $M_3$  ja  $R_2$  funktsioonid on esitatud Tabelis 1-3. Nendele funktsioonidele vastavad otsustusdiagrammid  $G_{M,1}$ ,  $G_{M,2}$ ,  $G_{M,3}$ ,  $G_{R,2}$ , on toodud joonisel 1-26.



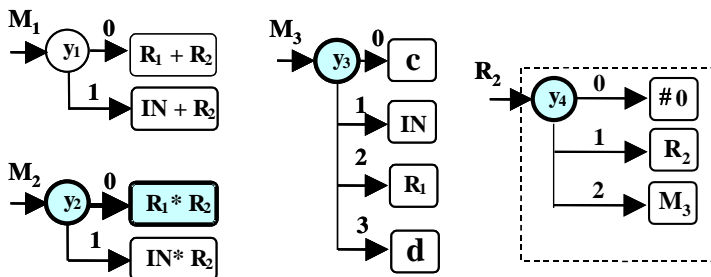
**Joonis 1-25.** Digitaalsüsteemi operatsioonautomaat

**Tabel 1-3** Joonisel 1-25 esitatud operatsioonelementide funktsioonid

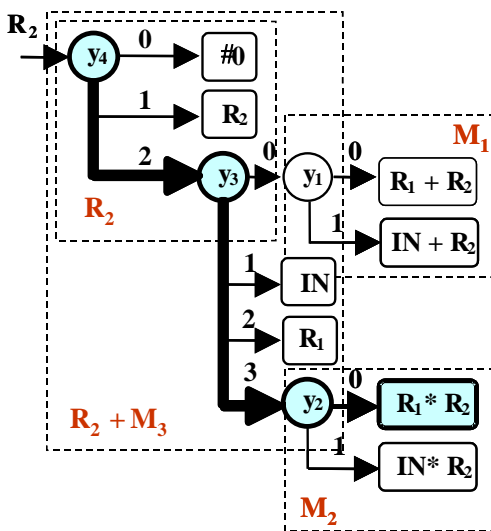
M <sub>1</sub>		M <sub>2</sub>		M <sub>3</sub>		R <sub>2</sub>		
y <sub>1</sub>	Function	y <sub>2</sub>	Function	y <sub>3</sub>	Function	y <sub>4</sub>	Operation	F
0	M <sub>1</sub> = R <sub>1</sub>	0	M <sub>2</sub> = R <sub>1</sub>	0	M <sub>3</sub> = M <sub>1</sub> + R <sub>2</sub>	0	Reset	R <sub>2</sub> = 0
1	M <sub>1</sub> = IN	1	M <sub>2</sub> = IN	1	M <sub>3</sub> = IN	1	Hold	R <sub>2</sub> = R <sub>2</sub>
				2	M <sub>3</sub> = R <sub>1</sub>	2	Load	R <sub>2</sub> = M <sub>3</sub>
				3	M <sub>3</sub> = M <sub>2</sub> * R <sub>2</sub>			

Viies läbi järgnevalt superpositsiooni protseduuri, kus kõigepealt asendades graafis  $G_{R,2}$  tipu  $M_3$  graafiga  $G_{M,3}$ , seejärel saadud graafis tipu  $c$  graafiga  $G_{M,1}$  ja tipu  $d$  graafiga  $G_{M,2}$  saame uue superponeeritud graafi  $G_{R,2}$  joonisel 1-27, mis esitab kompaktselt operatsioonautomaati joonisel 1-25.

Otsustusdiagrammi  $G_{R,2}$  eeliseks võrreldes traditsioonilise komponentide võrguga joonisel 1-25 on efektiivsuse tõus süsteemi simuleerimisel ja diagnostilisel modelleerimisel. Näiteks selle asemel, et juhtvektori  $y_1, y_2, y_3, y_4 = 0032$  simuleerimiseks läbi viia lähteskeemis joonisel 1-25 arvutusi  $a = R_1, b = R_1, c = a + R_1, d = b * R_1, e = d$ , ja  $R_2 = e$ , tuleks OD-mudelil  $G_{R,2}$  joonisel 1-27 läbi käia aktiveeritud tee läbi tippude  $y_4, y_3$  ja  $y_2$  terminaltippu, kus oleks vaja sooritada üksainus tehe  $R_2 = R_1 * R_2$ .



Joonis 1-26. OD-d süsteemi komponentide jaoks joonisel 1-25



Joonis 1-27. Otsustusdiagramm operatsioonautomaadi jaoks joonisel 1-25

Diagnostilise analüüsi efektiivsus otsustusdiagrammidel tõuseb sellest, et tagajärg-põhjus funktsionaalsed suhted on siin paremini korrastatud ning järeldused tulenevad vahetult. Näiteks väär signaali avastamisel testvektori  $y_1, y_2, y_3, y_4 = 0032$  puhul operatsioonautomaadi

väljundis tulenevad võimalikud veapõhjustused otseselt aktiveeritud teel läbitud tippudest.

Testide genereerimise efektiivsus tõuseb OD-mudelit kasutades antud juhul sellest, et tänu operatsioonautomaadi alamfunktsioonide superponeerimisele, õnnestub testi genereerida vahetult sisendmuutujate peal, ilma et oleks vaja läbi viia täiendavaid sisemuutujate väärtuste arvutamisi.

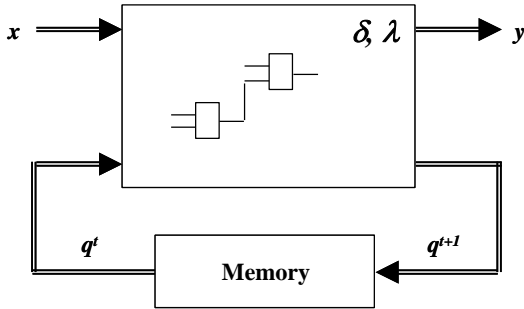
Näiteks, selleks et sünteesida testi korrutajale joonisel 1-25 toodud skeemi abil, oleks vaja levitada nii stiimuleid alates skeemisisenditest läbi skeemikomponentide testitava korrutaja sisenditeni kui ka transportida korrutaja reaktsioone läbi skeemikomponentide väljundregistrini  $R_2$ . Kasutades aga OD-mudelit on vaja üksnes leida terminaaltipp korrutaja funktsiooniga ja aktiveerida graafil tee, mis viib sellesse tippu.

### 1.2.5. Otsustusdiagrammid juhtautomaatidele

Digitaalsüsteemide *juhtautomaate* võib esitada nii struktuuri kui ka funktsioonide kaudu. Esimesel juhul vaatleme automaati *Hufmann'i* mudelina (joonis 1-28) [Gri 99], kus automaat on dekomponeeritud kombinatsioonskeemiks ja mäluskeemiks, ning teisel juhul vaatleme automaati väljundite ja üleminekute diagrammina.

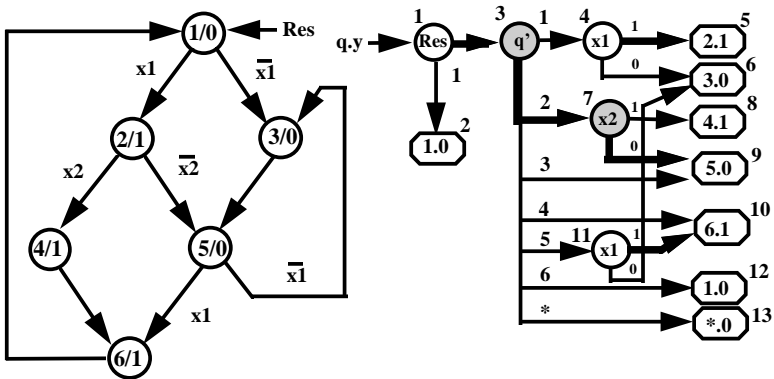
Struktuurse käsitlusviisi puhul, kus automaadi kombinatsioonskeemi osa, mis realiseerib *väljundfunktsioone*  $\lambda$  ja *siirdefunktsioone*  $\delta$ , esitatakse ventiilide võrguna, võime kasutada SSBOD mudelit juba vaadeldud kujul. Testide genereerimise efektiivsuse tõstmist silmas pidades aga pole automaatide struktuursest käsitlemisest ventiilide tasandil kasu ülesande keerukuse tõttu. Lõplike automaatide diagnostilise analüüsi efektiivsuse tõstmiseks oleks vaja neid käsitleda just kõrgematel funktsionaalsetel tasanditel.

Jättes lahtiseks automaadi olekute ja sisend/väljundmuutujate kodeerimise võime esitada automaadi sisend-, väljund- ja olekumuutujad täisarvulistena, mis võimaldab automaadi funktsioonide esitamisel loobuda keerukast loogikatasandist.



*Joonis 1-28 Lõpliku automaadi Hufmann'i mudel*

Piirdudes praegu üksnes Moore'i automaadi käsitlemisega võime nii väljundmuutuja  $y$  kui ka olekumuutuja  $q$  esitada *konkatenatsiooni* abil üheainsa liitmuutujana  $q.y$  ja konstrueerida automaadi *integreeritud funktsiooni* (vektorfunktsiooni) kujul  $q.y = f(q',x)$ , kus  $q'$  tähistab automaadi eelmist olekut. Niisuguse funktsiooni saaks esitada üheainsa *vektorotsustusdiagrammina* (joonis 1-29).



*Joonis 1-29 Lõpliku automaadi üleminekute-väljundite graafja otsustusdiagramm*



### Näide 1-16.

Joonisel 1-29 on esitatud juhtautomaadi olekute ja üleminekute ühitatud diagramm ja OD-mudel. Otsustusdiagramm esitab automaadi liit-ehk vektorfunktsiooni  $q.y = F(q', Res, x_1, x_2)$ , kus  $q.y$  – on konkatenatsioon täisarvulisest muutujast  $q$  määramispiirkonnaga  $V(q) = \{1,2,3,4,5,6\}$  ja väljundmuutujast  $y$ , mis on binaarne,  $Res$  (reset) – on automaadi binaarne *seedemuutuja* ( $Res = 1$  viib automaadi algolekusse  $q = 0$ ) ja  $x_1$  ning  $x_2$  on automaadi binaarsed sisendmuutujad. Apostroofiga ( $q'$ ) tähistame automaadi olekut eelmisel taktil. Terminaaltipud on mudelis märgendatud *liitkonstantidega* – liitmuutuja  $q.y$  võimalike väärtustega (vastavalt, järgmine olek ja väljundi  $y$  väärtus). Võimalike rikete tõttu tekkida võiva “*illegaalse*” oleku tähistamiseks kasutame täрни \* (mudelise eeldame, et illegaalse oleku puhul on automaadi väljundmuutuja  $y$  väärtuseks 0).

Võib vaadelda kahte äärmuslikku juhtu lõplike automaatide funktsionaalsel esitusel:

- 1) kasutame automaadi modelleerimiseks vaid kolme täisarvulist abstraktset muutujat sisendi, väljundi ja olekute esitamiseks ning vastavalt sellele ka vaid kahte (või ühte integreeritud) otsustusdiagrammi üleminekute (siirete) ja väljundkäitumise kirjeldamiseks;
- 2) automaadi sisendid, väljundid ja olekud kodeeritakse; sellisel juhul võib automaati esitada binaarfunktsioonide süsteemina.

### Näide 1-17.

Vaatleme otsustusdiagrammide sünteesi juhtautomaadile *VHDL kirjeldusest*. Joonisel 1-30 on esitatud 4 *protsessist* koosnev juhtautomaadi VHDL kirjeldus. Iga protsessi väljundmuutuja käitumise diagnostiliseks modelleerimiseks sünteesime sellele protsessile vastava otsustusdiagrammi *sümbolsimuleerimise* meetodil.

Järgnevate lihtsustuste läbiviimiseks võtame kasutusele järgmise tähistuse. Olgu

$$CL = \{c\uparrow, c, c\downarrow, \neg c\}$$

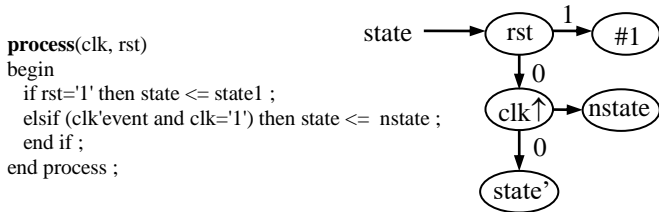
loogikamuutujate hulk tähistamaks erinevaid tüüpe taktsignaaliiga seotud protsesside aktiveerimistingimusi.

```

entity rd_pc is
  port
    ( clk, rst : in bit; rb0 : in bit; enable : in bit; reg_cp : out bit ;
      reg : out bit ; outreg : out bit ; fin : out bit ) ;
end rd_pc ;
architecture archi_rd_pc of rd_pc is type STATETYPE is
  (state1, state2);
  signal state, nstate: STATETYPE ; signal enable_in : bit ;
  signal reg_cp_comb : bit ;
begin
  seq: process(clk, rst)
  begin
    if rst='1' then state <= state1 ;
    elsif (clk'event and clk='1') then state <= nstate ;
    end if ;
  end process ;
  process(clk, enable)
  begin
    if clk='1' then  enable_in <= enable ;
    end if ;
  end process ;
  process(clk, reg_cp_comb)
  begin
    if clk='0' then  reg_cp <= reg_cp_comb ;
    end if ;
  end process ;
  comb: process (state, rb0, enable_in)
  begin
    case state is
      when state1 => outreg <= '0' ; fin <= '0' ;
        if (enable_in='0') then  nstate <= state1 ;
          reg <= '1' ; reg_cp_comb <= '0' ;
          else nstate <= state2 ; reg <= '1' ;
            reg_cp_comb <= '1' ;
        end if ;
      when state2 =>
        if (rb0='1') then  nstate <= state2 ; reg <= '0' ;
          reg_cp_comb <= '1' ; outreg <= '0' ; fin <= '0' ;
          elsif (enable_in='0') then  nstate <= state1 ; reg <= '0' ;
            reg_cp_comb <= '0' ; outreg <= '1' ; fin <= '1' ;
            else nstate <= state2 ; reg <= '0' ;
              reg_cp_comb <= '0' ; outreg <= '0' ; fin <= '1' ;
          end if ;
        end case ;
    end process ;
  end archi_rd_pc ;

```

*Joonis 1-30. Juhtautomaadi VHDL kirjeldus*

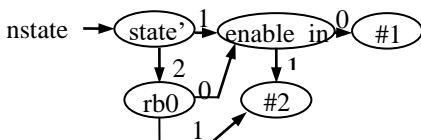


*Joonis 1-31. VHDL protsessi “state” otsustusdiagramm*

```

comb: process (state, rb0, enable_in)
begin
  case state is
    when state1 => outreg <= '0' ; fin <= '0' ;
      if (enable_in='0') then nstate <= state1 ;
        reg <= '1' ; reg_cp_comb <= '0' ;
      else nstate <= state2 ; reg <= '1' ;
        reg_cp_comb <= '1' ;
      end if ;
    when state2 =>
      if (rb0='1') then nstate <= state2 ; reg <= '0' ;
        reg_cp_comb <= '1' ; outreg <= '0' ; fin <= '0' ;
      elsif (enable_in='0') then nstate <= state1 ; reg <= '0' ;
        reg_cp_comb <= '0' ; outreg <= '1' ; fin <= '1' ;
      else nstate <= state2 ; reg <= '0' ;
        reg_cp_comb <= '0' ; outreg <= '0' ; fin <= '1' ;
      end if ;
  end case ;
end process ;

```



*Joonis 1-32. VHDL protsessi “nstate” otsustusdiagramm*

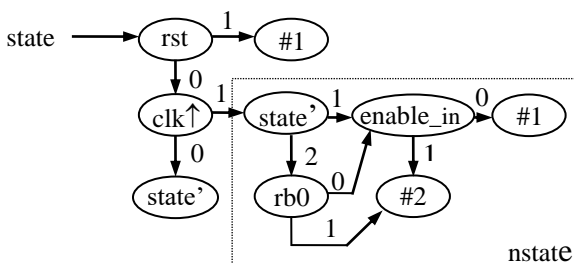
VHDL kirjelduse kontekstis tähendab  $c\uparrow$ , et protsess on aktiveeritud, kui  $clk'event \ \& \ clk = '1'$  on tõsed,  $c$  - tähendab, et protsess on aktiveeritud, kui  $clk = '1'$  on tõene,  $c\downarrow$  - tähendab, et protsess on aktiveeritud, kui  $clk'event \ \& \ clk = '0'$  on tõene, ja  $\neg c$  tähendab, et protsess on aktiveeritud, kui  $clk = '0'$  on tõene. Nagu varemgi, apostroof muutuja juures tähendab, et muutuja väärtust tuleb võtta eelneval ajahetkel. Defineerime ka järjestuse:

$$c\uparrow < c < c\downarrow < \neg c$$

määramaks, millises järjekorras protsessid ühe ja sama taktperioodi vältel aktiveeritakse

VHDL protsessidele *state* ja *nstate* vastavad otsustusdiagrammid  $G_{state}$  ja  $G_{nstate}$  on esitatud vastavalt joonistel 1-31 ja 1-32. DD sünteesiks on kasutatud peatükis 1.2.4 vaadeldud sümbolistlikku simuleerimise meetodit. Graafi  $G_{nstate}$  sünteesil on seejuures simuleeritud üksnes muutuja *nstate* käitumist. Ülejäänud väljundmuutujatele *reg.*, *reg\_cp.*, *outreg* ja *fin* tuleks sünteesida nende vastavad otsustusdiagrammid.

Kahest graafist  $G_{state}$  (joonis 1-31) ja  $G_{nstate}$  (joonis 1-32) koosnevat DD-mudelit saab lihtsustada, viies läbi graafide *superpositsiooni*. Selleks asendame tipu *nstate* graafis  $G_{state}$  graafiga  $G_{nstate}$ . Uus superponeeritud graaf on toodud joonisel 1-33, kusjuures iseseisev graaf  $G_{nstate}$  on nüüd mudelist kadunud, olles graafi  $G_{state}$  alamgraaf.



**Joonis 1-33.** Protsessi "state" otsustusdiagramm pärast superpositsiooni

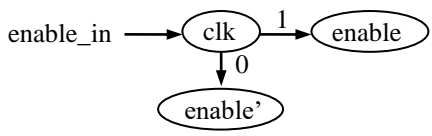
Joonisel 1-34 on toodud VHDL protsessi *enable\_in* otsustusdiagramm  $G_{enable\_in}$ . Kuna muutuja *enable\_in* on tipumuutujaks graafis  $G_{state}$ , siis on nüüd võimalik veelgi mudelit lihtsustada asendades tipu *enable\_in* graafis  $G_{state}$  graafiga  $G_{enable\_in}$ . Vastav uus graaf  $G_{state}$  on näidatud joonisel 1-35a.

Võttes arvesse taktsignaali seotud muutujate ajalist järjekvust  $c \uparrow < c < c \downarrow < \neg c$  ning ka seda, et taktsignaali ennast ei pea sünkroonskeemide mudelis ilmtingimata otseselt esitama [Lev98], võime läbi viia täiendavad lihtsustused ja esitama otsustusdiagrammi  $G_{state}$  veelgi kompaktsemalt joonisel 1-35b.

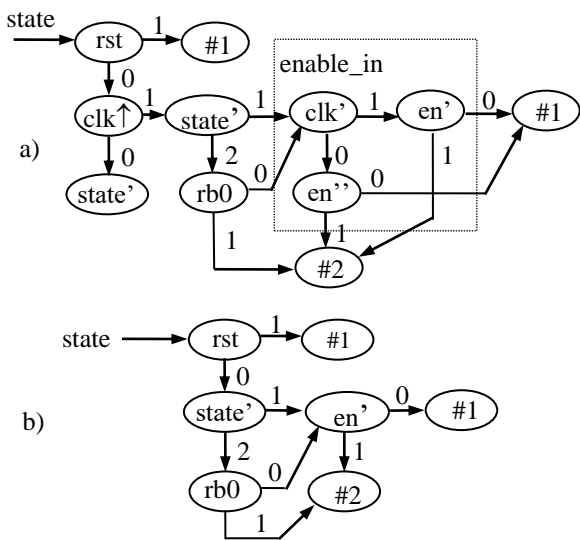
```

process(clk, enable)
begin
  if clk='1' then enable_in <= enable ;
  end if ;
end process ;

```

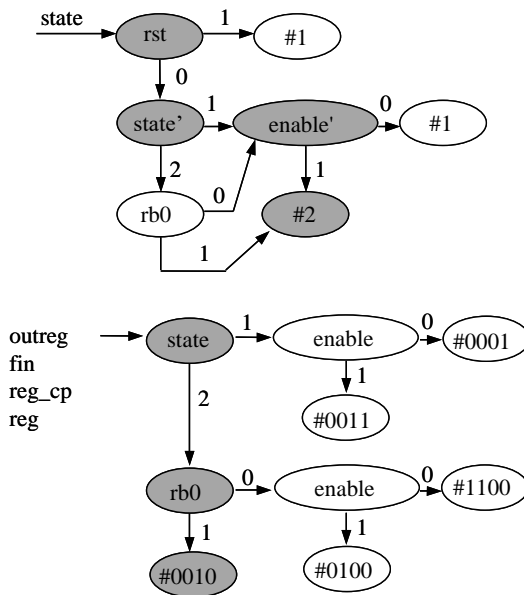


Joonis 1-34. Protsessi “enable” otsustusdiagramm



Joonis 1-35. Tipu “enable\_in” superpositsioon graafis  $G_{state}$

Superpositsiooni tulemusena on nüüd osa signaale esialgselt VHDL mudelist (joonis 1-30), mille kaudu protsessid kommunikeeruvad, ja ka vastavatest originaalotsustusdiagrammidest elimineeritud. Nii näiteks on elimineeritud graafist  $G_{state}$  (joonis 1-31) muutujad  $clk\uparrow$  ja  $nstate$ , graafist  $G_{nstate}$  (joonis 1-32)  $enable\_in$  ja graafist  $G_{enable\_in}$  (joonis 1-34)  $clk'$  ja  $en''$ . Lihtsustuste tulemusena on esialgse VHDL mudeli üleminekufunktsioonide esitus graafina  $G_{state}$  joonisel 1-35 väga kompaktnene. See omakorda tõstab modelleerimise kiirust ja vähendab otsinguruumi mahtu testide genereerimisel.



**Joonis 1-36.** Juhtautomaadi VHDL kirjelduse lõplik esitus OD mudelina.

Joonisel 1-36 on esitatud VHDL keeles kirjeldatud juhtautomaadi lõplik OD-mudel kahe graafina. Esimene graaf  $G_{state}$  esitab automaadi üleminekute funktsiooni, teine graaf väljundite funktsiooni. Väljundmuutuja on vektoriaalne, tema argumentideks on binaarmuutujad  $outreg$ ,  $fin$ ,  $reg\_cp$  ja  $reg$ . Kasutades vektormuutujat on võimalik väljundfunktsiooni mudelit esitada kompaktselt üheainsa vektorgraafina.

OD-mudel võimaldab lihtsustada testide genereerimist võrreldes esialgse VHDL kirjeldusega, kuna kogu funktsionaalses mõttes “ebaoluline info” on OD-mudelist eemaldatud. Käies OD-mudelis joonisel 1-36 läbi kõik teed ja aktiveerides neid saaksime genereerida vaid 6-st vektorist koosneva funktsionaalse testjada, mis on ära toodud Tabelis 1-4. Tabelis ära värvitud testvektorile vastavad aktiveeritud teed OD-mudelis joonisel 1-36 on samuti värviga esile toodud.

**Tabel 1-4** Testide genereerimine OD-mudelil joonisel 1-30 esitatud automaadile

time	1	2	3	4	5	6
rst	1	0	0	0	0	0
enable	0	1	1	1	0	0
rb0	x	x	1	0	0	0
state	1	1	2	2	2	1
outreg	0	0	0	0	1	0
fin	0	0	0	1	1	0
reg_cp	0	1	1	0	0	0
reg	1	1	0	0	0	1

### 1.2.6. Otsustusdiagrammid digitaalsüsteemidele registersiirete tasandil

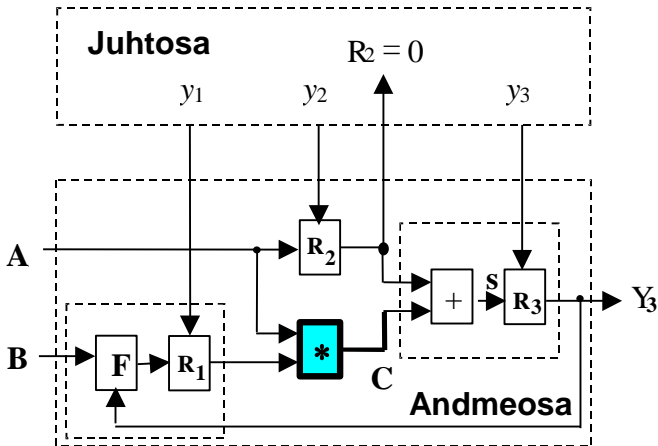
Digitaalsüsteemide kirjeldamiseks OD mudeli abil *registersiirete tasandil* tuleb kõigepealt esitada süsteem sobiva komponentide või alamsüsteemide võrguna ja seejärel kirjeldada alamsüsteemide funktsioone otsustusdiagrammidena. Alamsüsteemiks on otstarbekas valida register koos oma sisendloogikaga, niiviisi, et alamsüsteemi sisendmuutujateks oleksid kas süsteemi primaarsed sisendid või registrid. Niisugune mudel võimaldab efektiivselt läbi viia nn. *tsükli põhise simuleerimist*, kus iga süsteemi takti (tsükli) jaoks arvutatakse uus süsteemi olek registermuutujate uute väärtuste näol.

Üldjuhtumil võib registersiirete tasandil esitatud süsteemi käsitleda kui kompositsiooni juht- ja operatsioonautomaadist. Juhtautomaadi oleku- ja väljundmuutujaid võib seejuures interpreteerida vastavalt kui *mikrokäskude*

adresse ja juhtõnu (või juhtvälju) ja operatsioonautomaadi muutujaid kui andmesõnu.

Näide 1-18.

Vaatleme juhtautomaadist ja operatsioonautomaadist koosnevat digitaalsüsteemi joonisel 1-37.



*Joonis 1-37. Digitaalsüsteem*

Operatsioonautomaat koosneb kolmest registrist  $R_1$ ,  $R_2$  ja  $R_3$ , kolmest funktsionaalsest ploki - korrutajast, summaatorist ning spetsiaaloperatsioonelemendist  $F$ . Süsteemi andmesisendid on  $A$  ja  $B$ , ja andmeväljundiks on  $Y$ .

Juhtautomaat juhib andmeosa juhtsignaalidega  $y_1$ ,  $y_2$  ja  $y_3$ , ning juhtautomaadi sisendiks on operatsioonautomaadis genereeritav loogikatingimus  $R_2 = 0$ . Operatsioonautomaat on dekomponeeritud neljaks alamsüsteemiks väljundmuutujatega  $R_1$ ,  $R_2$ ,  $R_3$  ja  $C$ . Alamsüsteemide funktsioonid on esitatud Tabelis 1-5.

Ehkki tsükli põhise modelleerimise idee kohaselt, kus alamsüsteeme moodustavad registrid koos oma sisendloogikatega, peaks korrutaja kuuluma registriga  $R_3$  määratud alamsüsteemi, on siiski otstarbekam eraldada korrutaja ja summaator iseseisvate OD-mudeliga esindatud sõlmedeks. See võimaldab OD

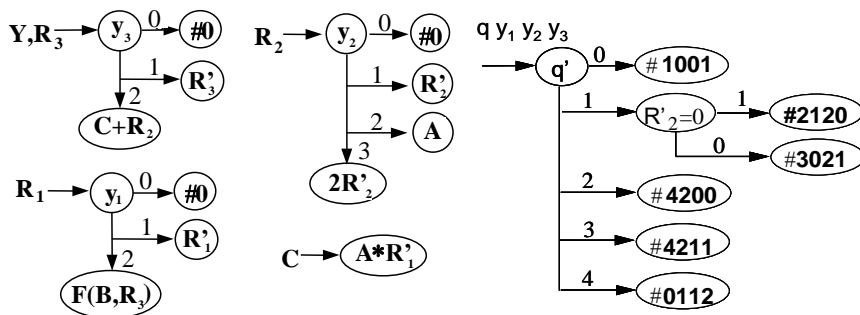


terminaltippudega siduda iseseisvaid standardoperatsioone nagu  $R_i * R_j$  ja  $R_i + R_j$  ning vältida keerulisi ebastandardseid liitfunktsioone, näiteks  $R_i * R_j + R_h$ .

**Tabel 1-5.** Digitaalsüsteemi alamsüsteemide funktsioonid

Block	Control	RTL operation	Function
$R_1$	$y_1 = 0$	$R_1 = 0$	Reset
	$y_1 = 1$	$R_1 = R'_1$	Hold
	$y_1 = 2$	$R_1 = F(B, R'_1)$	Special
$R_2$	$y_2 = 0$	$R_2 = 0$	Reset
	$y_2 = 1$	$R_2 = R'_2$	Hold
	$y_2 = 2$	$R_2 = A$	Load
	$y_2 = 3$	$R_2 = 2 * R'_2$	Shift
$R_3$	$y_3 = 0$	$R_3 = 0$	Reset
	$y_3 = 1$	$R_3 = R'_3$	Hold
	$y_3 = 2$	$R_3 = C + R'_2$	Add
C	None	$C = A * R'_1$	Multiply

Joonisel 1-38 on esitatud OD-mudel digitaalsüsteemile joonisel 1-36. Mudel koosneb viiest otsustusdiagrammist  $G_{q,y_1,y_2,y_3,y_4}$  juhtautomaadile ja graafid  $G_C$ ,  $G_{R,1}$ ,  $G_{R,2}$ , ja  $G_{Y,R3}$  operatsioonautomaadi neljale alamsüsteemile.

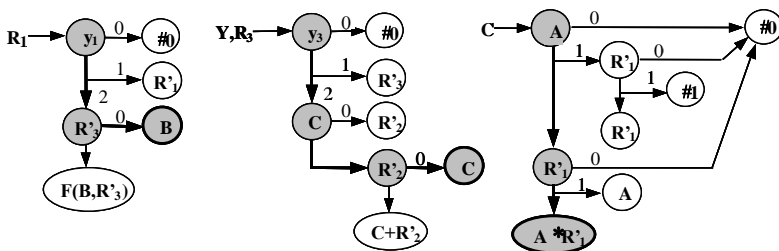


**Joonis 1-38.** Otsustusdiagrammide mudel joonisel 1-32 esitatud süsteemile

**Tabel 1-6.** Juhtautomaadi üleminekute ja väljundite tabel

State	Condition	Nstate	Control signals		
$q'$		$q$	$y_1$	$y_2$	$y_3$
0		1	0	0	1
1	$R_2 = 0$	2	1	2	0
1	$R_2 \neq 0$	3	0	2	1
2		4	2	0	0
3		4	2	1	1
4		0	1	1	2

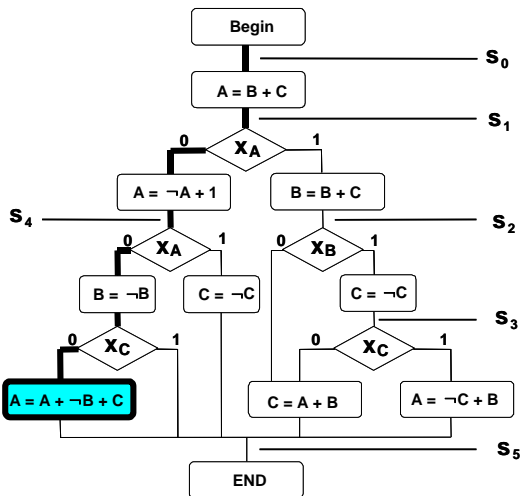
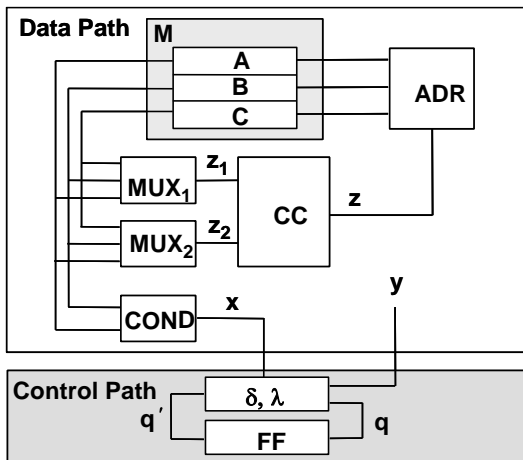
Juhtautomaadi üleminekute ja väljundite funktsioonid on esitatud Tabelis 1-6 ning otsustusdiagrammina  $G_{q,y_1,y_2,y_3,y_4}$  joonisel 1-38. Mitteterminaalsed tipud on märgendatud eelmise oleku muutujaga  $q'$  ja automaadi sisendmuutujatega  $x_1$  ning  $x_2$ , terminaltipud aga – konstantidega, mis omistatakse graafi vektormuutujale  $q,y_1,y_2,y_3,y_4$ .



**Joonis 1-39.** Transparentsusfunktsioonid otsustusdiagrammidel

Joonisel 1-39 on demonstreeritud meetodit, kuidas saab kujutada OD-mudelil mitte üksnes alamskeemide funktsioone, vaid ka *transparentse* (“läbipaistvuse”) tingimusi, mis lubaksid läbi alamskeemide transportida stiimuleid ja veasignaale.

Näiteks, graafi  $G_{R_1}$  on viidud lisaks 2 tippu  $R'_3$  ja  $B$ , selleks et ilmutatult näidata, kuidas oleks võimalik juhtida vastavat alamskeemi, nii et see muutuks transparentseks signaalide saatmisel sisendist  $B$  registrisse  $R_1$ . Graafist on näha, et nimetatud töörezhiimi aktiveerimiseks tuleks tingimuste  $y_1 = 2$  ja  $R'_3 = 0$  abil aktiveerida tee algtpust  $y_1$  terminaaltpipp  $B$ .



Joonis 1-40. Digitaalsüsteem ja tema mikroprogramm

Graafis  $G_{Y,R3}$ , on esitatud töörezhiimid, mis võimaldavad aktiveerida transpaarsed signaaliteed registrist  $R'_2$  väljundisse  $Y$  (kui  $C = 0$ ) registri  $R'_2$  käitumise jälgimiseks ja korrutajast  $C$  väljundisse  $Y$  (kui  $R'_2 = 0$ ) korrutaja käitumise jälgimiseks. Graafis  $G_{Y,R3}$  on värvitult illustreeritud tee, mida tuleks aktiveerida, et väljundis  $Y$  saaks jälgida korrutaja väljundsignaale. Tee aktiveerimise tingimusteks on:  $y_3 = 2$ ,  $R'_2 = 0$ . Summaator muutub nendel tingimustel transpaarseks: 0 juurde liitmine korrutise tulemusele ei muuda selle väärtust.

Graafis  $G_C$  on lisatud neli täiendavat terminaaltippu, mis on tähistatud muutujatega  $R'_1$  ja  $A$  ning konstantidega 0 ja 1. Uues graafis on esitatud korrutamisseadme töörezhiimid, mis võimaldavad aktiveerida transpaarsed signaaliteed registrist  $R'_1$  väljundisse  $C$  (kui  $A = 1$ ) registri  $R'_1$  käitumise jälgimiseks ja sisendist  $A$  väljundisse  $C$  (kui  $R'_1 = 0$ ) sisendi  $A$  jälgimiseks. Lisaks on sisseviidud võimalus asetada muutuja olekutesse 0 või 1, aktiveerides tee terminaaltippu vastavalt valitud konstandiga. Värvitult on graafis  $G_{Y,R3}$  illustreeritud tee, mida tuleks aktiveerida, et väljundis  $C$  saaks jälgida seadme põhifunktsiooni – korrutamist.

Kõigi nimetatud töörezhiimide (skeemi transpaarseks tegemine, asetamine olekutesse 0 või 1) aktiveerimine on tüüpülesanded testide genereerimisel, mistõttu vajalike lahendite kiire leidmine mudelist on väga oluline.

### Näide 1-19.

Joonisel 1-40 on esitatud digitaalsüsteem koos selle käitumist kirjeldava *mikroprogrammiga*. Süsteem koosneb nii juht- kui andmeosast.

Juhtosa on esitatud väljundfunktsiooniga  $y = \lambda(q', x)$  ja siirdefunktsiooniga  $q = \delta(q', x)$ . Täisarvuline väljundmuutuja  $y$  esitab mikrokäsku - vektorit, mille komponentideks on mikrokäsuväljad  $y = (y_M, y_z, y_{z,1}, y_{z,2})$ , vastavalt mäluregistri valikuks *mikrooperatsiooni* (*mikrotehte*) tulemuse salvestamiseks ( $y_M$ ), mikrooperatsiooni valikuks ( $y_z$ ) ning mäluregistrite adresseerimiseks operandide valikul ( $y_{z,1}, y_{z,2}$ ). Väljundfunktsiooni argumentideks on Boole'i sisendmuutujad  $X = (x_A, x_C)$ , mis esitavad andmeosa poolt genereeritavaid loogikatingimusi, ning täisarvuline olekumuutuja  $q'$ , kus apostroof viitab olekule eelmisest taktist. Juhtautomaat on esitatav kahe otsustusdiagrammiga  $q = G_q(q', x)$ ,  $y = G_y(q', x)$ ,

Andmeosa koosseisu kuuluvad mäluplukk  $M$ , mis koosneb kolmest registrist  $A, B, C$  koos adresseerimisskeemiga  $ADR$ , mis on esitatavad kolme otsustusdiagrammiga  $A = G_A(y_M, z)$ ,  $B = G_B(y_M, z)$ ,  $C = G_C(y_M, z)$ ,

andmetöötlusplokk  $CC$ , mida esitab graaf  $z = G_z(y_z, z_1, z_2)$ ; ja kaks multiplekserit  $z_1 = G_{z,1}(y_{z,1}, M)$  ning  $z_2 = G_{z,2}(y_{z,2}, M)$ . Loogikatingimuste arvutamiseks on plokk COND funktsiooniga  $x = G_x(A, C)$ .

Süsteemi kõrgtaseme struktuurne mudel on niisiis esitatav 9 otsustusdiagrammist koosneva süsteemina:

$$N_1 = \{G_q, G_y, G_A, G_B, G_C, G_z, G_{z,1}, G_{z,2}, G_x\}.$$

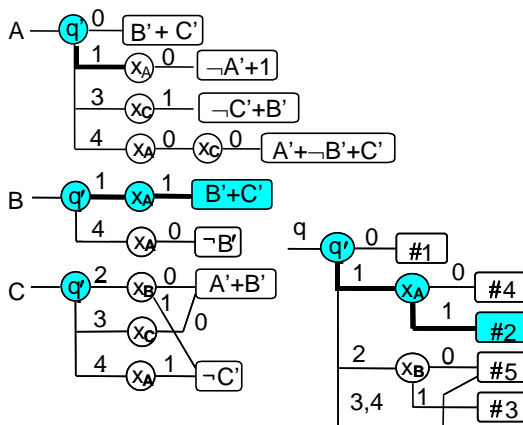
Superponeerides graafi  $A = G_A(y_M, z)$  genereerime nüüd registri  $A$  modelleerimiseks uue kompaktsama mudeli:

$$\begin{aligned} A &= G_A(y_M, z) = G_A(y_M, G_z(y_z, z_1, z_2)) = \\ &= G_A(y_M, G_z(y_z, G_{z,1}(y_{z,1}, M), f_4(y_{z,2}, M))) = \\ &= G_A(y_M, y_z, y_{z,1}, y_{z,2}, M) = G_A(y, M) = \\ &= G_A(G_y(q', x), M) = G^*_A(q', A, B, C) \end{aligned}$$

Korrates samasugust graafide superponeerimise võtet ka otsustusdiagrammidele  $G_q, G_B, G_C$  same kogu süsteemi esitamiseks uue kompaktsama mudeli:

$$N_2 = \{G_q, G^*_A, G^*_B, G^*_C\},$$

kus  $G_q$  esitab juhtautomaati ning graafid  $G^*_A, G^*_B$ , ja  $G^*_C$ , esitavad registreid  $A, B$  ja  $C$  koos sisendloogikaga. Süsteemi uus otsustusdiagrammide kompaktnen mudel on esitatud joonisel 1-41.



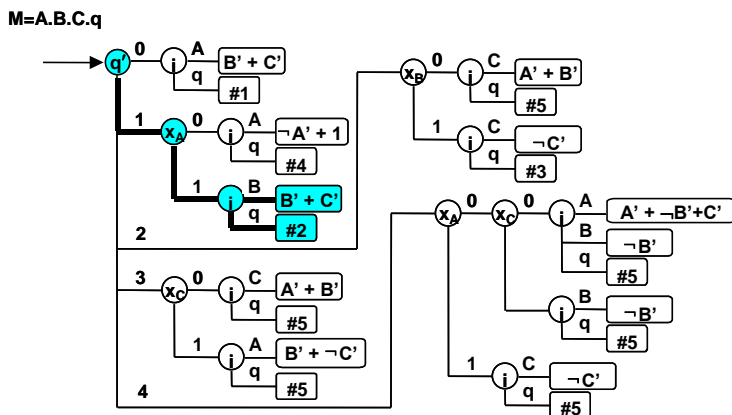
**Joonis 1-41.** Joonisel 1-40 esitatud süsteemi otsustusdiagrammid

Joonisel 1-42 on konstrueeritud sama digitaalsüsteemi esitav vektorotsustusdiagramm  $G_{q,A,B,C}$ , kus kõik süsteemi esialgse mudeli graafid  $G_q$ ,  $G_A$ ,  $G_B$ , ning  $G_C$  on ühitatud ühte vektorgraafi. Graaf esitab vektorfunktsiooni  $M = A.B.C.q$  ja võimaldab arvutada üheainsa sisenemisega graafi kogu süsteemi olekut ehk registreite  $A,B,C$  ja juhtautomaadi oleku  $q$  uusi väärtusi.

Vektorgraafide puhul on võimalik terminaaltippe esitada kahel viisil: kas esitada igale vektorikomponendile vastava avaldise eri tipuna nii nagu käesoleval juhul joonisel 1-42 või koondada vektoravaldised ühteainsasse tippu, nii nagu juhtautomaatide otsustusdiagrammides joonistel 1-29, 1-36, 1-38.

Esimesel juhul tuleb mudelisse viia uut tüüpi tipumuutuja – nn. aadressimuutuja  $i$ , mille ülesandeks on valida graafis haru vastavalt simuleeritavale vektori komponendile. Aadressitipust, mis on märgendatud aadressimuutujaga, väljub üldjuhul maksimaalselt  $n$  haru, kus  $n$  – on modelleeritava vektori komponentide arv. Juhul, kui mingi komponendi väärtus ei muutu simuleeritaval vektoril, siis vastav väljundharu aadressitipul puudub.

Nii näiteks, liikudes joonisel 1-42 piki märgistatud teed, sattume aadressitippu  $i$ , mis suunab meid arvutama vektori komponente  $A$  ja  $q$ . Nagu graafist näha, siirdudes olekust 0 olekusse 1, muutuja  $M$  komponendid  $B$  ja  $C$  säilitavad oma väärtusi, seega neid ei ole vaja adresseerida ega arvutada.



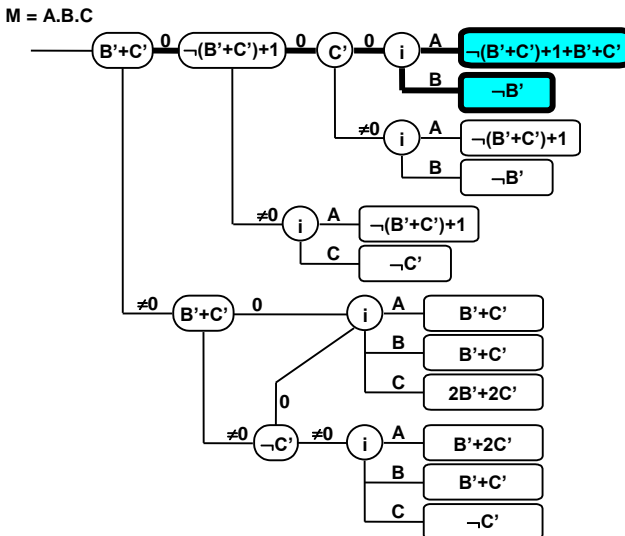
Joonis 1-42. Joonisel 1-40 esitatud süsteemi vektorotsustusdiagramm

Vektorotsustusdiagrammide kasutamise abil on veelgi võimalik tõsta süsteemi simuleerimise efektiivsust võrreldes komponentide võrgu simuleerimisega. Kui komponentide eraldi simuleerimisel eraldi graafe kasutades komponentmuutujate väärtuste arvutamine toimuks eraldi eri sammudena, siis vektorgraafis  $G_{q^A, B, C}$  toimub süsteemi uue oleku arvutamine ühiselt kõigi funktsioonimuutujate  $q, A, B$  ja  $C$  jaoks korraga.

Joonisel 1-42 on halli värviga ja jämedate joontega illustreeritud võrreldav töömaht testvektori  $q^A=1, x_A=1$  simuleerimisel. Vektorgraafil käiakse selle vektori simuleerimisel läbi 3 graafi sisetippu:  $q^A, x_A$ , ja  $i$ . Aadresstipul  $i$  on vaid kaks kaart, kuna muutujate  $A$  ja  $C$  väärtused antud testvektori korral ei muutu ja neid pole vaja arvutada. Sama testvektori simuleerimisel eraldi muutujate graafides (joonis 1-41) tuleks läbi käia 7 sisetippu 4-s graafis (4 korda  $q^A$  ja 3 korda  $x_A$ ), seega üle 2 korra rohkem.

### Vektorotsustusdiagrammide komprimeerimine ajas

Digitaalsüsteemide simuleerimise kiiruse edasiseks tõstmiseks on võimalik teostada otsustusdiagrammides esitatud funktsioonide superponeerimist ka ajas.



Joonis 1-43. Ajas superponeeritud vektorotsustusdiagramm

Joonisel 1-43 on toodud digitaalsüsteemi esitus vektorotsustusdiagrammina  $G_{A,B,C}$ , kus olekumuutujad ja ka olekugraaf  $G_q$  on elimineeritud ning kogu arvutusprotsess on taandatud ühele ainsale ajamomendile, millele vastab lõpphetk, kui mikroprogramm saab täidetud. Niisuguse vektorgraafi  $G_{A,B,C}$  saamiseks, tuleks simuleerida takthaaval graafi  $G_{q,A,B,C}$  üle kõigi olekumuutuja väärtuste  $q' = 0,1,2,3,4$ , ning fikseerida igal hetkel (vastava  $q'$  väärtuse juures) registermuutujate  $A, B$  ja  $C$  sümbolväärtused (avaldised nende muutujate arvutamiseks). Loogikatingimuste  $x_A$  ja  $x_C$  asemele graafi sisetippudes tuleb asetada nende muutujate arvutamiseks antud hetkel (antud  $q'$  väärtusel) kehtivad avaldised. Niisugust graafi manipuleerimist, mille tulemusena tekib uus graaf, nimetatakse *sümbolsimuleerimiseks*.

Sümbolsimuleerimise puhul ei asendata muutujaid nende konkreetsete väärtustega antud ajahetkel, vaid avaldistega, mille järgi neid tuleks hetkel arvutada. Seega otsustusdiagrammi sümbolsimuleerimise tulemusena ei teisendu esialgne graaf väärtuseks vaid uuesti graafiks (puuks).

Nii näiteks pärast vektormuutuja  $M = A.B.C.q$  simuleerimist graafis  $G_{q,A,B,C}$  (joonis 1-42) tingimusel  $q' = 0$ , saame tulemuseks  $A = B' + C'$  ja  $q = 1$ . Vastav *harugraaf* alates kaarest  $q' = 0$  joonisel 1-42 elimineeritakse. Edasi jätkatakse graafi simuleerimist väärtusel  $q' = 1$ . Loogikatingimus  $x_A$  (antud simuleerimise hetkel  $x_A$  on samane tingimusega  $A = B' + C' \neq 0$  ja  $x_A = 0$  on samane tingimusega  $A = B' + C' = 0$ ) asendatakse graafis loogikatingimusega  $B' + C' \neq 0$  ning jätkatakse graafi simuleerimist mõlema juhu jaoks:  $B' + C' = 0$  ja  $B' + C' \neq 0$ .

Jätkates nüüd sümbolsimuleerimist graafis  $G_{q,A,B,C}$  mööda teed  $q' = 1$ ,  $x_A = 0$  (ehk  $B' + C' = 0$ ), arvutame:  $A = \neg A' + 1 = \neg(B' + C') + 1$  ja  $q' = 4$ . Vastav harugraaf graafis  $G_{q,A,B,C}$  alates kaarest  $x_A = 0$  elimineeritakse. Seejärel valime samas graafis uue haru  $q' = 4$  ning siirdume tippu  $x_A$ . Loogikatingimus  $x_A$  (antud juhul  $x_A$  on samane tingimusega  $A = \neg(B' + C') + 1 \neq 0$ ) asendatakse tingimusega  $\neg(B' + C') + 1 \neq 0$  ning jätkatakse graafi simuleerimist mõlema juhu jaoks  $\neg(B' + C') + 1 = 0$  ja  $\neg(B' + C') + 1 \neq 0$ .

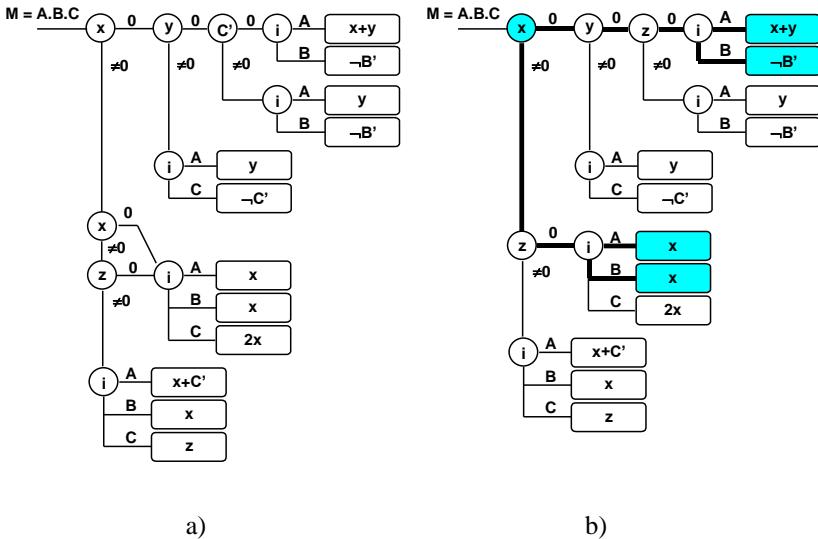
Graafi  $G_{q,A,B,C}$  (joonis 1-42) sümbolsimuleerimise tulemuseks on graaf  $G_{A,B,C}$  (joonis 1-43), kus olekutipp  $q'$  on elimineeritud ja sisetippudes on Boole'i muutujad asendatud nende väärtuste arvutamiseks vajalike funktsionaalsete avaldistega.

Joonisel 1-44a on esitatud sama graaf, kus on kasutusele võetud abimuutujad vahepealsete tulemuste salvestamiseks:



$$\begin{aligned}
 x &= B' + C', \\
 y &= \neg(B' + C') + 1 \\
 z &= \neg C'.
 \end{aligned}
 \tag{1-35}$$

Abimuutujate kasutamine võimaldab vältida korduvaid arvutusi. Joonisel 1-44b on veelkord esitatud sama otsustusdiagramm optimeeritud kujul, kus on elimineeritud muutuja  $x$ . Kerge veenduda, et mõlemad vektordiagrammid joonisel 1-44 on funktsionaalselt ekvivalentsed.



**Joonis 1-44.** Ajas superponeeritud abimuutujatega vektorotsustusdiagramm

Võrreldes joonistel 1-43 ja 1-44a esitatud kompaktsed vektorotsustusdiagramme mikroprogrammiga joonisel 1-40, võiks esimesel pilgul öelda, et erinevus peaaegu puudub. Nii on see tõepoolest traditsioonilist simuleerimist silmas pidades. Iga tee otsustusdiagrammides joonistel 1-43 ja 1-44 kujutab tegelikult ka mingit ühte teed läbi mikroprogrammi joonisel 1-40. Näiteks rasvaselt eristatud teele mikroprogrammis joonisel 1-40, mille tulemusena arvutatakse uued väärtused registrites  $A$  ja  $B$ , vastab joonisel 1-43 rasvaselt ära märgistatud harugraaf (ning, vastavalt, joonisel 1-44b rasvaselt märgistatud teed läbi sisetippude  $x$ ,  $y$ ,  $z$ ,  $i$  terminaaltippudesse  $x + y$  ja  $\neg B'$ ).

Testide genereerimise aspekti silmas pidades on erinevus mikroprogrammi (joonis 1-40) ja otsustusdiagrammide vahel aga suur. Kui mikroprogramm modelleerib üksnes järjestikulist andmete arvutamise protsessi, siis otsustusdiagrammid esitavad selle kõrval veel ilmutatud kujul tulemus-põhjus vahekordi, mis võimaldab kergesti läbi viia diagnostilist analüüsi. Näiteks, avastades vigase tulemuse  $A^*$  registris  $A$  pärast mikroprogrammi läbimist jämedalt märgistatud teed mööda joonisel 1-40, oleks mikroprogrammi abil suhteliselt tülikas kindlaks teha võimalikku rikke mõjumispunkti (asukohta).

Joonisel 1-44b esitatud otsustusdiagrammis aga saaksime diagnostilist analüüsi suhteliselt lihtsalt korraldada ning vea asukoha lokaliseerida järgmisel viisil.

Vaadeldud operatsioonile (rasvaselt eristatud tee joonisel 1-40), mille tulemusena avastati viga  $A^*$ , vastab joonisel 1-44b aktiveeritud tee läbi tippude  $x, y, z, i$  ja  $x + y$ , kus muutujate  $x, y, z$  väärtused on arvatud valemite (1-35) abil. Olgu operatsiooni tulemuseks saadud väärtus  $A = A^* \neq x + y$ . Läbitud tipud  $x, y, z, x + y$  viitavad võimalikele vea põhjustele, millised tuleks üksteise järel läbi analüüsida.

Kui vea põhjuseks oleks sisetipp  $x$ , oleks graafis aktiveeritud tee sellest tipust alla ( $x \neq 0$ ) läbi tippude  $z$  ( $z = 0$ ),  $i$  ( $i = A$ ), terminaaltippu  $x$ . Kui viga tõesti oleks sisetipus  $x$ , siis peaks operatsiooni tulemusena saadud vigase väärtuse jaoks kehtima ka tingimus  $A^* = x$ , kuna vea tõttu jõuti ju terminaaltipu  $x + y$  asemel terminaaltippu  $x$ . Kui  $A^* \neq x$ , siis viga ei saa olla graafi sisetipus  $x$  ning tuleks analüüsida teisi läbitud tippe. Analoogiliselt eelnevale arutlusele leiame, et vea põhjuseks võiksid olla graafis läbitud sisetipud  $y$  või  $z$ , juhul, kui kehtiks  $A^* = y$ . Eristada neid veapõhjusi saaksime, kui analüüsiksime täiendavalt registri sisu  $C$ . Kui selle sisu oleks invertteeritud  $C^* = \neg C'$ , siis oleks vea põhjuseks tipp  $y$ , sest siis aktiveeruks graafis tee tipust  $y$  alla ( $y \neq 0$ ) läbi tipu  $i$  ( $i = C$ ), terminaaltippu  $\neg C$ . Vastasel juhul, kui registri  $C$  väärtus on jäänud muutumata  $C^* = C'$ , peab viga olema tipus  $z$ . Juhul kui  $A^* \neq y$ , võiks vea põhjuseks olla adresseerimistipp  $i$ , seda aga ainult juhul kui  $A^* = \neg B'$ . Kui ka see tingimus pole täidetud,  $A^* \neq \neg B'$ , siis saab vea põhjuseks olla vaid terminaaltipp  $x + y$  ise.

Viimasel juhul on viga süsteemi operatsioonautomaadis (andmeosas), eelpoolsetel juhtudel oleks viga aga juhtautomaadis.

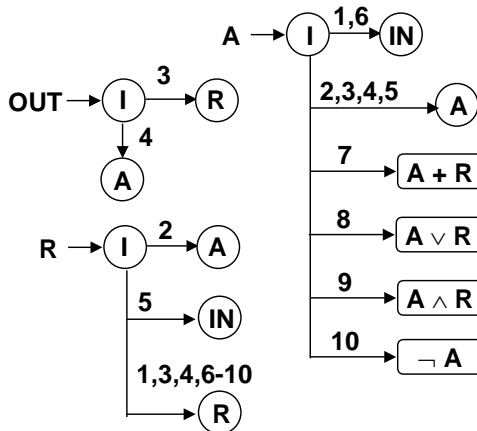
## 1.2.7. Otsustusdiagrammid mikroprotsessorite diagnostiliseks modelleerimiseks

Analoogiliselt registersiirete tasandil esitatud digitaalsüsteemidele on ka käsusüsteemidega kirjeldatud mikroprotsessorite diagnostiliseks modelleerimiseks võimalik kasutada otsustusdiagramme.

I <sub>1</sub> : MVI A,D	A = IN	I <sub>6</sub> : MOV A,M	A = IN
I <sub>2</sub> : MOV R,A	R = A	I <sub>7</sub> : ADD R	A = A + R
I <sub>3</sub> : MOV M,R	OUT = R	I <sub>8</sub> : ORA R	A = A ∨ R
I <sub>4</sub> : MOV M,A	OUT = A	I <sub>9</sub> : ANA R	A = A ∧ R
I <sub>5</sub> : MOV R,M	R = IN	I <sub>10</sub> : CMA A,D	A = ¬ A

Joonis 1-45. Hüpooteetilise mikroprotsessori käsusüsteem

Otsustusdiagrammide sünteesi aluseks tuleks sel juhul võtta mikroprotsessorite käskude kirjeldused registersiirete tasandil. Käskude eristamiseks tuleks sisse viia uus registertaseme *käsumuutuja*, mille väärtusteks oleksid mikroprotsessori käsu numbrid või koodid.



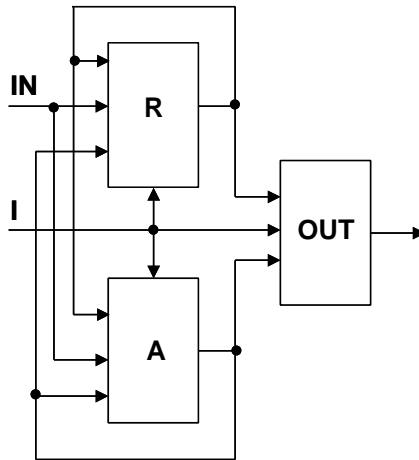
Joonis 1-46. Mikroprotsessori käsusüsteemi otsustusdiagrammid

Näide 1-20.

Joonisel 1-45 on toodud hüpoteetilise mikroprotsessori käsusüsteem ja sellele vastav otsustusdiagrammide võrk joonisel 1-46. Käsusüsteem sarnaneb tabelites 1-2 või 1-3 toodud töörezhiimide nimistuga ja otsustusdiagrammide süntees toimub analoogiliselt graafi  $G_{AC}$  sünteesile joonisel 1-24.

Joonisel 1-46 toodud graaf  $G_{OUT}$  vastab mikroprotsessori väljundkäitumisele ja graafid  $G_A$  ning  $G_R$  kirjeldavad vastavalt registre  $A$  ja  $R$  sisendloogika funktsioone. Mudeli andmemuutujad on vektoriaalsed: sisendmuutuja  $IN$ , väljundmuutuja  $OUT$  ja registermuutuja  $R$ . Juhtmuutuja (käsumuutuja)  $I$ , mille väärtustele vastavad käsukoodid  $I_k$ ,  $k = 1, 2, \dots, 10$ , on täisarvuline.

Otsustusdiagrammide mudeli erinevuseks võrreldes käsusüsteemiga on see, et põhitähelepanu on pööratud mitte sellele, mis toimub ühe või teise konkreetse käsu ajal, vaid sellele, kuidas käituvad eri käskude puhul mikroprotsessori käsusüsteemi sise- ja väljundmuutujad.



**Joonis 1-47.** Mikroprotsessori struktuurskeem

On lihtne märgata, et graafid OD-mudelis on muutujate kaudu omavahel seotud. Näiteks graafimuutujad  $R$  ja  $A$  on argumentideks ehk muutujateks väljundgraafis  $G_{OUT}$ . Seega sisuliselt kujutab graafide süsteem

joonisel 1-46 endast võrku, mis on esitatav mikroprotsessori käitumist kujutava struktuurskeemina joonisel 1-47.

Teiste sõnadega, minnes traditsiooniliselt mikroprotsessori *protseduurselt mudelilt* üle otsustusdiagrammide mudelile saame uue struktuurse esituse, mis võimaldab vahetumalt formuleerida testide sünteesi ja analüüsi ülesandeid, kasutades traditsioonilisi struktuurseid testide sünteesi ja analüüsi meetodeid. Digitaalsüsteemide diagnostika otsesteks objektideks on rikked, aga rikkeid saab vahetumalt modelleerida *struktuursetel* mudelitel võrreldes protseduursete või *funktsionaalsete* (musta kasti tüüpi) esitustega.

Detailsemaks mikroprotsessori kirjeldamiseks *käsusüsteemi tasandil* oleksid järgmised võimalused:

1) Mikroprotsessori *käsuformaadi* võib dekomponeerida väljadeks, kus igaal väljal on oma spetsiifiline funktsioon: *operatsioonikood*, esimese registri aadress, teise registri aadress jne. Iga väljale võib vastavusse seada eri muutuja, mida võib vaadelda käsumuutuja kui vektormuutuja ühe komponendina.

2) Käsitäitmise protsessi võib vaadelda *käsuksükli*tena ja niisuguste tsükli esitamiseks võib kasutusele võtta analoogiliselt automaatide olekumuutujale *tsüklimuutuja*. Tsüklimuutuja väärtustele vastaksid käsu täitmise erinevad tsükliid: käsu väljalugemine, esimese operandi lugemine, teise operandi lugemine, tulemuse kirjutamine mälli jne. Juhul, kui tsükli arv on konstantne iga konkreetse käsu jaoks ja üleminek olekust olekusse ei sõltu andmetest, võib olekumuutuja graafist loobuda ning käsitleda olekumuutujat analoogiliselt aadressmuutujale vektorgraafides, viies aadressdimensiooni kõrval mudelisse sisse ka aja dimensiooni.

### 1.3. Kokkuvõtteks

Käesolevas peatükis vaadeldi kahte digitaalsüsteemide diagnostilise modelleerimise matemaatilist aparati: Boole differentsiaalalgebrat ja graafiteooriat ehk otsustusdiagramme.

Boole differentsiaalaparadi tähendus praktiliste diagnostikaülesannete keerukust silmas pidades on rohkem tunnetuslik. Konkreetselt lahendada saab selle aparadi abil vaid lihtsaid testide genereerimise, rikete simuleerimise ja diagnostika ülesandeid mittekeerukate loogikaskeemide jaoks. Mikroprotsessori puhul pole selle aparadiga kahjuks midagi teha.

Küll on aga Boole'i differentsiaalaparaat oma kompaktsuse ja korrektsuse poolest sobiv testide sünteesi ja analüüsi matemaatilise probleemi formuleerimiseks ning probleemide vaheliste seoste lihtsaks kirjeldamiseks.

Suurepäraseks näiteks oleks siin testide genereerimise ja rikete diagnostika probleemide ühtne formuleerimine diagnostika üldvõrrandi abil (alapunktis 1.1.8), mis võimaldab mõlemat probleemi vaadelda teineteise pöördprobleemina.

Teiseks iseloomulikuks näiteks on olemusliku selgituse andmine traditsioonilisele insenerlikule lihtsustusele, kus piisavaks loetakse testide genereerimist üksikutele riketele, ignoreerides nende kordse esinemise võimalust. Selgituse sellele probleemile saame alapunktis 1.1.7, kus näeme, kuidas Boole'i osatuletis, mille abil formuleeritakse testide genereerimise ülesannet, tuleneb erijuhuna Boole'i täisdifferentsiaalset, mis modelleerib skeemi kõikide võimalike rikete ja nende kombinatsioonide korral.

Samas omab Boole'i differentsiaalaparaat ka praktilist tähendust füüsikaliste defektide loogilisel modelleerimisel, mida käsitletakse järgmises peatükis.

Niisiis, Boole'i differentsiaalaparaat võimaldab korrektselt formuleerida probleemi. Kui probleem on formuleeritud, saab lahendamiseks otsida juba sobivamaid meetodeid ja mudeleid. Ühe niisuguse mudelina sai käesolevas raamatus valitud otsustusdiagrammide mudel.

Kui enamus digitaalsüsteemide diagnostika probleeme loogikaskeemide tasandil on peaaegu täiuslikult lahendatud Boole'i algebrat ja Boole'i differentsiaalalgebrat kasutades, siis kõrgemate tasandite jaoks vastav matemaatiline aparatuur on kaua puudunud. Samas on keerukate miljonitest loogikaelementidest koosnevate süsteemide diagnostikaprobleemide lahendamine ainuvõimalik kõrgematel tasanditel "töötavate" meetodite kaasamisega. Niisugusteks tasanditeks oleksid protseduurse register-taseme kirjeldused (näiteks VHDL keeles), protsessorite käsusüsteemid jne.

Kui Boole'i algebral põhinevaid diagnostikameetodeid ei ole võimalik otseselt üldistada kõrgematele tasanditele, siis graafiteoorial põhinevat topoloogilist käsitlust kasutades osutub üldistamine võimalikuks.

Üldjoontes seisneb niisuguse üldistamise võimalus järgnevas. Kõigepealt "tõlgime" Boole'i algebra meetodid ümber topoloogilisteks meetoditeks, kasutades Boole'i algebra ühte tööriista binaarseid otsustusdiagramme. Seejärel eemaldame otsustusdiagrammidelt binaarsuse kitsenduse ja rakendame juba olemasolevaid "ümbertõlgitud" topoloogilisi meetodeid

neid küll pisut modifitseerides juba kõrgematel tasanditel kirjeldatud süsteemide puhul.

Käesolevas peatükis vaadeldud meetodeid kasutame nüüd edaspidi konkreetsete insenerlike diagnostikaprobleemide käsitlemisel. Järgmises peatükis vaadeldakse diagnostika alusprobleemi – rikete modelleerimist. Edaspidi aga võtame käsile otsesed diagnostikaprobleemid, millisteks on: testide genereerimine, rikete simuleerimine ja rikete diagnostika.

## 2. Rikete modelleerimine digitaalsüsteemides

Füüsikaliste *defektide* põhjusi on väga palju ja võimalike defektide arv on väga suur. Pole mõeldav defektide üksikhaaval käsitlemine ei testide genereerimisel ega ka defektide diagnoosil. Samal ajal aga tuleks *testimise kvaliteeti* mõõta avastatavate defektide kattega ehk protsendiga kõigi võimalike defektide suhtes. Niisugune kvaliteedi mõõtmine on praktiliselt võimatu. Seetõttu tuleks defekte modelleerida ja testimise kvaliteeti mõõta füüsikalise tasandiga või transistorskeemidega võrreldes kõrgematel digitaalsüsteemide abstraktsetel esitustasanditel.

*Rikete modelleerimise* eesmärgiks on asendada praktiliselt lõpmatu võimalike defektide hulk, sellega samaväärse lõpliku rikete hulgaga. *Rikete mudelid* kasutatakse nii testide genereerimisel kui ka füüsikaliste defektide lokaliseerimiseks ning neid tuleks vaadelda kui silda, mis ületab lõhet füüsikalise reaalsuse ja abstraktse matemaatika vahel.

Kõige sagedamini on kasutatud ja kasutatakse *konstantse rikke mudelit*, mille järgi digitaalskeeme vaadeldakse kui ventiilide võrku ja võimalikeks riketeks on loogikakonstandid 1 või 0 ventiilide sisendites ja väljundites. Mitmete selle rikkemudeli omaduste ära kasutamine aitab vähendada otsest käsitlemist nõudvate konstantsete rikete hulka.

Samal ajal on selgeks saanud, et konstantsete loogikarikete mudel on siiski piiratud. Ühest küljest kasvab loogikataseme käsitlemist vajavate rikete hulk liiga kiiresti süsteemide keerukuse kasvades. Teiselt poolt aga ei kata see rikkemudel piisavalt adekvaatselt *transistorskeemide* reaalseid defekte. Käesoleva peatüki eesmärgiks on: uurida, kuidas saaks käsitleda rikkeid ja tagada kõrget testimise kvaliteeti üha keerukamaks muutuvates digitaalsüsteemides. Vaatleme, kuidas on võimalik kasutada Boole'i differentsiaalaparaati füüsikaliste defektide kujutamiseks loogikatasandile ja



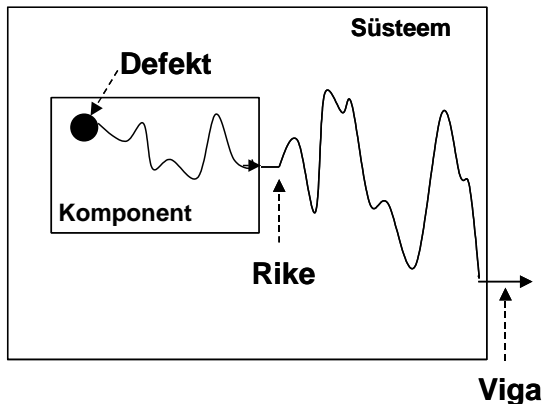
milline peaks olema rikete mudel, mis poleks väga keerukas, aga samas ometi esindaks täpsemalt reaalselt füüsilist defektide maailma.

## 2.1. Rikete klassifikatsioon

Alljärgnevas peatükis vaatleme, mille poolest erinevad üksikeist niisugused mõisted nagu defektid, rikked ja vead. Uurime põhilisi rikete tüüpe, nende mudeleid ning rikete põhiomadusi.

### 2.1.1. Defektid, rikked, vead

Terminoloogia korrastamiseks püüame kõigepealt defineerida mõningad põhimõisted. Termineid *defekt*, *rike* ja *viga* kasutatakse nii teaduslikus kirjanduses kui ka elus sageli erinevates ja kattuvates tähendustes. Aga need mõisted ei ole sünonüümid. Käesolevas õppevahendis kasutame definitsioone, mis on esitatud defektide ja nende testimisele pühendatud monograafias [Ben 98].



Joonis 2-1. Defekt, rike ja viga digitaalsüsteemis

*Defektiks* elektroonikasüsteemis nimetame mittekavandatud erinevust disaini ja selle implementatsiooni vahel riistvaras. Defekt kutsub esile

erinevuse elektroonskeemis võrreldes selle spetsifikatsiooniga. Defekt tekib kas seadme valmistamisprotsessis või tema kasutamise ajal.

*Rikkeks* nimetame defekti kujutamist abstraktsel funktsionaalsel tasandil. Rike on defekti matemaatiline mudel. Joonisel 2-1 on kujutatud defekt, rike ja viga omavahelises suhtes. Kusagil transistorskeemi tasandil tekib *füüsikaline defekt*, mis avaldub selles, et defektse komponendi väljundsignaal võtab väära püsiva väärtuse, mida võib tõlgendada loogikatasandil kui konstantset väära loogikaväärtust ehk *riket*. Seda väärtust kasutatakse skeemi loogikamudeliga manipuleerides, näiteks testi genereerides, mille ülesandeks on antud defekti avastamine ehk rikke „levitamine“ väljundisse, kus signaalid oleksid jälgitavad. Väljundisse levitatud väär signaal on tõlgentatav avastatud *veana*.

*Veaks* nimetamegi väärat väljundsignaali, mida põhjustab defektne süsteem. Vea põhjuseks on mingi defekt.

## 2.1.2. Rikete mudelite üldised omadused

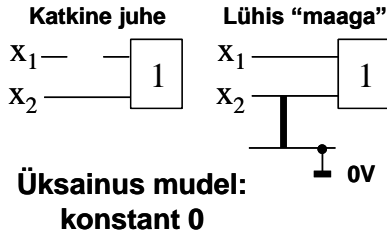
Füüsikaliste *defektide modelleerimisel* abstraktsete rikete mudelite abil on terve rida olulisi motivatsioone:

- väheneb defektide käsitlemise keerukus: mitmeid erinevaid füüsikalisi defekte esindab üksainus rikke mudel (joonis 2-2);
- ühtainust matemaatilist rikke mudelit võib kasutada erinevate tehnoloogiate puhul, kus defektide füüsikalised tähendused võivad erineda;
- rikete loogikamudeleid võib edukalt kasutada juhtumitel, kui rikete füüsikaline tähendus ja efekt pole päris selge;
- rikete mudelid annavad võimaluse töötada füüsikalisest tasandist kõrgematel abstraktsetel tasanditel.

### Näide 2.1.

Joonisel 2-2 on näidatud kaks defekti: katkine juhe ja lühis maaga. Mõlemad defektid on loogiliselt modelleeritavad ühe ja sama rikkena – konstantne 0.

### Kaks defekti:



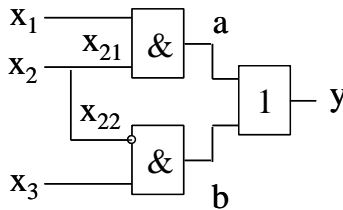
*Joonis 2-2. Kahte defekti modelleerib üksainus rike*

Rikete mudelid võivad olla *otsesed* ja *kaudsed*.

*Otsese rikkemudeli* puhul võib rikkeid loendada. Näiteks konstantne loogikarike on otsene, sest ta on loendatav. Kui skeemis on elementide vahel  $n$  ühendust ja igal ühendusel võib olla kaks riket – konstantne 0 ja konstantne 1, siis kõigi rikete arv skeemis on  $2n$ . *Kaudsed rikked* ei ole loendatavad, nad defineeritakse harilikult mingi iseloomuliku omadusena.

Rikete mudelid võivad olla *struktuursed* ja *funktsionaalsed*.

*Struktuursed rikked* on seotud konkreetse skeemi struktuuriga, nad näiteks modifitseerivad komponentide vahelisi ühendusi. *Funktsionaalsed rikked* aga on seotud komponentide funktsionaalsete mudelitega, nad näiteks modifitseerivad komponentide funktsioone.



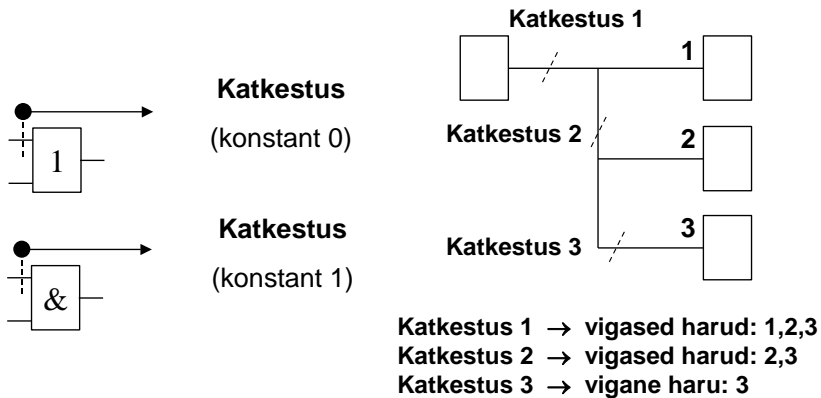
*Joonis 2-3. Kombinatsiooniskeem*

### Näide 2-2.

Vaatleme skeemi joonisel 2-3. Struktuurseteks riketeks selles skeemis võivad näiteks olla: katkine juhe  $a$ , lühis juhtmete  $x_1$  ja  $x_2$  vahel või vigane komponent. Funktsionaalse rikke näiteks on aga funktsiooni muutus: õige funktsiooni asemel realiseerub funktsioon:

$$y = x_1 x_2 \vee \overline{x_2 x_3} \Rightarrow y = \overline{x_2 x_3}.$$

Struktuursete rikete puhul eeldatakse vahel ka, et skeemi komponendid on korras ja rikked võivad olla ainult komponentide vahelistes ühendustes.



*Joonis 2-4. Mittevastavus defektide ja konstantse rikke mudeli vahel*

Mitte alati pole ventiilskeemides võimalik luua adekvaatset vahetõrke mudeli reaalsete struktuursete rikete ja konstantse rikke mudeli vahel. Näiteks katkine juhe võib tähendada erinevate loogikaelementide puhul nii konstanti 0 kui ka konstanti 1 (joonis 2-4). Kui juhe hargneb, siis olgugi, et on tegemist ühe ja sama muutujaga tuleb ometigi katkestusi erinevates kohtades modelleerida erinevalt (joonis 2-4).

### 2.1.3. Konstantsed rikked

*Konstantseid* rikkeid (*SAF mudel – stuck-at fault*) modelleeritakse fikseerides konstantse väärtuse signaalijuhtmele, millele korras skeemis vastaks Boole'i muutuja. Signaalijuhtmed on loogikaskeemides ventiilide või trigerite sisenditeks või väljunditeks. Eeldatakse, et konstantsed rikked mõjutavad vaid ventiilide vahelisi ühendusi, aga mitte ventiile endid. Iga ühendusjuhe võib omada kahte tüüpi rikkeid: *konstant 0 (stuck-at-0, SAF0)* või *konstant 1 (stuck-at-1, SAF1)*. Konstantse rikke näited on joonisel 2-4.

Üksiku konstantse rikke mudel on kõige levinenum rikke mudel digitaalskeemide ja süsteemide diagnostikas: igal ajahetkel eeldatakse vaid ühe rikke olemasolu, kusjuures see rike on püsiv (*permanentne*)<sup>3</sup>. Üksiku konstantse rikke mudelil on järgmised omadused:

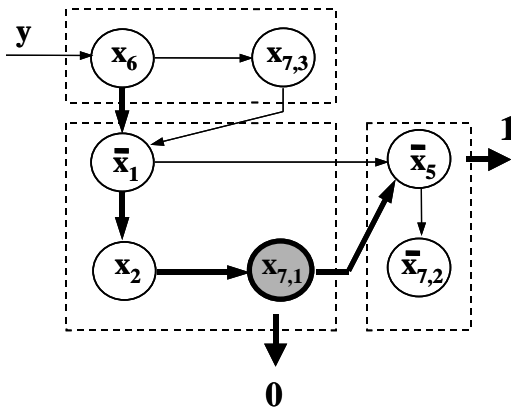
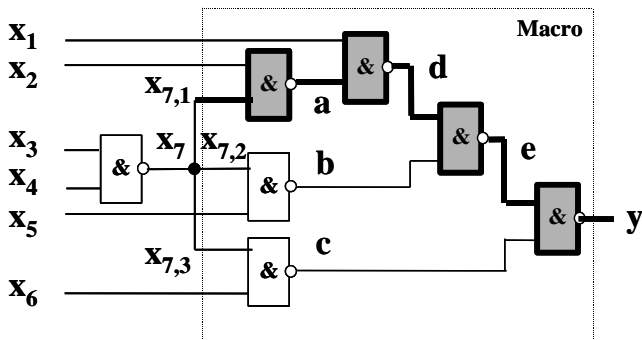
- ainult üks signaalijuhe võib olla vigane;
- signaalijuhtmel on püsivalt konstantne signaal 1 või 0;
- konstantne signaal võib olla kas ventiili sisendis või väljundis.

Konstantse rikke mudel sai tööstuslikuks standardiks 1959. aastal. On ennustatud konstantse rikke mudelist loobumist, kuid mitmetel põhjustel ja mitmete konstantse rikke omaduste tõttu on ta endiselt laialt kasutusel. Niisugusteks omadusteks on:

- mudeli lihtsus;
- selle käsitlemise hõlpsus;
- mudeli loogiline käitumine – simuleerimine on vahetu ja deterministlik;
- mõõdetavus: avastamise või mitteavastamise kindlaks tegemine on lihtne;
- kohandatavus: mudelit saab kergesti rakendada suvalistel süsteemi abstraktse esituse tasanditel: ventiilid, transistorid, süsteemid, registersiirete tasand jne.

---

<sup>3</sup> Eksisteerib ka *ajutise (transient) rikke* mudel, mida käesolevas õppevahendis ei vaadelda



*Joonis 2-5. Testi genereerimine konstantssele rikkele*

Näide 2-3.

Vaatleme testi genereerimist konstantssele rikkele  $x_{71} \equiv 0$  skeemis joonisel 2-5. Kasutades *Boole'i osatuletisi*, tuleks lahendada differentsiaalvõrrand

$$\frac{\partial y}{\partial x_{71}} = \frac{\partial (x_6 x_{73} \vee (\bar{x}_1 \vee x_2 x_{71})(\bar{x}_5 \vee \bar{x}_{72}))}{\partial x_{71}} = 1$$

lisatingimusel

$$x_7 = 1.$$

Kasutades SSBOD mudelit joonisel 2-5 tuleks

- aktiveerida tee tipuni  $x_{71}$ , omistades teel kohatud muutujatele väärtused:  $x_6 = 0$ ,  $x_1 = 1$ ,  $x_2 = 1$ ,
- fikseerida muutuja  $x_7$  väärtus  $x_7 = 1$ ,
- ning aktiveerida tipust  $x_{71}$  tee terminali 1, fikseerides  $x_5 = 0$ .

Väärtuse  $x_7 = 1$  tagamiseks sisenditel tuleks lahendada võrrand  $x_3 x_4 = 1$ .

Vaatamata konstantse rikke mudeli väga headele omadustele, ei saa nii mitmeidki reaalseid füüsikalisi defekte ometi modelleerida tema abil, põhiliselt just *CMOS tehnoloogia* puhul. See on konstantse rikke mudeli puuduseks. Mõnikord püütakse mudeli “võimsust” suurendada lubades *kordsete rikete* olemasolu. Kuid eriti see siiski ei suurenda reaalsete defektide katet, pealegi on kordse rikke mudel väga keerukas: rikete arv  $n$  signaalijuhtmega skeemis on  $3^n$ . Testide genereerimise ja rikete simuleerimise algoritmid muutuvad kordsete rikete mudeli puhul samuti väga keerukaks.

## 2.1.4. Lühised, katkestused ja viiterikked

Tulenevalt konstantse rikke puudustest on võetud kasutusele terve rida täiendavaid rikete mudeleid nagu lühised, katkestused, viiterikked jne. Teatud rikkeid tuleks modelleerida ainult transistoride tasemel. Rikete modelleerimise keerukuse vähendamiseks on püütud välja töötada ka palju kõrgtaseme rikkemudeleid.

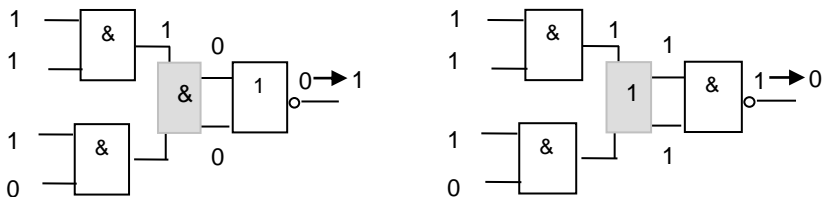
### Lühised.

*Lühised (bridges, shorts)* modelleerivad kõiki neid füüsikalisi defekte, mis põhjustavad mittekavatsetud elektrilisi kontakte kahe või rohkema signaalijuhtme vahel.

Lühiseid võib iseloomustada lineaarsete või mittelineaarsete omadustega, lühistakistuse omades väärtusi vahemikus 0 kuni 1 MΩ.

Teatud kriitilistest takistuse vahemikest väljaspool reaalne lühis võib ka mitte enam põhjustada rikke efekti.

Lühised võib jämedalt jagada kahte gruppi: *ventiilide vahelised lühised (inter-gate shorts)*, *ventiilisisesed* ehk transistoride lühised (*intra-gate shorts*).



**Joonis 2-6.** *Ventiilide vahelised kombinatoorsed lühised*

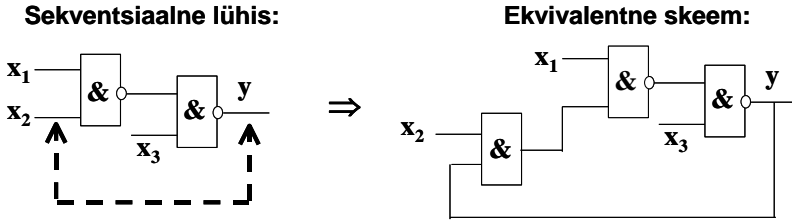
Ventiilide vahelisi lühiseid võib omakorda klassifitseerida järgnevalt:

- JA-tüüpi lühised (wired-AND short) või 0-domineerimisega lühised (vt. näidet joonisel 2-6a);
- VÕI-tüüpi lühised (wired-OR short) või 1-domineerimisega lühised (vt. näidet joonisel 2-6b);
- Mitte määratud tüüp, kus lühis sõltub tehnoloogiast, mida kasutatakse.

Lühised võivad olla *kombinatoorsed* ja *sekventsiaalsed*.

*Sekventsiaalsed lühised* põhjustavad kombinatsiooniskeemides sekventsiaalset käitumist, siis kui lühis tekitab elektrilise tagasiside (joonis 2-7).



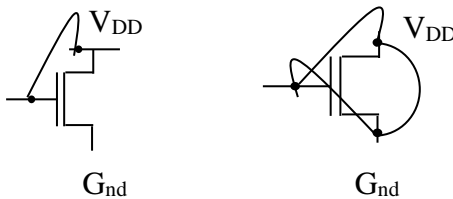


*Joonis 2-7. Ventiilide vaheline sekventsiaalne lühis*

*Kombinatoorseste lühiste* testimise protsent konstantse rikke mudelit kasutades on harilikult kõrge. Sekventsiaalsete lühiste testimine on aga väga keerukas, sest testide genereerimise meetodid üldiselt eeldavad, et olekute arv skeemis ei kasva (sekventsiaalne lühis põhjustab aga täiendava oleku tekkimise skeemis) ning et kombinatsiooniskeemid rikke puhul jäävad ikka kombinatsiooniskeemideks (sekventsiaalse rikke tõttu muutub aga kombinatsiooniskeem sekventsiaalseks ehk järjestikскеemiks).

*Lühised transistoriskeemides*

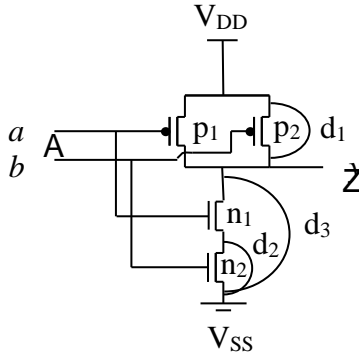
Transistoriskeemides võib põhimõtteliselt eristada 6 tüüpi lühist kõikide transistori terminalide vahel: ventiil, *neel* (*drain*), *läte* (*source*), *põhimik* (*substrate*) ja lühised  $V_{DD}$  ja  $G_{nd}$  sõlmedega (joonis 2-8). Mainitud rikete tegelik avaldumine sõltub lühistakistuse suurusest. Mõningaid ventiilisiseseid transistortaseme rikkeid võib modelleerida ka konstantse rikke mudeliga.



*Joonis 2-8. Transistori lühised*

#### Näide 2-4.

Joonisel 2-5 on illustreeritud CMOS tehnoloogias realiseeritud JA-EI ventiili transistorskeem, milles on kolm lühisriket  $d_1$ ,  $d_2$ ,  $d_3$ .



**Joonis 2-9.** Lühised transistortaseme CMOS JA-EI ventiilis

Eeldades, et lühistakistus on oluliselt madalam kui avatud transistori sisetakistus, võib defekte  $d_1$  and  $d_3$  modelleerida loogikatasandi konstantse rikke mudeliga, aga defekti  $d_2$  mitte.

Defekt  $d_1$  põhjustab lühise toiteallika VDD ja väljundsõlme  $y$  vahel. Rakendades testvektorit  $(a,b) = 11$ , avanevad transistorid  $n_1$  ja  $n_2$ . Eeldades, et avatud transistoride sisetakistus on oluliselt kõrgem defekti  $d_1$  põhjustatud lühistakistusest, võib defekti lugeda ekvivalentseks konstant 1 rikkega väljundis  $y$ .

Analoogilise põhjenduse saab anda ka defekti  $d_3$  taandamisele konstantseks rikkeks  $d_3 \equiv 1$ .

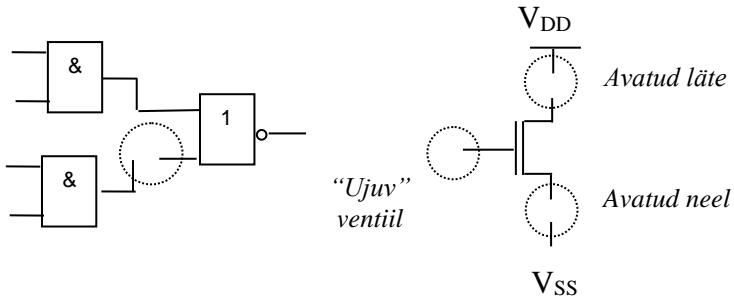
Defekti  $d_2$  võib avastada konstantse rikke testiga eeldusel, et lühisrikke takistus ja avatud transistori  $n_1$  takistus on oluliselt väiksemad kui avatud transistori  $p_2$  takistus. Sellise tingimuse täitmisel avastab defekti  $d_2$  testvektor  $(a,b) = 10$ , mis avab transistorid  $n_1$  ja  $p_2$ .

### Katkestused

*Katkestusteks (opens)* nimetatakse järgmist tüüpi defekte:

- kontakti puudumine ühendustes,
- katkenud juhtmed,
- praod metalliseeritud kihtides jne.

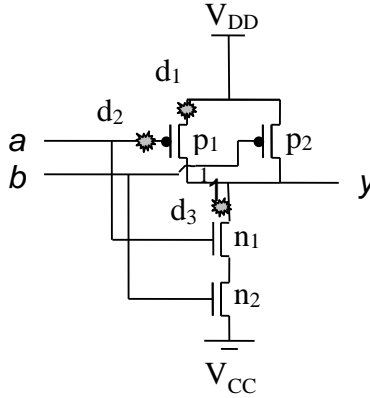
Katkestuste käitumine varieerub väga palju ja neid on tihti raske ette ennustada. Katkestuste avaldumine ei sõltu üksnes defekti suurusest või ulatusest vaid ka temperatuurist, taksagedusest, asukohast, tehnoloogilistest parameetritest jne. Katkestused võivad lokaliseeruda nii ventiilide tasandil kui ka transistoride tasandil (joonis 2-10).



**Joonis 2-10.** Katkestused ventiiliskeemis ja transistoris

### Näide 2-5.

Joonisel 2-11 on illustreeritud CMOS tehnoloogias realiseeritud JA-EI ventiili transistorskeem, milles on kolm katkestusdefekti  $d_1$ ,  $d_2$ ,  $d_3$ . avaldades mõju transistori  $p_1$  käitumisele.



**Joonis 2-11.** Katkestused CMOS JA-EI transistorskeemis

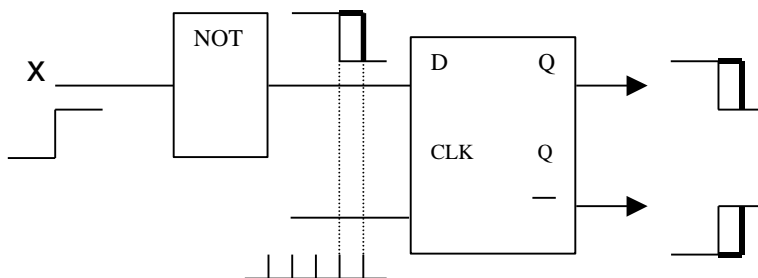
Konstantse rikke mudelit kasutades genereeritakse antud JA-EI elemendile järgmine testvektorite (a,b) hulk:  $T_1 = (11)$ ,  $T_2 = (10)$ ,  $T_3 = (01)$ . Vaadeldavad katkestusdefektid aga ei ole avastatavad ühegi üksiku testvektoriga sellest hulgast. Vektor  $T_2$  viib väljundi väärtusele 1 transistori  $p_2$  abil ja vektor  $T_3$  viib väljundi väärtusele 1 transistori  $p_1$  abil. Defektide  $d_1$ ,  $d_2$ ,  $d_3$  olemasolul aga vektor  $T_3$  ei vii transistori olekusse 1. Siiski, nimetatud testvektorite kolmik avastaks need defektid, kui vektorid viidaks läbi niisuguses järjestuses:  $T_2, T_1, T_3$ .

Üldjuhtumil on katkestusdefekti avastamiseks transistorskeemides vaja kahe testvektori jada:  $T_1, T_2$ . Esimene vektor  $T_1$  initialiseerib skeemi väljundi vajalikule loogikatasemele, teine vektor  $T_2$  üritab muuta skeemi olekut testitava transistori abil.

### Viiterikked

Ajastus (timing) ehk ajalised viited (delay) on väga olulised parameetrid sisend-väljundisignaalide suhetes. Defektide omaduste uurimine on näidanud, et enamik CMOS transistoride defekte põhjustavad just viiterikkeid (viiteid signaalide levikus), võrreldes näiteks teiste nn. katastroofiliste (püsivate) defektidega. Näiteks nn. takistuslikud lühisrikked (resistive bridges) lühistakistusega väljaspool kriitilise takistuse alasid põhjustavad just viiteid signaalide levikus e. viiterikkeid. Viiterikked kuuluvad defektide klassi, mis ei kuulu ei lühiste ega ka katkestuste

kategooriasse. Viiterike tähendab seda, et signaal hilineb väljundisse ja seetõttu konkreetsel hetkel (takti lõpus) oodatav väljundsignaal on vigane (joonis 2-12).



**Joonis 2-12. Viiterike**

Viiterikked võivad tekkida paljudest põhjustest tingitult, mis võiksid olla, näiteks:

- tehnoloogilise protsessi defektid;
- transistoride *lävipingete* nihked;
- *parasitmahtuvuste* suurenemine;
- ebatäpne signaalide ajastuse projekteerimine.

Viiterikkeid võib seostada nii ventiilidega kui ka signaaliteedega, mistõttu viiterikete mudeleid võib klassifitseerida järgmiselt:

- *ventiili viiterikke* mudel (digitaalskeeme projekteeritakse lähtudes elementide nominaalsetest viidetest; defekt ventiilis aga võib põhjustada nominaalsest palju suurema viite);
- *signaalitee viiterikke* mudel (mudel võtab kumulatiivselt arvesse kõigi ventiilide viiterikked antud signaaliteel)

## 2.2. Konstantsete rikete omadused

Üks olulisemaid probleeme testvektorite genereerimisel ja rikete simuleerimisel digitaalsüsteemides on skeemide keerukus – hiiglasuur rikete hulk, kus iga rikke kohta tuleb mingi seisukoht võtta (genereerida talle test või kindlaks teha, kas konkreetne olemasolev test suudab seda riket avastada või mitte).

Probleemist üle saamiseks tuleks mingil moel püüda seda rikete hulka vähendada, määrata kindlaks antud rikke olulisus, suhe teistesse rikesse. Et niisugust analüüsi läbi viia, peaks tundma erinevaid rikete omadusi nagu testitavus, liiasus, ekvivalentsus teiste riketega, dominantsus teiste rikete suhtes jne. Tundes rikete niisugusi omadusi, osutub võimalikuks selekteerida välja kogu rikete hulgast mingi olulisemate rikete alamhulk ja tegelda edaspidi vaid nende välja valitud riketega, teades sel juhul näiteks, et kui testid on võimelised avastama kõik rikked sellest valikhulgast, avastavad nad ka kõik ülejäänud rikked.

### 2.2.1. Rikete liiasus

Olgu  $y = f(X)$  mingi kombinatsioonskeemi  $C$  loogikafunktsioon ja  $R(C) = \{r\}$  kõigi võimalike rikete hulk selles skeemis. Rikke  $r \in R(C)$  olemasolul transformeerub antud skeem  $C$  üheks uueks – vigaseks kombinatsioonskeemiks  $C'$  funktsiooniga  $y = f'(X)$ . Igat sisendvektorit  $t_i = X_i^*$  võib vaadelda kui testi kombinatsioonskeemile, sisendvektorite jada  $T = (t_1, t_2, t_n)$  aga nimetame *testjadaks*.

Ütleme, et testvektor  $t$  avastab rikke  $r \in R(C)$  antud skeemis siis ja ainult siis kui kehtib  $f(X) \neq f'(X)$ .

Riket  $r \in R$  nimetatakse *testitavaks* kui eksisteerib vähemalt üks testvektor  $t$ , mis avastab rikke  $r$ , vastasel juhul on rike  $r$  *mittetestitav*.

Kombinatsioonskeemi  $C$  nimetatakse *liiaseks*, kui eksisteerib mittetestitav rike  $r \in R(C)$ . Sellist skeemi on alati võimalik lihtsustada, eemaldades temast vähemalt ühe ventiili või ventiili sisendi. Mittetestitavat riket võib analoogia põhjal samuti nimetada *liiaseks rikkeks*.

Oletame näiteks, et SAF1 rike (konstant 1) JA-ventiili sisendis on mittetestitav. See aga tähendab, et ventiili funktsioon ei muutu antud rikke olemasolul, mistõttu me võime panna sellesse sisendisse permanentselt konstandi 1. Aga  $n$ -sisendiga JA-ventiil konstandiga 1 ühes sisendis on ekvivalentne  $(n - 1)$ -sisendiga JA-ventiiliga, mis on saadud eemaldades

ventiilist konstantse signaaliga sisendi. Analoogiliselt, kui JA-ventiili sisend SAF0 on mittetestitav, siis võib selle JA-ventiili üldse skeemist eemaldada ja asendada konstantse 0-signaalliga.

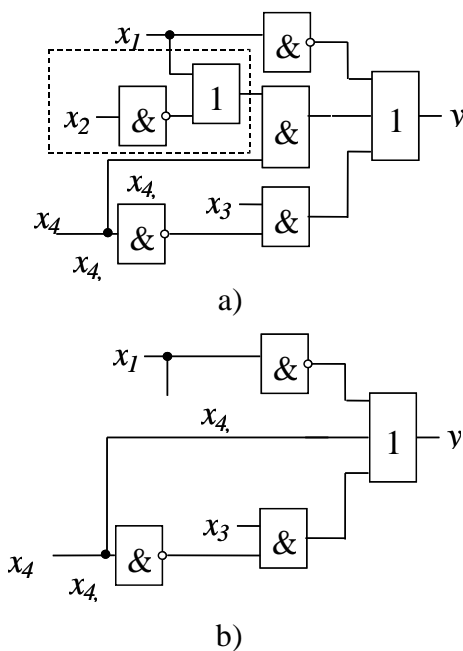
Näide 2-6.

Vaatleme skeemi joonisel 2-13a. Püüdes lahendada *Boole'i diferentsiaalvõrrandit*

$$\frac{\partial y}{\partial x_2} = \frac{\partial(\overline{x_1} \vee (x_1 \vee \overline{x_2})x_4 \vee x_3 \overline{x_4})}{\partial x_2} = 1,$$

leiame, et

$$\frac{\partial y}{\partial x_2} \equiv 0.$$



**Joonis 2-13.** Liase kombinatsiooniskeemi lihtsustamine

Seega sisend  $x_2$  on skeemis liiane ja ta võib sealt koos invertoriga eemaldada.

Kuna Boole'i tuletis  $\partial y / \partial x_2$  on konstantne suvalise  $x_2$  väärtuse korral, siis on mõlemad rikked  $x_2 \equiv 0$  ja  $x_2 \equiv 1$  selles sisendis mittetestitavad ja ka VÕI elemendi võib skeemist eemaldada, ning selle järel kohe ka järgmise JA-lemendi. Kombinatsioonskeemi funktsioon on nüüd võtnud kuju:

$$y = \overline{x_1} \vee x_{4,1} \vee \overline{x_3} x_{4,2}$$

ja sellele vastav lihtsustatud kombinatsioonskeem on esitatud joonisel 2-13b. Differentseerides saadud funktsiooni harumuutuja  $x_{4,2}$  järgi, saame:

$$\frac{\partial y}{\partial x_{4,2}} = \overline{x_1} x_4 x_3 = 1.$$

Siit näeme, et ehkki rike  $x_{4,2} \equiv 1$  on avastatav vektoriga  $(x_1, x_3, x_4) = 110$ , ei ole seevastu rike  $x_{4,2} \equiv 0$  testitav. Eemaldades nüüd invertori sisendis  $x_4$  ja seejärel ka mittetestitava konstant 1 rikke tõttu invertorile järgneva JA-lemendi sisendi, saame uueks lihtsustatud funktsiooniks:

$$y = \overline{x_1} \vee x_4 \vee x_3.$$

Liiased mittetestitavad rikked põhjustavad tõelise probleemi testvektorite genereerimisel. Testide genereerimine on protseduur, kus lahendit tuleb otsida kõikvõimalike testvektorite või testjadade hulgast. Mitteliaste ehk testitavate rikete puhul, me harilikult leiame testi kiiresti, skaneerides enamasti vaid väikest osa kogu otsimisruumist. Liaste rikete puhul aga tuleb läbida kogu otsinguruum, mis on väga töömahukas, ja kus kõige krooniks selle töömahuka otsingu lõpptulemuseks on teada saamine, et otsitavat testi ei eksisteerigi.

Seetõttu, kui eemaldaksime liiased skeemi osad juba nende projekteerimise käigus, enne testide genereerimist, suudaksime testvektorite sünteesi kiirust märgatavalt tõsta.

## 2.2.2. Rikete dominantsus- ja ekvivalentsussuhted

Olgu  $y = f(X)$  mingi kombinatsioonskeemi  $C$  loogikafunktsioon ja  $R(C) = \{r\}$  kõigi võimalike rikete hulk selles skeemis.



### Rikete ekvivalentsus

Kaks riket  $r \in R(C)$  ja  $s \in R(C)$  on *funktsionaalselt ekvivalentsed*, siis ja ainult siis kui  $f^r(X) \equiv f^s(X)$ .

Ütleme, et testvektor  $t$  eristab kahte riket  $r \in R(C)$  ja  $s \in R(C)$  siis, kui  $f^r(X) \neq f^s(X)$ . Selliseid rikkeid nimetatakse *eristatavateks*. Ei ole olemas testi, mis eristaks kahte funktsionaalselt ekvivalentset riket.

Funktsionaalse ekvivalentsuse suhe lahutab kogu rikete hulga  $R(C)$  funktsionaalselt *ekvivalentseteks klassideks*. Testide genereerimise aspektist on piisav vaadelda ainult ühte esindajat igast *ekvivalentsusklassist*.

Iga  $n$ -sisendilise ventiiliga me võime seostada  $2(n + 1)$  üksikut konstantset riket. JA-EI ventiili puhul kõik konstant 0 rikked sisendites ja konstant 1 rike väljundis on funktsionaalselt ekvivalentsed. Kõiki neid rikkeid võib esindada üheainsa rikkega, näiteks väljundi konstant 1 rikkega. Seega iga  $n$ -sisendilise ( $n > 1$ ) JA-EI ventiili puhul piisab tegeleda testide genereerimise ajal  $2(n + 1)$  rikke asemel vaid  $n+2$  üksiku konstantse rikkega.

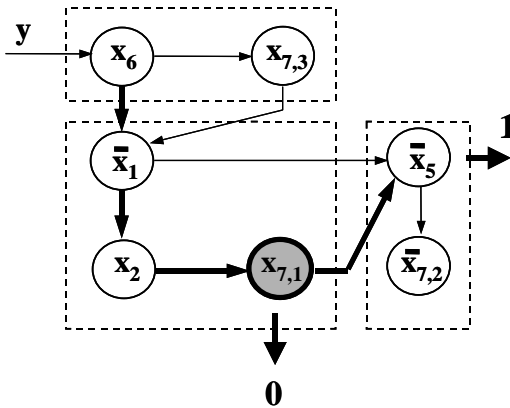
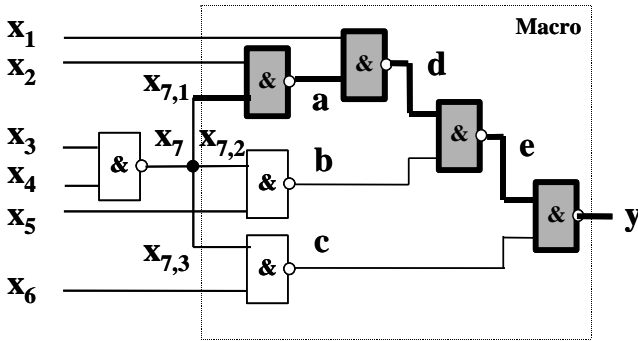
Niisugust oluliste rikete hulga redutseerimise meetodit nimetatakse *ekvivalentsete rikete kollapsiks (equivalence fault collapsing)*.

Kui lisaks rikete avastamisele on testimise ülesandeks ka rikete lokaliseerimine, tuleb genereerida niisugusi teste, mis mitte üksnes ei avasta rikkeid, vaid suudaksid neid ka eristada. *Täielik rikkeid lokaliseeriv test* suudab eristada igat riket eristatavate rikete hulgast antud skeemis. Täielik rikkeid lokaliseeriv test suudab diagnoosida rikkeid kuni funktsionaalse ekvivalentsuse täpsuseni. Maksimaalse *diagnoosi resolutsiooni* (eristatavuse) määrabki funktsionaalse ekvivalentsuse suhe antud rikete hulgal.

Struktuurselt sünteesitud otsustusdiagrammide konstrueerimisel toimub automaatselt ka ekvivalentsete rikete kollaps: kui iga tipp SSBOD mudelis esindab ühte *signaaliteed* vastavas puukujulises kombinatsioonskeemis, siis igale *tipurikkele* otsustusdiagrammis vastab samuti üks rikete alamhulk ventiilide sisendites tipule vastaval signaaliteel.

### Näide 2-7.

Vaatleme kombinatsioonskeemi ja sellele vastavat SSBOD mudelit joonisel 2-14.



**Joonis 2-14.** Rikete kollaps SSBOD mudelis

Joonisel 2-14 on esitatud *puukujuline makro C* kombinatsioonskeemist ja talle vastav SSBOD. Rikete hulk makros on  $R(C)$ . Igale tipule  $m$  tipumuutujaga  $x(m)$  selles graafis vastab *signaalitee*  $P(m)$  kombinatsioonskeemis, mis algab muutujaga  $x(m)$  tähistatud ühendusest ja levib väljundini  $y$ . Testida tippu  $m$  graafis rikkele  $x(m) \equiv e$ ,  $e \in \{0,1\}$  hulgast  $R(C)$  tähendab testida rikete alamhulka  $F(x(m),e)$  signaaliteel  $P(m)$ .

Olgu  $P(m) = (x(m), x_1, \dots, x_n)$ , kus  $x(m)$  on sisendmuutuja signaaliteel  $P(m)$  ja  $x_1, \dots, x_n$  on ventiilide väljundmuutujad sellel teel. Siis graafi tipu  $m$  rikkega  $x(m) \equiv e$  on ekvivalentne järgmine rikete hulk signaaliteel  $P(m)$ :

$$F(x(m),e) = \{x(m) \equiv e, x_1 \equiv e \oplus INV_1, \dots, x_n \equiv e \oplus INV_n\}$$

kus  $INV_i = 0$  kui invertorite arv sõlmest  $x_i$  kuni makro väljundini on paarisarv, ja  $INV_i = 1$  vastupidisel juhul.

Näiteks, rike  $x_2 \equiv 1$  otsustusdiagrammi tipus  $x_2$  on ekvivalentne järgmise rikete alamhulgaga signaaliteel  $P(x_2)$ :

$$F(x_2,1) = \{x_2 \equiv 1, a \equiv 0, d \equiv 1, e \equiv 0, y \equiv 1\}.$$

### Rikete dominantsus

Kui testimise eesmärgiks on üksnes rikete avastamine, siis lisaks ekvivalentsuse suhtele võib kasutada ka rikete dominantsuse suhet, mis samuti aitab redutseerida käsitlemist vajavate rikete hulka.

Olgu  $T_r$  niisuguste testvektorite hulk, mis avastavad rikke  $r \in R(C)$ . Rike  $r$  domineerib rikke  $s \in R(C)$  üle siis ja ainult siis kui rikked  $r$  ja  $s$  on funktsionaalselt ekvivalentsed testide hulga  $T_r$  jaoks.

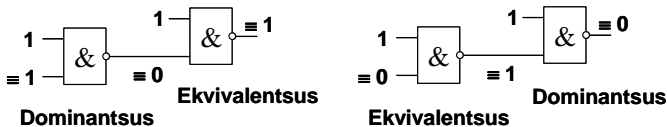
Kui rike  $r \in R(C)$  domineerib rikke  $s \in R(C)$  üle, siis iga test  $t$ , mis avastab rikke  $s$ , avastab ka rikke  $r$ . Seetõttu, kui testide genereerimise ülesandeks on ainult rikete avastamine, pole oluline käsitleda domineerivaid rikkeid  $r$ , sest genereerides testvektori rikkele  $s$ , me automaatselt leiame testi, mis avastab ka domineeriva rikke  $r$ .

### Rikete ekvivalentsus ja dominantsus:

A	B	C	D	Rikete klassid
1	1	1	0	A/0, B/0, C/0, D/1 → Ekvivalentsusklass
0	1	1	1	A/1, D/0
1	0	1	1	B/1, D/0
1	1	0	1	C/1, D/0

→ Dominantsusklass

### Rikete kollaps:



Joonis 2-15. Rikete kollaps ekvivalentsus/dominantsuse suhete abil

### Rikete kollaps

Rikete ekvivalentsuse ja dominantsuse suhteid võib kasutada oluliste rikete hulga minimeerimiseks, mida tuleb kasutada testide genereerimisel ja rikete simuleerimisel.

Vaatleme 3 sisendiga JA-EI elementi joonisel 2-15. Tabelis on esitatud ventiili täielik test ja iga testvektori jaoks on määratud ekvivalentsuse- ja dominantsuse klassid. Dominantsusklasside puhul on oluline see, et selles klassis konkreetse testvektori puhul on alati üks rike, mida võib avastada ka mõne teise testvektoriga. Näiteks väljundriket  $D \equiv 0^4$  avastab koguni kolm erinevat vektorit. Seepärast just see rike domineeribki temaga seotud olevates dominantsusklassides teiste rikete üle.

### Rikete kollapsi reeglid:

1. *Ekvivalentsusreegel:* suvaline rike ekvivalentsusklassis võib saada valitud selle klassi esindajaks, jättes ülejäänud ekvivalentsusklassi rikked vaatluse alt välja.
2. *Dominantsusreegel:* dominantsusklassidest võib üksnes domineerivaid rikkeid vaatlusest välja jätta.

Vaatleme nüüd lihtsat kahe ventiiliga kombinatsioonskeemi joonisel 2-15. Testimisele kuuluvate rikete minimeerimiseks antud skeemis võib nüüd kasutada mõlemat rikete kollapsi reeglit.

Näiteks, testvektori 110 puhul (vasakpoolne skeem) valime ekvivalentsusreegli põhjal väljundventiili sisendrikke  $\equiv 0$  klassi esindajaks ja seejärel seades selle rikke dominantsussuhtesse rikkega  $\equiv 1$  skeemi sisendis, valime sisendi rikke  $\equiv 1$  kõigi rikete esindajaks vaadeldaval signaaliteel.

Testvektori 111 puhul aga (parempoolne skeem) valime dominantsusreegli põhjal väljundventiili sisendrikke  $\equiv 1$  klassi esindajaks ja seejärel seades selle rikke ekvivalentsussuhtesse rikkega  $\equiv 0$  skeemi sisendis, valime sisendi rikke  $\equiv 0$  kõigi rikete esindajaks vaadeldaval signaaliteel.

---

<sup>4</sup> Rikke  $x \equiv e$ ,  $e \in \{0,1\}$ , tähistamiseks kasutatakse ka notatsiooni  $x/e$

Vaadeldud näitest tuleneb vahetult üldine rikete kollapsi reegel puukujuliste skeemide jaoks: puukujulistes kombinatsioonskeemides on vaja testide üksnes sisendrikkeid.

Üldistades seda reeglit kombinatsioonskeemide üldjuhtumi jaoks saame järgmise üldreegli.

#### Rikete kollapsi üldreegel kombinatsioonskeemide jaoks:

Kombinatsioonskeemide testimiseks konstant tüüpi riketele on vajalik ja piisav testida:

- konstantsed rikked skeemi kõigi hargnemispunktide kõikides harudes, ja
- konstantsed rikked skeemi kõigis sisendites.

### **2.2.3. Rikete maskeerumine**

#### Kordsed rikked

Seni oleme vaadelnud vaid üksikuid rikkeid skeemis. Oleme teadlikult lihtsustanud oma niigi rasket rikete modelleerimisega seotud ülesannet, kuna juba üksikute rikete hulk digitaalsüsteemides võib osutuda käsitlematult suureks, rääkimata siis suvaliste rikete kombinatsioonide arvust.

Olgu skeemis  $n$  signaalijuhet, siis üksikute konstantrikete hulk selles skeemis sisaldab  $2n$  riket. Kõikvõimalike kordsete rikete hulk sisaldab aga kokku  $3^n - 1$  riket, kus iga juhe võib olla 3-es üksteist välistavas olekus: konstant 0, konstant 1 ja “korras” juhe.

Kui pisut lihtsustada ülesannet ja anda ette nn. “lubatud rikete kordsus”  $k$ , s.t. et suurim korruga eksisteerivate rikete arv võib olla  $k$ , siis kõigi võimalike rikkesituatsioonide (rikete kombinatsioonide) arv  $N$  niisugusel juhul oleks:

$$N = \sum_{j=1}^k \{C_j^n\} 2^j,$$

kus  $C_j^n$  on kombinatsioonide arv  $n$ -ist  $j$  kaupa.

Ülaltoodust näeme, et kordsete rikete arv on väga suur. Seega oleks mõeldamatu nende numereerimine ja käsitlemine vähegi suuremas kombinatsioonskeemis. Küll aga tuleb kordsete rikete võimalust siiski arvestada testide genereerimisel just rikete vastastikkuse maskeerimise ohu vältimiseks.

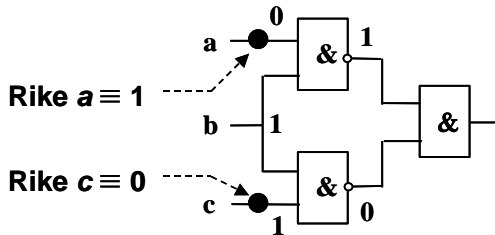
### Rikete maskeerumine

Olgu  $y = f(X)$  mingi kombinatsioonskeemi  $C$  loogikafunktsioon ja  $R(C) = \{r\}$  kõigi võimalike rikete hulk selles skeemis. Olgu  $T_r$  niisuguste testvektorite hulk, mis avastavad rikke  $r \in R(C)$ .

Rike  $s \in R(C)$  maskeerib riket  $r \in R(C)$  testi  $T_r$  puhul siis ja ainult siis kui ükski testvektor  $t \in T_r$  ei avasta kordset riket  $\{r, s\} \subset R(C)$ .

### Näide 2-8.

Vaatleme skeemi joonisel 2-16, kus on kaks riket  $a \equiv 1$  ja  $c \equiv 0$ , mis maskeerivad teineteist.



**Joonis 2-16.** Kahe rikke maskeerumine kombinatsioonskeemis

Testvektor  $t = (a, b, c) = 011$  on ainus võimalik vektor, mis avastaks rikke  $c \equiv 0$ . Aga see vektor ei avasta riket  $c \equiv 0$ , kui samaaegselt on skeemis ka teine rike  $a \equiv 1$ . Seega, võime öelda, et rike  $a \equiv 1$  maskeerib testvektori  $t$  rakendamisel riket  $c \equiv 0$ .

Olgu  $T$  kõigi võimalike testvektorite hulk ja  $T_r \subseteq T$  kõigi nende võimalike testvektorite hulk, mis avastavad rikke  $r \in R(C)$ .

Me ütleme, et rike  $s \in R(C)$  maskeerib riket  $r \in R(C)$ , siis ja ainult siis kui ükski testvektor  $t \in T_r$  ei avasta kordset riket  $\{r, s\} \subset R(C)$ .

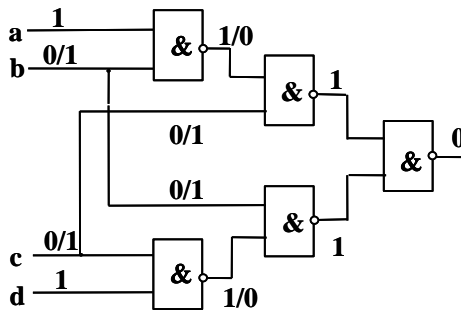
### Rikete ringmaskeeruvus

Olgu  $T$  täielik testvektorite hulk, mis avastavad skeemis  $C$  kõik üksikud konstantrikked hulgast  $R(C)$ . Kordne rike  $R' \subset R(C)$  võib aga maskeeruda niisuguse täieliku üksikrikete testi  $T$  korral, ehkki kõik rikked  $r \in R'$  eraldi oleksid testiga  $T$  avastatavad.

### Näide 2-9.

Vaatleme skeemi joonisel 2-17. Test  $T = \{1111, 0111, 1110, 1001, 1010, 0101\}$  avastab kõik üksikud konstantrikked selles skeemis. Skeemis on aga kordne rike  $R' = \{b \equiv 1, c \equiv 1\}$ . Ainus testvektor, mis avastab mõlemat riket üksikult on  $1001 \in T$ . Mõlema rikke koosinemisel, aga ei testita enam kumbagi selle vektoriga, sest rike  $b \equiv 1$  maskeerib riket  $c \equiv 1$  ja rike  $c \equiv 1$  maskeerib omakorda riket  $b \equiv 1$ .

Niisugust maskeerumist nimetatakse *ringmaskeerimiseks* (*circular masking*).



*Joonis 2-17. Rikete ringmaskeerumine kombinatsiooniskeemis*

Eelnevatest näidetest on näha, et kordsete rikete olemasolu võib mõjutada testide kvaliteeti. Seetõttu, ehkki me pole suuteliselt käsitlema kõiki võimalikke kordseid rikkeid ja konstrueerima kõigile neile sobivaid testvektoreid, on ometi olemas ka veel teine võimalus – genereerida igale üksikule rikkele testi niiviisi, et see rike saaks avastatud antud testi poolt

suvalise kordse rikete kombinatsiooni korral. Niisugusi meetodeid vaatleme edaspidi.

## 2.3. Funktsionaalne rikke mudel

Digitaalsüsteemide testide genereerimise efektiivsus on oluliselt sõltuv süsteemi ja selle rikete diagnostilise modelleerimise viisidest. On piisavalt hästi näidatud, et konstantse rikke mudel ei suuda garanteerida piisavat testimise kvaliteeti. Põhjuseks on see, et konstantse rikke mudel ignoreerib tegelikku transitorskeemide käitumist (eriti *CMOS tehnoloogia* korral) ja ei kajasta adekvaatselt reaalseid füüsikalisi defekte transistorskeemides, mis tihtilugu pole esitatavad ei üksikute ega ka kordsete konstantsete riketena loogikatasandil.

Samal ajal füüsikaliste defektide käsitlemiseks rikete simuleerimise tööriistadega, me ometigi vajame loogikatasandi mudeleid, kuna see võimaldab vähendada simuleerimise keerukust (rida füüsikalisi defekte võib modelleerida ühe ja sama loogikatasandi rikkega) ja loogikarikete mudeli kasutamise korral oleme simuleerimisel sõltumatud konkreetsest tehnoloogiast.

Käesolevas peatükis vaatleme meetodit, kuidas modelleerida füüsikalisi defekte üldistatud differentsiaalvõrranditega eesmärgil kujutada neid füüsikaliselt tasandilt loogikatasandile. Vaatleme ja analüüsime mitmeid transitortasandi rikete tüüpe, et veenduda meetodi üldisuses. Defineerime ka uue funktsionaalse rikke mudeli ja näitame, kuidas seda mudelit saab käsitleda kui *universaalset liidest*, mille läbi kujutada rikkeid suvaliselt alumiselt tasandilt kõrgemale. Niisugune rikete kujutamine tasandilt tasandile teeb võimalikuks hierarhilise lähenemisviisi testimisele, mis on ka ainuvõimalik strateegia tänapäevaste üha keerukamaks muutuvate digitaalsüsteemide testimiseks.

### 2.3.1. Rikete modelleerimine Boole'i differentsiaalvõrranditega

Vaatleme digitaalskeemi ühte skeemisisest komponenti  $G$ , mis realiseerib Boole'i funktsiooni  $y = f(x_1, x_2, \dots, x_n)$ . Võtame kasutusele täiendava Boole'i muutuja  $d$  mingi suvalise füüsikalise defekti tähistamiseks komponendis. Olgu teada ka defektse komponendi (defektiga  $d$ ) realiseeritav Boole'i funktsioon:



$$y = f^d(x_1, x_2, \dots, x_n),$$

kus üldjuhul võivad mõned muutujad ka puududa, juhul kui defekt  $d$  välistab nende mõju komponendi väljundile.

Võtame kasutusele komponendi  $G$  jaoks *üldistatud parameetrilise funktsiooni* (parameetrik on defekt  $d$ ):

$$y^* = f^*(x_1, x_2, \dots, x_n, d) = \bar{d}f \vee df^d \quad (2-1)$$

mis kirjeldab komponendi käitumist üheaegselt kahel võimalikul viisil – töökorras skeemina ja defektsena (defektiga  $d$ ). Defektse oleku korral on defektimuutuja  $d$  väärtuseks 1, ja korras skeemi puhul  $d = 0$ . Teiste sõnadega,  $y^* = f^d$  kui  $d = 1$ , ja  $y^* = f$  kui  $d = 0$ .

Boole'i differentsiaalvõrrandi

$$W^d = \frac{\partial y^*}{\partial d} = 1. \quad (2-2)$$

lahend kirjeldab tingimust (kitsendust), mille täitmisel defekti mõju on aktiveeritud komponendi väljundisse, s.t. et korras skeem ja defektne skeem annaksid kitsenduse (2-2) täitmisel väljundis erinevad signaalid.

Parameetriline defekti  $d$  modelleerimine differentsiaalvõrranditega (2-1) ja (2-2) lubaks kasutada kitsendusi  $W^d = 1$  nii testide genereerimisel defekti  $d$  avastamiseks, kui ka rikete simuleerimisel, kontrollimaks kas defekt  $d$  on antud testvektoriga avastatav. Esimesel juhul tuleks lahendada võrrand (2-2), teisel juhul tuleks arvutada võrrandi (2-2) vasaku poole väärtust.

Et leida tingimus  $W^d$  ette antud defekti  $d$  jaoks, peame kõigepealt leidma defektse komponendi funktsiooni  $f^d$  kas loogilise tuletamise teel defektse komponendi jaoks konstrueeritud *ekvivalentskeemist*, või viia läbi defektse komponendi mudeli simuleerimine, või korraldada reaalsed eksperimendid defektse komponendiga, et kindlaks teha defekti mõju komponendi käitumisele.

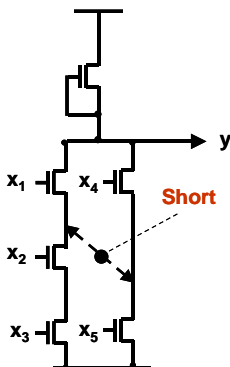
### Näide 2-10.

Vaatleme transistorskeemi, mis on esitatud joonisel 2-18 ja mis realiseerib funktsiooni

$$y = x_1 x_2 x_3 \vee x_4 x_5$$

Lühis skeemis, nii nagu näidatud joonisel, muudab skeemi funktsiooni järgmiselt:

$$y^d = (x_1 \vee x_4)(x_2 x_3 \vee x_5)$$



*Joonis 2-18. Lühisega transistorskeem*

Võttes lühise tähistamiseks kasutusele muutuja  $d$ , konstrueerime antud defekti analüüsimiseks komponendi üldistatud funktsiooni ja differentseerime seda muutuja  $d$  suhtes. Viies läbi vajalikud lihtsustused, leiame differentsiaalvõrrandi lahendid, mis oleksidki defekti avastamise tingimusteks transistorskeemi väljundis:

$$\begin{aligned} \frac{\partial y^*}{\partial d} &= \frac{\partial((x_1 x_2 x_3 \vee x_4 x_5) \bar{d} \vee (x_1 \vee x_4)(x_2 x_3 \vee x_5) d)}{\partial d} = \\ &= \frac{\partial(x_1 x_2 x_3 (\bar{d} \vee d) \vee x_4 x_5 (\bar{d} \vee d) \vee (x_1 x_5 \vee x_2 x_3 x_4) d)}{\partial d} = \\ &= \frac{\partial(x_1 x_2 x_3 \vee x_4 x_5 \vee (x_1 x_5 \vee x_2 x_3 x_4) d)}{\partial d} = \\ &= \overline{x_1 x_2 x_3 x_4 x_5} (x_1 x_5 \vee x_2 x_3 x_4) \\ &= \overline{x_1 x_2 x_4 x_5} \vee \overline{x_1 x_3 x_4 x_5} \vee \overline{x_1 x_2 x_3 x_4 x_5} = 1 \end{aligned}$$

Lahenditeks on järgmine tingimuste hulk:

$$T = \{10x01, 1x001, 01110\}.$$

Igatüht nendest tingimustest võiks kasutada kui testvektorit komponendi sisendis antud defekti avastamiseks.

Toodud näidet võiks veel vaadelda kui kontranaidet, tõestamaks konstantsete rikete mudeli ebaadekvaatsust. Vaatleme järgnevat tabelit.

*Tabel 2-1. 100%-lise KR testi ja defekti testi võrdlus*

No	100% KR test					Defekti test				
	x <sub>1</sub>	x <sub>2</sub>	x <sub>3</sub>	x <sub>4</sub>	x <sub>5</sub>	x <sub>1</sub>	x <sub>2</sub>	x <sub>3</sub>	x <sub>4</sub>	x <sub>5</sub>
1	1	1	1	0	-	1	0	-	0	1
2	0	-	-	1	1	1	-	0	0	1
3	0	1	1	0	1	0	1	1	1	0
4	1	0	1	1	0					
5	1	1	0	-	0					

Tabelis 2-1 on toodud 5 testvektorit, mis avastavad 100%-liselt kõik konstantrikked (KR) antud skeemis (vasakul) ja testvektorid, mis on genereeritud spetsiaalselt antud defekti jaoks (paremal). KR testvektorite jaoks on värvitud ruutudega näidatud, millised rikked konkreetne testvektor avastab. 0(1) värvitud ruudus näitab, et reale vastav testvektor avastab veerule vastavas sisendis konstantrikke 1(0).

Tabelist näeme, et ükski kolmest testvektorist, mis avastavad antud lühise, ei tulene KR testi vektoritest (ühtegi neist ei saaks tuletada, valides sobivalt muutujate vabu ehk määramata väärtusi).

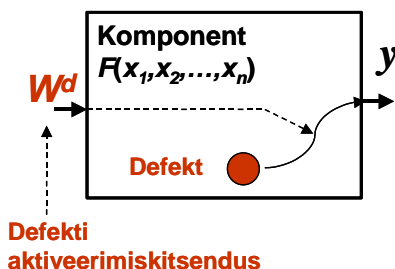
Näitest järeldub seega, et väga hea konstantsete rikete avastamiseks mõeldud test ei pruugi sugugi olla enam piisavalt hea, kui “lubatud” rikete klassi laiendada suvalistele füüsikalistele defektidele. Siit aga tuleneb vajadus üldisema rikete modelleerimise meetodi järele, võrreldes sellega, mida võimaldab konstantrikete mudel.

### 2.3.2. Füüsikaliste defektide kujutamine loogikatasandile

Eelpool kirjeldatud Boole'i diferentsiaalvõrrandile toetuv rikete modelleerimise meetod kujutab endast üldist lähenemisviisi suvaliste defektide kujutamiseks füüsiliselt tasandilt loogikatasandile. Meetodi abil võib suvalist füüsilist defekti kirjeldada kitsendusena  $W^d = 1$ , mis tuleb täita defekti aktiveerimiseks komponendi väljundisse (joonis 2-19).

Väara signaali ilmnemist komponendi väljundis võime Boole'i diferentsiaali põhimõttel kirjeldada tingimusena  $dy = 1$ .

Võttes nüüd kasutusele *funktsionaalse rikke mudeli* mõiste, võime kirjeldada defekti  $d$  paariga  $(dy, W^d)$ . Rike avaldub nüüd puhtalt komponendi funktsiooni kaudu: rakendades komponendi sisenditele tingimusega  $W^d = 1$  määratud vektorit. Riket kas avastatakse, kui  $dy = 1$ , või ei avastata, kui  $dy = 0$ . Komponenti madala taseme *transistorskeemi* struktuur pole enam oluline, komponenti ennast võib vaadelda musta kastina. Põhimõtteliselt pole ka tingimuste  $W^d$  leidmisel vaja teada komponendi struktuuri, kui on teada tema defektne funktsioon  $f^d$ .



Joonis 2-19. Defekti aktiveerimine komponendis

Teisest küljest, Boole'i diferentsiaalvõrrandit (2-2) võib interpreteerida ka kui füüsilise defekti kujutamist füüsiliselt tasandilt loogikatasandile: füüsilise defekti asemel võib loogikatasandil käsitleda viga  $dy = 1$  (ehk konstantriket  $y \equiv 1$ ), juhul kui kitsendus  $W^d = 1$  on täidetud.

Järgmised näited demonstreerivad meetodi kasutatavust mitmete transistorskeemi defektide kujutamisel loogikatasandile.

Lühised (stuck-on) transistoriskeemis.

Näide 2-11.

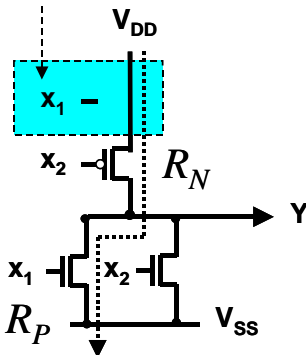
Transistortasemel esitatud VÕI-EI elemendi (joonis 2-20) käitumist vaadeldava lühisrikke korral ei saa kirjeldada rangelt loogiliselt. Sisendvektor “10” produtseerib voolu juhtiva ahela sõlmest  $V_{DD}$  sõlmeni  $V_{SS}$ , ja vastav pingeniivo väljundsõlmes  $Y$  ei ole võrdne ei  $V_{DD}$  ega  $V_{SS}$  – ga, vaid selle asemel kehtib funktsioon *pinge jagunemisest* avatud transistoride *sisetakistustel* voolu juhtivas ahelas.

$$V_Y = \frac{V_{DD}R_P}{(R_P + R_N)}$$

Sõltuvalt sisetakistuste suhtest ja vastavast väljundisse  $y$  ühendatud järgnevate komponentide ümberlülitumise *lävipingetest*, defekt võib avalduda veana väljundis  $d$ , aga võib ka mitte avalduda. Tähistame sümboliga  $Z$  *määramatu signaali* väljundis. Siis võib defektse komponendi funktsiooni kirjeldada järgmiselt:

$$y^d = \overline{x_1x_2} \vee x_1\overline{x_2}Z.$$

**Lühis**



$x_1$	$x_2$	$y$	$y^d$
0	0	1	1
0	1	0	0
1	0	0	Z: $V_Y/I_{DDQ}$
1	1	0	0

**Avatud vooluahel “10” puhul**

Joonis 2-20. Lühisriike (stuck-on) transistoriskeemis

Kui nüüd  $\overline{x_1 x_2} = 1$  siis  $y^d = Z$ . Kasutades nüüd valemeid (2-1) ja (2-2) saame:

$$y^* = \overline{d(x_1 \vee x_2)} \vee d(\overline{x_1 x_2} \vee x_1 \overline{x_2} Z)$$

$$W^d = \partial y^* / \partial d = \overline{x_1 x_2} Z = 1.$$

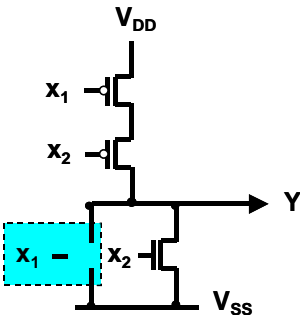
Võrrandist lähtub, et defekti aktiveerimiseks on vajalikud tingimused  $x_1 = 1, x_2 = 0$ , aga defekti avastamiseks on tarvilik ka  $Z = 1$ . Viimase tingimuse täitmine sõltub küll juba konkreetsest elektrilisest skeemist.

*Katkestused (stuck-open) transistorskeemis*

Näide 2-12.

Vaatleme katkestusriket VÕI-EI elemendis joonisel 2-21. Mõningate testvektorite puhul ilmneb, et vooluahelat  $V_{DD}$  ja  $V_{SS}$  vahel ei tekigi. Selle tulemusena väljundsõlm säilitab oma eelmise loogilise väärtuse. Kombinatoorne element on hakanud käituma kui *dünaamiline mälu*element.

## Katkestus



$x_1$	$x_2$	$y$	$y^d$
0	0	1	1
0	1	0	0
1	0	0	$Y'$
1	1	0	0

**Vooluahela puudumine**  
 $V_{DD}$  ja  $V_{SS}$  vahel "10" puhul

*Joonis 2-21. Katkestusriike (stuck-open, stuck-off) transistorskeemis*

Defektse ventiili funktsioon on:

$$y^d = \overline{\overline{x_1 x_2}} \vee \overline{x_1 x_2} y'$$

kus  $y'$  vastab väljund signaali väärtusele, mis oli salvestatud defektse ventiili väljundis eelmisel ajahetkel. Kasutades nüüd avaldisi (2-1) and (2-2) saame:

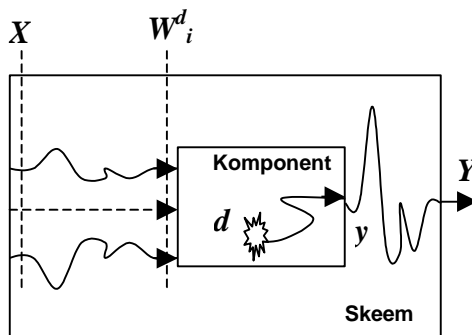
$$\begin{aligned} y^* &= \overline{d(x_1 \vee x_2)} \vee d(\overline{x_1 x_2} \vee \overline{x_1 x_2} y') = \\ &= \overline{x_2}(\overline{x_1} \vee dy') \end{aligned}$$

$$W^d = \partial y^* / \partial d = \overline{x_1 x_2} y' = 1.$$

Siit aga järgneb, et defekti aktiveerimiseks vajalikud tingimused on:  $x_1 = 1, x_2 = 0, y' = 1$ . Teiste sõnadega, et testida antud katkestusriket, oleks vaja rakendada 2-vektorilist testjada: kõige pealt vektorit “00”, et viia väljund olekusse  $y = 1$ , ja seejärel vektorit “10”, et avastada defekt.

### Defektide esitamine defektide tabelina

Üldjuhul võib ühel ja samal defektil  $d$  olla terve hulk erinevaid aktiveerimistingimusi  $W^d_i$ , mis leitakse differentsiaalvõrrandi kõigi lahendite hulganä. Olgu antud component  $C_y$ , mille väljundiks on  $y$ , koos kõigi võimalike defektide hulga  $D$ .



Joonis 2-22. Defekti aktiveerimine kogu skeemi tasandil

Olgu  $W^{F,d}(y) = \{W^d_i\}$  kõigi loogikatingimuste hulk, mis aktiveeriksid defekti  $d \in D$  väljundisse  $y$ , ning  $W^F(y) = \{W^{F,d}(y)\} \subseteq W(y)$  loogikatingimuste hulk, mis kokku aktiveeriks kõik defektid hulgast  $D$  väljundisse  $y$ . Siin  $W(y)$  on kõigi võimalike komponendi  $C_y$  sisendvektorite hulk.

Näiteks joonisel 2-18 toodud defekti  $d$  avastamiseks väljundis  $y$  võiks kasutada kolme erinevat tingimust (vt. Tabel 2-1)

$$W^{F,d}(y) = \{10x01, 1x001, 01110\}.$$

Arvestades seda, et mõned sisendmuutujad on siin määramata, on kõigi võimalike lahendite ehk aktiveerimistingimuste arv antud juhul koguni 5. Oluline oleks kõik need võimalused testide generaatori jaoks ette anda, sest mitte igaüks neist ei pruugi olla lahenduv terve skeemi tasandil, s.t. mitte igaühe jaoks nendest ei pruugi eksisteerida skeemi sisendvektor.

Joonisel 2-22 on illustreeritud testi genereerimise protsess defekti  $d$  jaoks kogu skeemi ulatuses. Kõigepealt valitakse üks tingimus  $W^d_i \in W^{F,d}(y)$  defekti aktiveerimiseks komponendi väljundisse  $y$ . Seejärel lahendatakse vastavad Boole'i võrrandid tingimuse  $W^d_i = 1$  rahuldamiseks skeemi sisenditel ning aktiveeritakse *veasignaali* komponendi väljundist  $y$  skeemi väljundisse  $Y$ . Nende protseduuride tulemusena leitakse defekti  $d$  avastav testvektor  $X$  skeemi sisendis. Võib juhtuda, et sellist vektorit ei eksisteerigi üldse. Siis tuleks valida mingi teine tingimus  $W^d_i \in W^{F,d}(y)$  ja korrata sama protseduuri. Kui testvektorit ei leita mitte ühegi tingimuse jaoks hulgast  $W^{F,d}(y)$ , tuleb defekti  $d$  lugeda *funktsionaalselt liia*seks ning tema testimine polegi oluline antud skeemis.

Loogikatingimuste hulka

$$W^F(y) = \{W^{F,d}(y)\} \subseteq W(y)$$

võib esitada *defektide tabelina* ehk maatriksina  $DT = \|w_{ij}\|$ , kus  $w_{ij} = 1$ , kui defect  $i$  on avastatav komponendi lokaalse sisendvektoriga  $j$ , ning  $w_{ij} = 0$ , kui defect  $i$  ei ole avastatav vektoriga  $j$ . Niisugune defektide esitus loogikaelemendile AND2,2/NOR2 funktsiooniga  $y = \overline{AB} \vee CD$  on esitatud Tabelis 2-2.



**Tabel 2-2. Defektiide tabel loogikaelemendile AND2,2/NOR2**

i	Fault $d_i$	Erroneous function $f^{d_i}$	Input patterns $t_j$															
			0	1	2	3	4	5	6	7	8	9	10	11	12	13	14	15
1	B/C	not((B*C)*(A+D))				1								1	1	1		
2	B/D	not((B*D)*(A+C))				1								1	1		1	
3	B/N9	B*(not(A))	1	1	1					1	1	1	1					
4	B/Q	B*(not(C*D))	1	1	1					1	1	1		1	1	1		
5	B/VDD	not(A+(C*D))									1	1	1					
6	B/VSS	not(C*D)													1	1	1	
7	A/C	not((A*C)*(B+D))				1				1					1	1		
8	A/D	not((A*D)*(B+C))				1				1					1		1	
9	A/N9	A*(not(B))	1	1	1		1	1	1				1					
10	A/Q	A*(not(C*D))	1	1	1		1	1	1						1	1	1	
11	A/VDD	not(B+(C*D))					1	1	1									
12	C/N9	not(A+B+D)+(C*(not((A*B)+D)))	1			1	1			1	1							
13	C/Q	C*(not(A*B))	1	1		1	1	1	1	1	1		1					
14	C/VSS	not(A*B)				1				1				1				
15	D/N9	not(A+B+C)+(D*(not((A*B)+C)))			1		1		1	1	1	1						
16	D/Q	D*(not(A*B))	1		1	1	1	1	1	1	1		1	1				
17	N9/Q	not((A*B)+(B*C*D)+(A*C*D))				1												
18	N9/VDD	not((C*D)+(A*B*D)+(A*B*C))													1			
19	Q/VDD	SA1 at Q				1				1				1	1	1	1	1
20	Q/VSS	SA0 at Q	1	1	1		1	1	1		1	1	1					

Igale skeemikomponendile *komponentide teegis* lisatakse täiendav *diagnostiline informatsioon* niisuguse defektide tabeli näol. Neid tabelleid komponentide teegis saab kasutada *defektipõhisel testide genereerimisel* ja ka testide *diagnostilise analüüsi* ehk defektide avastamise protsendi arvutamiseks.

Tabelit 2-2 analüüsid on kerge märgata, et kõikide defektide avastamiseks ei olegi vaja kõiki sisendvektoreid kasutada. Näiteks, kõigi 20 defekti avastamiseks piisab vaid 4-st vektorist: 3, 6, 8 ja 12. Seega elemendi defekte võiks kirjeldada kompaktselt ka niisuguse *funktsionaalse rikke mudelina*:

$$W^F(y) = \{ W^{F,d}(y) \} = \{ 0011, 0110, 1000, 1100 \}.$$

Nagu juba eelpool mainitud, skeemi tasandil teste genereerides võib osutada, et mõni nendest vektoritest pole realiseeritav, mis juhul tuleks kõigi defektide katmiseks Tabelis 2.2 hoopis teisi selles mudelis mitte sisalduvaid sisendvektoreid kasutada.

### 2.3.3. Ühendusahelate defektide kujutamine loogikatasandile

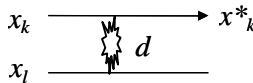
Vaatleme digitaalskeemis ühte komponenti  $C$ , mida kirjeldab Boole'i funktsioon  $y = f(x_1, x_2, \dots, x_n)$ . Kirjeldame *komponendi lähiumbrust*, kus on võimalik lühiste tekkimine komponendi ja ümbruse vahel, signaalijuhtmete huljana  $E_c = \{x_{n+1}, \dots, x_p\}$ . Võtame kasutusele sama täiendava Boole'i muutuja  $d$  füüsiliste defektide modelleerimiseks alamskeemis  $(C, E_c)$  komponendi  $C$  ja tema lähiumbruse  $E_c$  vahel, mis võiksid mõjutada signaali väärtust komponendi väljundis  $y$ . Olgu teada defektse alamskeemi  $(C, E_c)$  funktsioon:

$$y = f^d(x_1, x_2, \dots, x_n, x_{n+1}, \dots, x_p). \quad (2-3)$$

Võtame kasutusele komponendi  $C$  ja lähiumbrusega  $E_c$  määratud alamskeemi  $(C, E_c)$  kirjeldamiseks defekti  $d$  võimaliku olemasolu korral *üldistatud parameetrilise funktsiooni* (parameetrik on defekt  $d$ ):

$$y^* = f^*(x_1, x_2, \dots, x_n, x_{n+1}, \dots, x_p, d) = (d \wedge f) \vee (d \wedge f^d)$$

mis kirjeldab alamskeemi käitumist üheaegselt kahel võimalikul viisil – töökorras skeemina ja defektse (defektiga  $d$ ). Defektse oleku korral on defektimuutuja  $d$  väärtuseks 1, ja korras skeemi puhul  $d = 0$ . Teiste sõnadega,  $y^* = f^d$  kui  $d = 1$ , ja  $y^* = f$  kui  $d = 0$ . Differentiaalvõrrandi (2-2) lahendid kirjeldavad tingimusi (kitsendusi), mille korral defekti  $d$  mõju on aktiveeritud väljundisse  $y$ .



*Joonis 2-23. Lühis kahe juhtme vahel*

#### Näide 2-13.

Vaatleme lühist kahe juhtme  $x_k$  ja  $x_l$  vahel joonisel 2-23. Defektne funktsioon juhtme  $x_k$  *lühisdefekti*  $d$  vastavalt JA-tüüpi lühismudelile oleks  $x^d_k = x_k x_l$ . Üldistatud funktsiooni saame nüüd kujul

$$x_k^* = \bar{d}x_k \vee dx_k^d = \bar{d}x_k \vee d(x_k x_l)$$

funktsioonina

$$x_k^* = f(x_k, x_l, d)$$

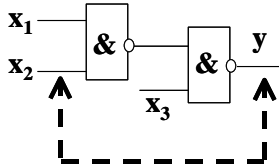
nii *defektimuutujast*  $d$ , kui ka lähiümbruse muutujast  $x_l$ , mis kirjeldab kahe juhtme paari käitumist nii rikke korral ( $d = 1$ ) kui ka rikke puudumisel ( $d = 0$ ).

Boole'i differentsiaalvõrrandi

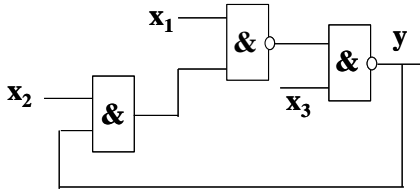
$$W^d = \partial x_k^* / \partial d = x_k \bar{x}_l$$

lahend kirjeldab tingimust, mille täitmise korral defekt  $d$  on aktiveeritud juhtmele (on jälgitav juhtmel)  $x_k$  (joonis 2-23). Tingimus  $W^d = x_k \bar{x}_l = 1$  tähendab: selleks et testida lühist juhtmete  $x_k$  ja  $x_l$  vahel jälgides signaale juhtmel  $x_k$  meil tuleb saata juhtmele  $x_k$  signaal 1 ja juhtmele  $x_l$  signaal 0.

### Lühis põhjustab tagasiside:



### Ekvivalentskeem:



*Joonis 2-24. Lühis, mis põhjustab tagasiside*

### Näide 2-14.

Lühis kahe juhtme  $x_k$  ja  $x_l$  vahel joonisel 2-24 põhjustab tagasiside. JA-tüüpi lühisriket modelleeriv *ekvivalentskeem* on esitatud samuti joonisel 2-24. Üldistatud *parameetriline funktsioon*, mis kirjeldab skeemi käitumist nii defekti puudumisel kui ka selle olemasolul, võtab järgmise kuju:

$$y^* = \overline{d}(x_1 x_2 \vee \overline{x_3}) \vee d(x_1 x_2 y \vee \overline{x_3}) = x_1 x_2 (\overline{d} \vee y') \overline{x_3}$$

Boole'i differentsiaalvõrrandi

$$W^d = \partial y^* / \partial d = x_1 x_2 x_3 \overline{y}' = 1$$

lahend kirjeldab tingimust (kitsendust), mille puhul defekt  $d$  on aktiveeritud väljundisse  $y$  (joonis 2-24). Apostroof  $y$  juures tähendab, et  $y$  väärtus kuulub eelmise ajahetke (takti) juurde.

Tingimus

$$W^d = x_1 x_2 x_3 \overline{y}' = 1$$

tähendab, et lühise  $d$  testimiseks on vaja 2-st vektorist koosnevat *testjada*: esiteks, vajame vektorit, mis produtseerib skeemi väljundis väärtuse  $y = 0$  (näiteks, omistades  $x_3 = 0$ ), seejärel tuleks defekti avastamiseks rakendada vektorit  $x_1 = 1, x_2 = 1, x_3 = 1$ .

Käesolev näide demonstreerib seda, et defektide testimiseks vajalikud tingimused võivad üldjuhul puudutada mitut ajahetke, mille tulemusel tuleb genereerida mitte üks vektor, vaid mitmest testvektorist koosnev testjada. Samuti näeme siit, et *Boole'i differentsiaalvõrrandi* lahendamisel põhinev meetod võimaldab universaalselt käsitleda ühtselt nii kombinatoorseid lühiseid kui ka võrdlemisi keerukat sekventsiaalsete lühisdefektide juhtu, kus lühisest tingituna kombinatsioonskeem muutub järjestikskeemiks (või antud järjestikskeemi olekute arv kasvab).

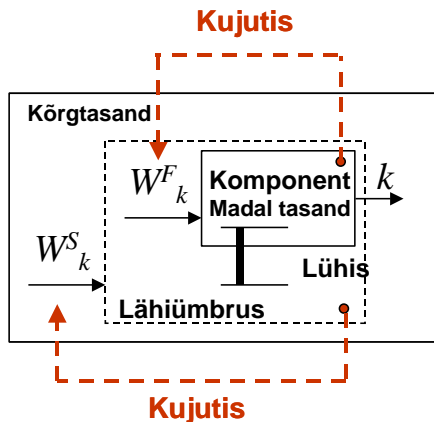
*Funktsionaalse rikke mudelit*, mis on esitatav paarina ( $dy, W^d$ ), võib vaadelda, esiteks, meetodina suvaliste füüsikaliste defektide kujutamiseks füüsikaliselt tasandilt loogikatasandile ja teiseks, universaalse meetodina rikete modelleerimiseks testide genereerimise ja rikete simuleerimise hierarhilises käsitluses. Tingimusi  $W^d$  defektide  $d$  aktiveerimiseks võib seejuures kasutada kitsendustena kõrgematel (loogika või registersiirete)

tasanditel kas testide genereerimiseks või rikete simuleerimiseks osutamata tähelepanu madalama taseme rikete (nt. defektide) füüsikalisele olemusele.

### 2.3.4. Rikete hierarhiline esitus

*Rikete defineerimise meetod* mudeli  $(dy, W^d)$  kaudu võimaldab meil unifitseerida skeemi (või süsteemi) komponentide ja selle lähiümbruse *diagnostilist modelleerimist*, pööramata tähelepanu ei komponendi ega ka selle lähiümbruse struktuursetele omadustele. Mõlemal juhul mudel  $(dy, W^d)$  kirjeldab, kuidas madalama tasandi defekti  $d$  (kas defekti komponendis või selle lähiümbruses) tuleks aktiveerida kõrgemal tasandil sõlmeni  $y$ .

Kitsendusi  $W^d$  võib kasutada nii hierarhilisel testide genereerimisel kui ka rikete simuleerimisel. Vaatleme sõlme  $k$  joonisel 2-25 kui komponendi  $M_k$  väljundit, millele vastab muutuja  $y_k$ . Seame sõlmega  $k$  vastavusse rikete hulga  $R_k = R_k^F \cup R_k^S$ , kus  $R_k^F$  on rikete alamhulk komponendis  $M_k$  väljundiga  $y_k$  ja  $R_k^S$  on komponendiga  $M_k$  seotud struktuursete rikete (defektide) alamhulk komponendi  $M_k$  lähiümbruses.

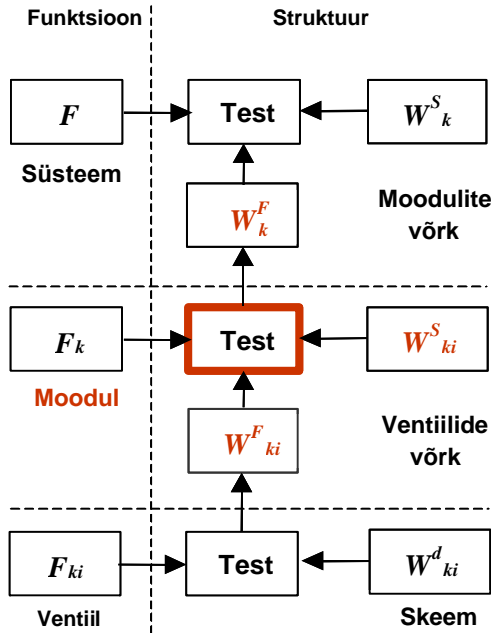


*Joonis 2-25. Lühis, mis põhjustab tagasiside*

Olgu  $W^d \in W(y_k)$  tingimus, mille täitmise korral rike  $d \in R_k$  muudab muutuja  $y_k$  väärtust ( $dy_k = 1$ ). Olgu  $W_k^F \subset W(y_k)$  tingimuste hulk, mis

aktiveerivad defekte  $d \in R^F_k$  ja  $W^S_k \subset W(y_k)$  nende tingimuste hulk, mis aktiveerivad defekte  $d \in R^S_k$ .

Kasutades tingimusi  $W^F_k$  and  $W^S_k$  seame üles rikete kujutised madalamalt tasandilt kõrgemale tasandile hierarhilise testide genereerimise eesmärgil, aga samuti ka vastupidi, kõrgemalt tasandilt madalamale tasandile hierarhilise rikete simuleerimise või diagnoosi eesmärgil.



*Joonis 2-26. Hierarhiline testimise kontseptsioon*

Et kujutada rikkeid  $d \in R_k$  testide genereerimise eesmärgil madalamalt tasandilt kõrgemale muutuja  $y_k$  differentsiaaliks  $dy_k$  on vaja leida lahend võrrandile  $W^d = 1$ . Teiste sõnadega, kui kitsendus  $W^d = 1$  on täidetud, siis defekti  $d \in R_k$  olemasolu korral avaldub see signaali  $y_k$  muutusena  $dy_k = 1$ .

Rikete simuleerimisel (või rikete diagnoosil) muutuja  $y_k$  väärat väärtust ( $dy_k = 1$ ) võib formaalselt interpreteerida implikatsioonina

$$dy_k \rightarrow d_1 W^{d_1} \vee d_2 W^{d_2} \vee \dots \vee d_n W^{d_n} \quad (2-4)$$

kus  $\forall j = 1, 2, \dots, n: d_j \in R_k$ . Teiste sõnadega, kõrgtasandi sündmusele  $dy_k = 1$ , seatakse vastavusse madalama tasandi sündmus  $d_j$  siis, kui tingimus  $W^{d_j} = 1$  on täidetud.

Hierarhilise testimise käsitluse eesmärgil peaksime konstrueerima iga komponendi  $M_k$  jaoks skeemis *rikete nimistu*  $R_k$  koos vastavate kitsendustega  $W^d$  iga rikke jaoks  $d \in R_k$ . Kitsenduste hulga  $W^{F_k}$  võib genereerida madalamal tasandil kõigile komponendi riketele  $d \in R^F_k$ . Kitsenduste hulga  $W^{S_k}$  struktuursete rikete jaoks  $d \in R^S_k$  komponendi lähiümbruses võib genereerida Boole'i differentsiaalanalüüsi abil eelmistes punktides kirjeldatud meetodil.

Joonisel 2-26 on illustreeritud hierarhilise testimise kontseptsiooni kolme tasandi “süsteem – moodul – ventiil” vahel, nagu eelnevalt kirjeldatud. Funktsionaalse lähenemise korral kasutatakse informatsiooni ainult vaadeldava tasandi objekti funktsionaalse käitumise kohta. Struktuurse lähenemisviisi puhul on testimise objektideks rikked struktuurse võrgu komponentides ja nende vahelistes ühendustes.

## 2.4. Kõrgtasandi rikete mudelid

Et kiirendada testide simuleerimist ja rikete katte hindamist on välja töötatud kõrgtasandi (funktsionaalse või käitumusliku tasandi) rikkemudeleid.

*Kõrgtasandi rikkemudelid* väljendavad madala tasandi füüsikaliste defektide mõju süsteemi käitumisele kõrgematel funktsionaalsetel tasanditel – mikrotehete või operatsioonide täitmisel registersiirete tasandil või arvuti käskude täitmisel käsusüsteemide arhitektuurisel tasandil. Kõrgtasandi rikkemudelit loetakse heaks, kui tema abil genereeritud testidel on hea konstantsete rikete või füüsikaliste defektide kate (avastamise võime).

Rikete kõrgtasandil modelleerimise põhiidee seisneb süsteemi kõrgtasandi kirjelduse modifitseerimises rikete sisseeviimisega nii, et süsteemi esialgselt kirjeldusest saadaks vigaseid versioone. Niisugust lähenemisviisi nimetatakse *mudeli “häirimiseks” (model perturbation)* [Gup 85]. Mudelit saab “häirida” mitmel viisil, näiteks, tõeväärtustabeli modifitseerimisega, mikrotehete modifitseerimisega jne. Nimetatud idee on

realiseeritud ühel või teisel viisil erinevates kõrgtasandi rikete mudelites, mis on väljatöötatud spetsiaalselt näiteks mikroprotsessoritele [Tha 80], pisut üldisemal moel registersiirete tasandil esitatud süsteemidele [She 88] või VHDL keeles kirjeldatud digitaalsüsteemidele [Gho 91] jne. On ka tehtud katseid töötada välja eri kõrgtasandi rikete mudeleid spetsiaalsetele süsteemikomponentidele nagu dekodeerid, multiplekserid, mälud, programmeeritavad maatriksid jne.

Kõrgtasandi rikete mudelid võivad olla otsesed ja kaudsed [Abr 95]. *Otsene rikke mudel* identifitseerib iga rikke eraldi ja iga rike selles mudelis on üheks konkreetseks testide genereerimise eesmärgiks. *Kaudne rikke mudel* identifitseerib rikete klasse, kus rikked omavad mingeid sarnaseid omadusi, nii et kõiki ühe klassi rikkeid saaks käsitleda sarnaste protseduuride abil. Kaudse mudeli eeliseks on see, et ta ei nõua rikete otsest numereerimist klassi sees.

Enamus kõrgtasandi rikkeid, mida me selles peatükis käsitleme võib samastada nn. *adresseerimise rikete (addressing faults)* [Abr 95] tüübiga. Iseloomulikumateks näideteks on: sõna adresseerimine mälus, registri valik vastavalt konkreetse välja sisule protsessori *käsuvormingus*, tehtekoodi dekodeerimine, et kindlaks teha, millist käsku on vaja täita arvutis jne. Üldiseks põhimõtteks selles mudelis on kasutada  $n$ -bitist aadressi, et valida ühte  $2^n$  võimalikust objektist. Millal iganes üks objekt  $i$  on valitud, adresseerimise rike võib tähendada ühte kolmest võimalusest:

- ei valita ühtegi objekti;
- valitakse objekt  $j$  objekti  $i$  asemel;
- valitakse objekt  $j$  lisaks objektile  $i$ ;

Veelgi üldisemalt: võidakse valida üks hulk objekte  $\{j_1, j_2, \dots, j_k\}$  objekti  $i$  asemel või lisaks objektile  $i$ .

Oluliseks iseloomujooneks adresseerimisrikete mudeli puhul on kontrollida, et adresseeritud funktsioon täidetakse ja et selle kõrval ei toimuks ka muid tegevusi, mis pole ettenähtud. Seda fundamentaalset aspekti ignoreerivad tihti mitmesugused teised heuristilised rikete mudelid.

### 2.4.1. Mikroprotsessori funktsionaalne rikete mudel

Väga levinud on lähenemisviis, kus mikroprotsessori erinevate alamsüsteemide nagu andmetöötluse alamsüsteemi (operatsioonautomaati) ja juhtseadme (juhtautomaadi) jaoks kasutatakse erinevaid rikete mudeleid



[Tha 80, Abr 95]. Kuna kõrgtaseme operatsioonid toimuvad kõrgtasandil, mis on hästi jälgitav inimese poolt, siis anomaaliate puhul süsteemi käitumises tuleks rääkida pigem *vigadest* kui riketest, mis vastab ka paremini nende sõnade igapäevasele tähendusele eesti keeles. Säilitamiseks aga eespool defineeritud suhet sõnade vahel - defekt, rike, viga - kus rike tähendab defekti mudelit, viiakse protsessori funktsioonide "materialiseerimise" eesmärgil tinglikult sisse nn. *mehhanismi* mõiste. Mehhanismiks loetakse mingit tinglikku osa aparatuurist, mis realiseerib või on vastutav teatavate funktsioonide täitmise eest.

Kõrgtasandi rikete mudeli konstrueerimise seisukohalt võib mikroprotsessorit jagada järgmisteks mehhanismideks: registreeride dekodeerimise, käskude dekodeerimise, andmete säilitamise, andmete edastamise ja andmete töötlemise mehhanismid.

Nüüsiis, kõrgtasandi rikked, mis mõjutavad mikroprotsessori käitumist võib jagada järgmisteks konkreetsete mehhanismidega seotud rikete klassideks:

- *adresseerimise rikked*, mis mõjutavad registreeride dekodeerimise mehhanismi,
- *adresseerimise rikked*, mis mõjutavad käskude dekodeerimise ja mikrotehete järjestamise mehhanisme,
- rikked andmete säilitamise mehhanismis,
- rikked andmete edastamise mehhanismis,
- rikked andmete töötlemismehhanismis.

#### *Rikked registreeride dekodeerimise mehhanismis*

Registreeride dekodeerimise vigade põhjusteks võivad olla defektsed multiplekserid või defektsed demultiplekserid.

Kui on antud mingi *andmeallika* aadress, siis multiplekseris on võimalikud järgmised anomaaliad, mis moodustavad registreeride dekodeerimise mehhanismi rikete mudeli:

F1: ei valitagi allikat,

F2: valitakse vale allikas,

F3: allikaid valitakse rohkem kui üks, kusjuures multiplekseri väljund määratakse JA või VÕI tehtega (sõltuvalt *tehnoloogiast*) üle kõigi andmesõnade, mis on valitud.

Demultiplekserite puhul on aga järgmised *käitumisvead* võimalikud, mis lisanduvad rikete mudelisse:

F4: ei valitagi sihtkohta;

F5: valitud sihtkoha asemel või sellele lisaks valitakse üks teine või veelgi rohkem sihtkohti.

#### *Rikked käskude dekodeerimise mehhanismis*

Mikroprotsessori käsku *I* võib vaadelda kui ühte *mikrokäskude* jada, kus iga mikrokäsk väljastab juhtsignaale, mille toimel realiseeruvad paralleelselt mikrotehted. *Mikroteheteks* on elementaarsed andmesiirded või tehted andmetega.

Adresseerimise vead, mis mõjutavad käskude täitmist või mikrotehete järjestust, võivad kutsuda esile järgmisi effekte (käskude dekodeerimise mehhanismi rikete mudel):

F6: üks või enam mikrotehet jäävad aktiveerimata käsu *I* poolt;

F7: mikrotehteid aktiveeritakse ekslikult;

F8: õigete mikrokäskude asemel või nendele lisaks aktiveeritakse komplekt mikrokäske, mida ei peaks aktiveerima.

Kirjeldatud rikete mudel on üldine, kuna ta võimaldab defektide modelleerimiseks nii *osalist käskude täitmist* kui ka nn. “uute” käskude tekkimist, mis pole ette nähtud mikroprotsessori käsusüsteemiga.

#### *Rikked andmete säilitamise mehhanismis*

Kuna registreid võib vaadelda kui ühte *mähmassiivi*, siis seda tüüpi rikete jaoks võib kasutada traditsioonilisi *mäluseadmete rikete mudeleid* [Goo 91, Abr 95, Mou 00]. Vead andmete säilitamisel mälus võivad toimuda järgmistel viisidel (andmete säilitamise mehhanismi mudel):

F9: ühes või enamas mälualemendis võivad olla rikked konstant 1 või konstant 0;

F10: ühes või enamas mälualemendis võivad tekkida vead  $0 \rightarrow 1$  või  $1 \rightarrow 0$  andmete edastamisel;

F11: kaks või rohkem mälualemendi paari võivad olla seotud, s.t. kui ühes mälualemendis olek muutub näiteks viisil  $x \rightarrow y$ , siis temaga paaris olevas mälualemendis samuti olek muutub kas  $x \rightarrow y$  või  $y \rightarrow x$ , kusjuures  $x, y \in \{0, 1\}$  ja  $y \neq x$ .

On näidatud [Tha 77], et rikked *mäludekooderis* ja ka sisend/väljundi registris on interpreteeritavad vigadena mälu massiivis.

### Rikked andmete edastamise mehhanismis

Andmete edastamise funktsioon hõlmab kogu andmesiiret magistraalide kaudu registritest registritesse, kas otse või läbi andmetöötamise mehhanismi. Andmete edastamise mehhanismi rikete mudel koosneb järgmistest riketest:

F12: ühel või enamal signaalijuhtmel võivad olla rikked konstant 1 või konstant 0;

F13: üks või enam signaalijuhet võivad olla lühises ja vastavalt lühisrikke mudelile (JA-tüüpi või VÕI-tüüpi lühistele) võivad realiseerida vastavalt, JA- või VÕI-funktsioone lühises olevate juhtmete peal;

### Rikked andmete töötlemise mehhanismis

Andmete töötlemise mehhanismi puhul spetsiaalseid hästi töötavaid rikkemudeleid pole välja pakutud. Ainsaks mõistlikuks viisiks oleks kasutada siin *hierarhilist lähenemisviisi*, mille puhul mehhanismi kuuluvad funktsionaalsed plokid esitatakse mingil madalamal tasandil, näiteks ventiilskeemide tasandil ja genereeritakse lokaalsed testid sellel samal madalal tasandil. Neid lokaalseid teste kasutatakse lõplike *testprogrammide* koostamisel taas kõrgtasandil.

Ehkki käesolevas peatükis kirjeldatud rikete mudel on laialt levinud testide genereerimiseks mikroprotsessoritele, on selle mudeli puuduseks liigne spetsialiseeritus, mis raskendab testprogrammide sünteesi

automatiseerimist. Samuti on mudel liialt orienteeritud kitsale mikroprotsessorite klassile, mistõttu ta pole kasutatav digitaalsüsteemidele üldjuhul.

## 2.4.2. Registersiirete tasandi rikete mudelid

*Registersiirete rikete mudel* on üles ehitatud eesmärgil kajastada teatavat hulka eri tüüpi funktsioneerimise anomaaliaid esitatavaid *funktsionaalseid rikkeid*. Rikete hulk on koostatud registersiirete tasandit kirjeldavate keelte *lauseanalüüsi* tulemusena.

Registersiirete tasandit kirjeldavas keeles esitatav lause omab üldjuhul järgmist struktuuri [She 88]:

$$K: (T, C) R_d \leftarrow f(R_{S1}, R_{S2}, \dots, R_{Sn}), \rightarrow N, \quad (2-5)$$

kus

- $K$  - on *märgend*,
- $T$  - on ajaliselt määratud tingimus (*ajatingimus*), mis on tarvilik lausega määratud tegevuste realiseerimiseks;
- $C$  - on *loogikatingimus*, mis on tarvilik lause (tegevuse) realiseerumiseks;
- $R_d$  - on *sihtregister*, kuhu kirjutatakse tegevuse tulemus;
- $R_{Si}$  - on *andmeallikas* (register, andmesisend);
- $f$  - on *tehe*, mis sooritatakse andmeallikatest  $R_{Si}$  saadud operandidega;
- $\leftarrow$  - tähistab *andmesiiret* (tehte tulemuse kirjutamist sihtregistrisse  $R_d$ );
- $\rightarrow N$  - tähistab siiret järgmise lause (tegevuse) juurde aadressiga  $N$ .

Kasutades toodud tähistusi võime eristada 9 tüüpi *funktsionaalseid rikkeid*, mida kasutatakse registersiirete tasandil digitaalsüsteemide diagnostilisel modelleerimisel:

- RT1: märgenditega seotud rike ( $K/K'$ ), mis tähendab, et antud tegevus realiseeritakse vaid siis, kui järgmise tegevuse valik toimub suunamisega märgendi  $K'$  poole;
- RT2: ajatingimuste ülesseadmisega seotud rikked ( $T/T'$ ), kus ajatingimuse  $T$  asemel kontrollitakse hoopis ühte teist ajatingimust  $T'$ ;
- RT3: loogikatingimuste ülesseadmisega seotud rikked ( $C/C'$ ), kus tingimuse  $L$  asemel kontrollitakse hoopis ühte teist loogikatingimust  $L'$ ;
- RT4: registre (sihtregistre  $R_d$  või andmeallikate  $R_{s,i}$ ) dekodeerimisega seotud rikked ( $R_i/R_i'$ ), kus registri  $R_i$  asemel valitakse hoopis teine register  $R_i'$ ;
- RT5: tehete dekodeerimisega seotud rikked ( $f/f'$ ), kus tehete  $f$  asemel realiseeritakse hoopis teine tehe  $f'$ ;
- RT6: juhtimisega seotud rikked, kus järgmine lause valitakse märgendi  $N'$ , mitte aga märgendi  $N$  järgi;
- RT7: rikked andmete salvestamisel või säilitamisel ( $(R_s)/(R_s)'$ ), mis tähendab, et registri  $R_s$  sisu ( $R_s$ ) võtab mingi defekti tõttu uue kuju ( $R_s'$ );
- RT8: rikked andmete edastuse mehhanismis ( $\leftarrow/\leftarrow'$ ), mis tähendab, et toimub mingi viga andmete edastamisel andmeallikast sihtkohta;
- RT9: rikked andmete töötlemise mehhanismis ( $((f)/(f)'$ ), mis tähendab, et tehe  $f$  küll toimub aga tehete tulemus ( $f'$ ) erineb oodatavast tulemusest ( $f$ ).

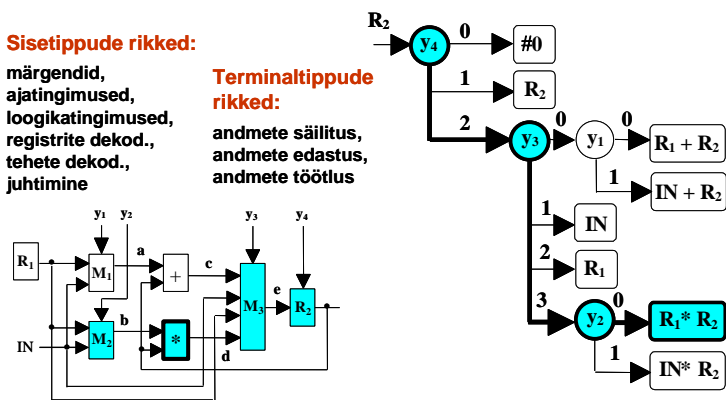
Kirjeldatud rikete mudel on üsna üldine ja sisukas, kuna igat digitaalsüsteemi on võimalik kirjeldada registertasandi keeltes selliste lausetega. Mudeli lihtsustamiseks on võimalik läbi viia ka rikete kollapsi protseduure toetudes rikete ekvivalentsuse ja dominantsuse suhetele.

Mudeli puuduseks on tema kohmakus – liiga palju erinevaid rikete tüüpe, mis kõik vajavad eraldi defineerimist ja eri käsitlemist.

### 2.4.3. Rikete modelleerimine otsustusdiagrammidega

Eespool kirjeldatud kõrgtasandi rikete mudelid on liigselt spetsialiseeritud ja on nõrgalt seotud süsteemi funktsioonide ning struktuuri mudeliga, s.t. et rikete mudel ei tulene otseselt süsteemi mudelist, vaid tuleb spetsiaalselt lisaks defineerida. Rikete mudelis kasutatavate rikete tüüpide rohkus teeb keeruliseks mudeliga töötamise. Tüüpide rohkuse tõttu on raske välja töötada ühtseid algoritme testide genereerimiseks ja rikete simuleerimiseks nii nagu see osutus võimalikuks loogikatasandil konstantse rikke mudelit kasutades.

Otsustusdiagrammide kasutamine annab paremad võimalused *universaalse rikkemudeli* väljatöötamiseks ka kõrgematel modelleerimise tasanditel. OD-mudel kajastab sisuliselt täpselt sama informatsiooni, mida esitatakse registersiirete tasandi traditsiooniliste keelte (näit. VHDL keele) abil, kuid palju kompaktsemal, korrastatumal ja diagnostilise modelleerimise seisukohast otstarbekamal kujul, kuna on selgelt välja toodud põhjus-tagajärg suhted. OD-mudelis on esitatavad kõik eelpool vaadeldud rikete mudelid, kusjuures neid ei tule lisaks süsteemi mudelile täiendavalt konstrueerida, vaid kõrgtasandi rikete mudel tuleneb otsustusdiagrammist endast otseselt (loomulikul viisil): iga tipuga on seotud üksainus rikete tüüp ja määratud hulk, kusjuures kõikide rikete käsitus on standartne kõikide tippude jaoks. Praktilisest küljest lähtudes on aga siiski otstarbekam eristada OD sisetippe ja terminaaltippe käsitlust.



Joonis 2-27. Kõrgtasandi rikete mudel otsustusdiagrammidel

Vaatleme digitaalsüsteemi (operatsioonautomaadi andmeosa) ja selle otsustusdiagrammi joonisel 2-27. OD terminaltippudele vastavad andmete säilituse funktsioonid (tipud muutujatega  $R_1$ ,  $R_2$  ja  $IN$ ), andmete edastuse funktsioonid (tipud muutujatega  $R_1$ ,  $R_2$  ja  $IN$ ) ning andmete töötlemise funktsioonid (tipud avaldistega  $R_1 + R_2$ ,  $IN + R_2$ ,  $R_1 * R_2$ ,  $IN + R_2$ ), sisetippudele aga tingimuste kontrolli ja juhtimise funktsioonid. Joonisel 2-27 esitatud graafi sisetippudel kontrollitakse juhtsignaalide väärtusi. Üldjuhul võidakse otsustusdiagrammide sisetippudes kontrollida ka *siirdeadresse* (märgendeid), aja- ning loogikatingimusi, ja *juhtsõnade* koodivälju, mille järgi adresseeritakse nii andmete allikaid (registreid, magistraale, sisendeid) kui ka selekteeritakse sooritavaid tehte.

Iga aktiveeritud tee otsustusdiagrammis juurtipust kuni terminaaltipuni kirjeldab digitaalsüsteemi ühte konkreetset *töörezhiimi*, mida saaks kirjeldada ka ühe lausega (2-5) mingis registersiirete tasandi kirjeldamise keeles. Seega kõik selle lause (2-5) komponendid on nii või teisiti esitatud ka otsustusdiagrammis. Kõik rikked, mis võivad mõjutada antud töörezhiimi teostust, on võimalik siduda OD tippudega vastaval aktiveeritud teel. Iga rike, mis on seotud konkreetse tipuga aktiveeritud teel, põhjustab kõrvalekalde sellelt teelt, mis tähendab, et jõutakse mingisse teise terminaaltippu, kus sooritatakse mingi teine tehe ettenähtud tehte asemel.

OD terminaltippudega, millistele vastavad andmetöötlusega seotud funktsioonid, on olukord pisut keerulisem. Nii nagu juba ka eelpool käsitletud mudelite puhul, on siin üldjuhul raske välja pakkuda hästi töötavat kõrgtaseme rikete mudelit. Ainsaks mõistlikuks meetodiks oleks läheneda probleemile hierarhiliselt ja sünteesida *lokaalsed testvektorid* terminaltippude testimiseks madalamal tasandil. Näiteks kui *tipuavaldiseks* on aritmeetiline liitmistehe, siis selle tehte testimiseks vajalikud operandid tuleks genereerida summaatori ventiiltaseme mudeli peal.

### Universaalse rikemudeli definitsioon

Igas digitaalsüsteemi kirjeldava otsustusdiagrammi tipus võivad aset leida järgmised rikked:

- D1: tipust väljuv kaar on alati aktiveeritud (sellesse tippu jõudes jätkame teed graafil alati just selle kaare kaudu, sõltumata sellest, millist väärtust omab tipumuutuja);
- D2: tipust väljuv kaar on katki ehk avatud (sellesse tippu jõudes katkeb edasine liikumine graafis, mistõttu ühtki tehet ei toimu);

D3: tipust väljutakse mingi teise kaare või korruga mitme teise kaare kaudu ettenähtud kaare asemel või sellele lisaks (viimasel juhul võidakse jõuda mitmesse terminaltippu korruga ning võidakse sooritada korruga mitu tehet, kusjuures saadud tehete tulemused võetakse kokku JA- või VÕI tehete vastavuses süsteemis realiseeritud *tehnoloogiale*).

**Tabel 2-3. Rikete mudelite vastavus**

DD-mudeli rikked	Registersiirete rikked	Mikroprotsessori rikked	
		Käsitasetasand	Mikrokäsitasetasand
D1	RT1 – RT6	F1	F1, F6
D2		F2, F4	F2, F4
D3		F3, F5	F3, F5, F7, F8
Terminaaltipp	RT7 – RT9	F9 - F13	F9 – F13

On kerge näha, et otsustusdiagrammide jaoks defineeritud ühtne rikkemudel katab eelpool vaadeldud mikroprotsessori ja registersiirete tasandi rikkemudeleid ja on sisuliselt üldistuseks kõikidele eespool käsitletud kõrgtasandi rikete mudelitele.

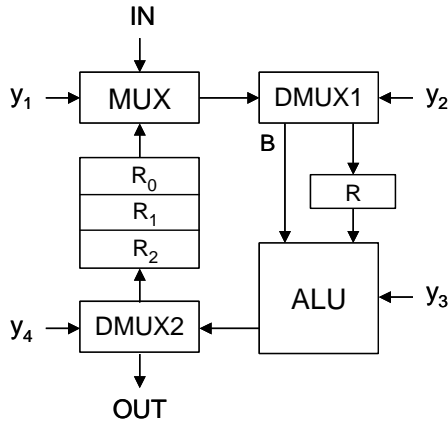
Universaalse otsustusdiagrammi riketemudeli vastavus registersiirete tasandi ja mikroprotsessori rikete mudelitega on toodud tabelis 2-3.

Vaatleme järgnevalt mitmesuguste digitaalsüsteemide rikete modelleerimise näiteid otsustusdiagrammidel.

#### Registersiirete tasandi rikked

Joonisel 2-28 on esitatud digitaalsüsteemi *andmetöötlusplokk*, mille komponentide funktsioonid on toodud tabelis 2-4. Seade koosneb 4 registrist R, R<sub>0</sub>, R<sub>1</sub>, R<sub>2</sub>, multipleksorist MUX, 2 demultipleksorist DMUX ning aritmeetikaseadmest ALU.





Joonis 2-28. Digitaalsüsteemi andmetötlusplokk

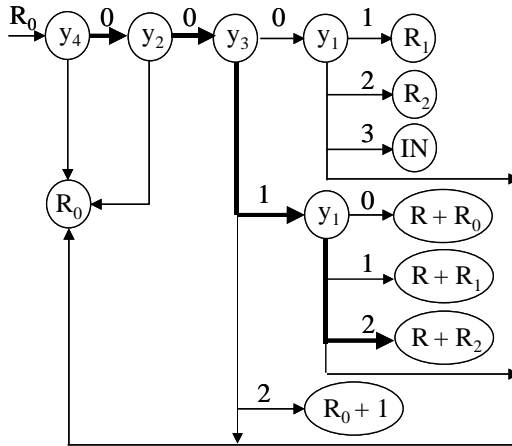
Tabel 2-4. Andmetötlusploki funktsioonid

MUX		DMUX1		ALU		DMUX2	
$y_1$	Tehe	$y_2$	Tehe	$y_3$	Tehe	$y_4$	Tehe
0	$MUX = R_0$	0	$B = MUX$	0	$ALU = B$	0	$R_0 = ALU$
1	$MUX = R_1$	1	$R = MUX$	1	$ALU = B + R$	1	$R_1 = ALU$
2	$MUX = R_2$	2	$\emptyset$	2	$ALU = B + 1$	2	$R_2 = ALU$
3	$\emptyset$	3		3	$\emptyset$	3	$OUT = ALU$

Registri  $R_0$  käitumine on esitatud otsustusdiagrammiga joonisel 2-29, kus argumentideks on juhtmuutujad (mikrokäsu operatsioonosa väljad)  $y_1, y_2, y_3, y_4$ , sisendmuutja  $IN$ , ning registermuutujad  $R, R_0, R_1, R_2$ .

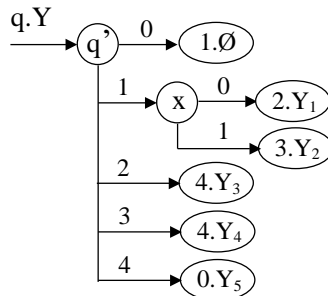
Registersiirete tasandi rikked RT2 – RT5 on otseselt kaetud OD-mudeli sisetippude rikega D1- D3, milliseid saab kergesti interpreteerida kui aja- või loogikatingimuste rikkeid, või registre- ning operatsioonide dekodeerimise (adresseerimise) rikkeid. Nii näiteks joonisel 2-29 tipp  $y_1$  vastab registre- andmeallikate dekodeerile (MUX joonisel 2-28), tipp  $y_2$  esitab loogikatingimust (demultiplekser DMUX2), tipp  $y_3$  vastab mikrooperatsioonide dekodeerimisele (ALU), ning tipp  $y_4$  vastab sihtregistri dekodeerile (DMUX2).

Rikete klassid RT1 (märgendiga seotud rikked) ja RT6 (juhtimisega seotud rikked) esindavad juhtseadme rikkeid, mida samuti on kerge interpreteerida otsustusdiagrammidel.



**Joonis 2-29.** Digitaalsüsteemi andmeosa otsustusdiagramm

State	Logic condition	Next state	Micro-instruction
$q'$		$q$	
0		1	$\emptyset$
1	$x = 0$	2	Y1
1	$x = 1$	3	Y2
2		4	Y3
3		4	Y4
4		0	Y5



**Joonis 2-30.** Juhtseadme olekute/siirete tabel ja otsustusdiagramm

Joonisel 2-30 on toodud juhtseadet kirjeldav lõpliku automaadi mudel (olekute ning siirete tabel) ning sellele vastav otsustusdiagramm. Viimane esitab vektorfunktsiooni  $q.Y = \delta(x, q')$ .  $\lambda(x, q')$ , kus  $x$  - on Boole'i muutuja (loogikatingimus),  $q$  - on arvatav olekumuutuja,  $q'$  - on eelmisele ajahetkele vastav olekumuutuja ja  $Y$  - on juhtseadme

väljundmuutuja (mikrokäsk). Rikete klassidele RT1 ja RT6 vastavad graafi sisetipu  $q'$  ja terminaaltippude ( $q.Y$ ) rikked. Tipu  $x$  rike otsustusdiagrammis vastab rikete klassile RT2 või RT3.

Rikete klasside RT7 – RT9 vastavus joonisel 2-29 toodud otsustusdiagrammi terminaaltippude riketega on toodud tabelis 2-5.

**Tabel 2-5.** *Juhtseadme olekute/siirete tabel ja otsustusdiagramm*

Registersiirete tasandi rikked	Otsustusdiagrammi terminaaltippude rikked
RT7	$R_0, R_1, R_2, R$
RT8	$R_0, R_1, R_2, R, IN$
RT9	$R + R_0, R + R_1, R + R_2, R_0 + 1$

### Mikroprotsessorite kõrgtasandi funktsionaalsed rikked

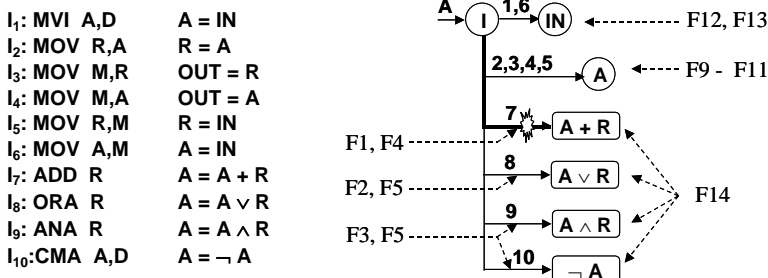
Joonisel 2-31 on toodud eelpool vaadeldud hüpoteetilise mikroprotsessori otsustusdiagrammi mudel koos võimalike rikete esitamisega vastavuses eelpool vaaadeldud rikete klassidega F1 – F13.

Oletame, et testitakse käsku  $I_7$ , mille tulemusena mudelis peaks aktiveeruma kaar  $I = 7$  ja toimuma operatsioon  $A = A + R$ . Mudelis on illustreeritud järgnevaid rikked:

Rikete klasse F1 ja F4 esindab katkestus kaarel  $I = 7$ : operatsiooni  $A = A + R$  ei toimu (D1). Rikete klassidele F2 ja F5 vastab mudelis viga, kus kaare  $I = 7$  asemel aktiveerub mingi teine kaar, näiteks  $I = 8$  ning realiseerub vale käsk  $I_8 : A = A \vee R$  (D2). Rikete klasse F3 ja F5 esindab mudelis viga, kus kaare  $I = 7$  asemel (või temaga koos) aktiveerub korraga mitu kaart ning realiseerub kombinatsioon kahest (või rohkemast) käsust  $I_9 : A = A \wedge R$  ja  $I_{10} : A = \neg A$  (D3). Kombinatsiooni tüüp (näiteks loogiline JA või VÕI) sõltub mikroprotsessori *tehnoloogilisest realisatsioonist* [Abr 86, Abr95].

Rikke klassidele F6, F7 ja F8, mis kajastavad viga mikrokäskude tasandil, antud mudelil vasteid ei leidu, kuna tegemist on käsutasandiga. Juhul kui sama graaf joonisel 2-30 kajastaks mikrooperatsioone, vastaksid riketele F6, F7 ja F8, vastavalt rikked F1, F2 ja F3.

Rikete klassidele F9, F10 ja F11 vastavad vead mäluelementides või registrites, mida kajastavad mudelis terminaaltipud, kus märgenditeks on mälumuutujad, näiteks  $A$ . Rikete klassidele F12 ja F13 vastavad vead andmete edastamisel, näiteks sisendmagistraali  $IN$  kaudu, aga samuti ka registritest (näiteks tipp  $A$ ). Rikete klassile F14 vastavad vead andmete töötlemisel (tipud  $A + R$ ,  $A \vee R$ ,  $A \wedge R$ ,  $\neg A$ ).



Joonis 2-31. Mikroprotsessori kõrgtasandi rikete modelleerimine

*Otsustusdiagrammi tipurikke mudel* võimaldab katta erinevaid rikete mudeleid süsteemi erinevatel abstraktsetel esitustasanditel. OD tipurikete füüsikaline sisu tuleneb sellest, millist konkreetset osa digitaalsüsteemist antud tipp modelleerib, milline sisuline tähendus on sellel tipul. Sõltuvalt digitaalsüsteemi või selle osa kirjeldamise detailsuse astmest otsustusdiagrammis sõltub ka tipurikke mudeli interpretatsioon ja detailsuse aste.

Näiteks SSBOD mudelis sisaldab tipu  $m$  rikkemudel kaks konstantset riket  $\{x(m) \equiv 0$  ja  $x(m) \equiv 1\}$ , millele vastab üks ekvivalentsete rikete klass SSBOD-ga modelleeritavas ventiiltaseme skeemis. Seega SSBOD mudel katab täielikult klassikalise ventiiliskeemidele vastava konstantse rikete mudeli.

Toetudes eelnevale, võime öelda, et OD tipurikke mudel on tegelikult klassikalise ventiiltaseme konstantse rikke mudeli üldistus digitaalsüsteemide kõrgtasandil esitatud kirjelduste jaoks. Kui *konstantse rikke mudel* toetub Boole'i algebrale ja on seetõttu kasutatav ainult loogikatasandil, siis OD tipurikke mudel on kasutatav nii loogikatasandil kui ka digitaalsüsteemide kõrgematel tasanditel.

## 2.5. Kokkuvõtteks

Käesolevas peatükis käsitlesime defektide ja rikete modelleerimise meetodeid digitaalsüsteemides. Kuna funktsionaalne lähenemisviis – testida süsteemi kõikvõimalikke funktsioone – osutub reaalsete objektide keerukuse tõttu ebapraktiliseks, siis struktuurne riketele põhinev lähenemisviis võimaldab saavutada küllaltki häid ja rahuldavaid tulemusi. Struktuurse lähenemisviisi puhul on diagnoosi objektiks rike, mitte funktsioon. Testi genereerimine tähendab leida iga võimaliku rikke jaoks teda avastav testvektor või -jada.

Eelpool toodud materjalist selgus, et kõigi võimalike rikete loendamine ja testimine on praktiliselt võimatu. Küll aga osutub võimalikuks testimise ülesannet lihtsustada, viies läbi kõigepealt rikete analüüsi, et välja valida ainult need rikked, mille testimine on oluline. Oluliste rikete välja selgitamiseks on vaja teada rikete tüüpe, on vaja osata klassifitseerida rikkeid, ning on vaja tunda rikete omadusi nagu liiasust, ekvivalentsust, maskeeruvust.

Keerukuse vastu võitlemiseks võib kasutada testide genereerimisel ka kõrgtasandi rikete mudelid. Aga viimaste puhul pole alati selge, kui hästi nad esindavad reaalseid füüsikalisi defekte. Seetõttu, ehkki nad võimaldavad testide sünteesi oluliselt kiirendada, tuleb testide kvaliteedi kindlaks tegemiseks simuleerida saadud teste siiski ka madala tasandi rikete (defektide) hulgal, mistõttu testide sünteesi efektiivsus taas kahaneb.

Kõige tähtsamaks meetodiliseks võtteks võitluses keerukusega rikete käsitlemisel on nende hierarhiline modelleerimine funktsionaalse rikke mudeli abil. Nimetatud mudel võimaldab kujutada mitte üksnes ainult reaalseid defekte füüsikatasandilt loogikatasandile, vaid suvalise tasandi rikkeid järgmisele kõrgemale tasandile. Funktsionaalse rikke mudel on üldiseks aluseks hierarhilistele meetoditele nii testide sünteesil kui ka testide analüüsil.

## Kirjandus

- [Aba 89] M. Abadir et al. Logic Design Verification via Test Pattern Generation. *IEEE Trans. Comput-Aided Des. Integrated Circuits Syst.*, Vol. CAD-7, No 1, pp. 138-149.
- [Abr 86] J.A.Abraham. Fault modeling in VLSI. *VLSI testing. North Holland* 1986, pp.1-27.
- [Abr 95] M. Abramovici, M.A.Breuer, A.D.Friedman. Digital Systems Testing & Testable Designs. *Computer Science Press*, 1995, 653 p.
- [Ake 59] S.B. Akers. On a Theory of Boolean Functions. *J. SIAM*, 7 (1959) H.4.
- [Ake 78] S.B. Akers. Functional Testing with Binary Decision Diagrams. *J. of Design Automation and Fault-Tolerant Computing*, Vol.2, Oct. 1978, pp.311-331.
- [Ben 98] B. Bennetts: Failures & Fault Models, Design for Testability Course Material. *Bennetts Associates*, February 1998.
- [Boc 75] D. Bochmann. Einführung in die Strukturelle Automaten Theory. *VEB Verlag Technik Berlin*, 1975, 234 p.
- [Boc 89] D. Bochmann, R.Ubar. Fehler in Automaten. *VEB Verlag Technik Berlin*, 1989, 216 p.
- [Bry 86] Bryant R.E. Graph-based algorithms for Boolean function manipulation. *IEEE Trans. on Comp.*, 35 (8): 677-691, 1986.
- [Bus 00] M.L.Bushnell, V.D.Agrawal. Essentials of Electronic testing. *Kluwer Acad. Publishers*, 2000, 690 p.
- [Dre 98] R.Drechsler, B.Becker. Binary Decision Diagrams. *Kluwer Academic Publishers*, 1998, 200 p.

- [Gho 91] S.Ghosh, T.J.Chakraborty. On Behavior Fault Modelling for Digital Designs. Kluwer Academic Publishers. *J. of Electronic testing: Theory and Applications*, 2, 1991, pp. 135-151.
- [Gho 92] A. Ghosh et. al. Sequential Logic Testing and Verification. *Kluwer Academic Publishers*, 1992, 214 p.
- [Goo 91] A.J. van de Goor. Testing Semiconductor Memories. Theory and Practice. *J. Wiley & Sons*, 1991. 512 p.
- [Gri 99] R.P. Grimaldi. Discrete and Combinatorial Mathematics. *Addison-Wesley Longman, Inc.*, 1999.
- [Gup 85] A.K.Gupta, J.R.Armstrong. Functional Fault modelling and Simulation for VLSI Devices. *22<sup>nd</sup> Design Automation Conference*, 1985, pp.720-726.
- [Hur 98] S.L.Hurst. VLSI Testing. Digital and Mixed Analog/Digital Techniques. *The Institution of Electrical Engineers*, Exeter, 1998, 532 p.
- [Jha 90] N.K.Jha, S.Kundu. Testing and Reliable Design of CMOS Circuits. *Kluwer Academic Publishers*, 1990, 231 p.
- [Jha 03] N.Lha, S.Gupta. Testing of Digital Systems. *Cambridge University Press*, 2003, 1000 p.
- [Kun 97] W. Kunz, D.Stoffel. Reasoning in Boolean Networks. Logic Synthesis and Verification Using Testing Techniques. *Kluwer Academic Publishers*, 1997,230 p.
- [Kär 96] R. Kärger. Diagnose von Computern. *B.G. Teubner, Stuttgart*, 1996, 416 p.
- [Lal 97] P.K.Lala. Digital Circuit Testing and Testability. *Academic Press*, 1997, 199 p.
- [Lee 59] C.Y.Lee. Representation of Switching Circuits by Binary Decision Programs. *The Bell System Technical Journal*, July 1959, pp.985-999.
- [Lev98] R.Leveugle, R.Ubar. Synthesis of Decision Diagrams from Clock-Driven Multi-Process VHDL Descriptions for Test Generation. *Proc. of the 5<sup>th</sup> International Conference on Mixed Design of Integrated Circuits and Systems*. Lodz (Poland), June 18-20, 1998, pp. 353-358.
- [Min 96] Minato S. Binary Decision Diagrams and Applications for VLSI CAD. *Kluwer Academic Publishers*, 1996, 141 p.

- [Mol 04] P. Molitor, J.Mohnke. Equivalence Checking of Digital Circuits. Fundamentals, Principles, Methods. *Kluwer Academic Publishers*, 2004, 262 p.
- [Mou 00] S.Mourad, Y.Zorian. Principles of Testing Electronic Systems. *J.Wiley & Sons, Inc.*\_New York, 2000, 420 p.
- [Nic 03] N. Nicolici, B.M. Al-Hashimi. Power-Constrained Testing of VLSI Circuits. *Kluwer Academic Publishers*, 2003, 178 p.
- [Nov 05] O.Novak, E.Gramatova, R.Ubar. Handbook of Electronic Testing. CTU Printhouse, Prague, 2005, 400 p.
- [Pla 80] M.Plakk, R.Ubar. Digital Circuit Test Design using the Alternative Graph Model. Automation and Remote Control, Vol.41, No 5, part 2, Nov. 1980, *Plenum Publishing Corporation*, USA, pp. 714-722
- [Pra 95] D.K. Pradhan. Fault-Tolerant Computer System Design. *Prentice Hall PTR*, New Jersey, 1995, 550 p.
- [Rai 98] J.Raik, R.Ubar. Feasibility of Structurally Synthesized BDD Models for Test Generation. *Proc. of the IEEE European Test Workshop*, Barcelona (Spain), May 27-29, 1998, pp.145-146.
- [Sac 98] M. Sachdev. Defect Oriented Testing for CMOS Analog and Digital Circuits. *Kluwer Academic Publishers*, 1998, 308 p.
- [Sas 96] T. Sasao, M. Fujita. Representations of Discrete Functions. *Kluwer Academic Publishers*, 1996, 331 p.
- [Sel 83] A.V.Seleznjov, B.T.Dobritsa, R.R.Ubar. Projektirovanije Avt. Sistem Kontrolja Bortovovo Oborudovanija Letatel'nyh Apparatov. *Mashinostrojenije*, Moskva, 1983, 224 p.
- [She 88] L.Shen, S.Y.H.Su. A Functional Testing Method for Microprocessors. *IEEE Transactions on Computers*, Vol.37, No. 10, 1988, pp.1288-1293.
- [Tha 71] A.Thaise. Boolean Differential Calculus. *Philips Res. Repts.*, vol. 26 (1971), pp.2229-246.
- [Tha 77] S.M.Thatte, J.A.Abraham. Testing of Semiconductor Random Access Memories. *Proc. of 7<sup>th</sup> Int. Symp. on Fault-Tolerant Computing*, Los Angeles, June 1977, pp. 81-87.
- [Tha 80] S.M.Thatte, J.A.Abraham. Test Generation for Micro-processors, *IEEE Trans. On Computers*, Vol. C-29, No. 6, pp.429-441, June 1980.



- [Uba 76] R.Ubar. Test Generation for Digital Circuits with Alternative Graphs. *Proceedings of Tallinn Technical University No 409*, 1976, pp.75-81 (in Russian).
- [Uba 80] R. Ubar. *Testovaja diagnostika tsifrovõh sistem. I, II. TPI, Tallinn*, 1981, 226 p.
- [Uba 81] R.Ubar. Vektorielle Alternative Graphen und Fehlerdiagnose für digitale Systeme. *Nachrichtentechnik/Elektronik*, (31) 1981, H.1, pp.25-29.
- [Uba 83] R.Ubar. Test Generation for Digital Systems on the Vector Alternative Graph Model. *Proc. of the 13th Annual Int. Symposium on Fault Tolerant Computing*, Milano, Italy, 1983, pp.374-377.
- [Uba 96] R.Ubar. Test Synthesis with Alternative Graphs. *IEEE Design and Test of Computers*. Spring, 1996, pp.48-59.
- [Uba 98] R.Ubar. Multi-Valued Simulation of Digital Circuits with Structurally Synthesized Binary Decision Diagrams. *OPA (Overseas Publishers Assotiation) N.V. Gordon and Breach Publishers, Multiple Valued Logic*, Vol.4 pp. 141-157, 1998.
- [Uba 05] O.Novak, E.Gramatova, R.Ubar. Handbook of Electronic Testing. Czech Technical University, Prague, 2005, 400 p.

## Lühendid

ALU	- Arithmetic Logic Unit	128
BOD	- binaarne otsustusdiagramm	14
CMOS	- Complementary Metal Oxide Semiconductor	87
DMUX	- demultiplekser	128
DNK	- disjunktiivne normaalkuju	18
D&T	- disain ja test	14
ITS	- isetestiv süsteem	14
KR	- konstantriike	107
MUX	- multiplekser	128
OD	- otsustusdiagramm	14
SAF	- Stuck-at Fault (konstantne riike)	94
SAF0	- Stuck-at-0 Fault (konstantne riike 0)	85
SAF1	- Stuck-at-1 Fault (konstantne riike 1)	85
SSBOD	- struktuurselt sünteesitud binaarsed otsustusdiagrammid	39
TD	- testikõlblik disain	14
VHDL	- Very High Scaled Integrated Circuits Description Language	57
V <sub>DD</sub>	- Voltage Drain Drain	110
VSS	- Voltage for Substrate & Sources	110

# Indeks

## A

ahelreegel 26  
ajatingimus 124  
aktiveerimistingimus 111  
alternatiivsed graafid 37  
andmeallikas 121, 124  
andmesiire 124  
andmestruktuur 39  
andmete edastamise mehhanism 123  
andmete säilitamise mehhanism 122  
andmete töötlemise mehhanism 123  
andmetöötlusplokk 128  
arvutiteooria 15

## B

binaarne otsustusdiagramm (BOD) 14, 36  
    BOD tipurike 97  
    BOD topoloogiline analüüs 36  
    BOD superpositsioon 39, 41, 42  
    elementaarne BOD 42  
    struktuurselt sünteesitud (SSBOD) 39  
    testi genereerimine BOD tipule 46  
binaarne otsustusprogramm 37  
binaarne programm 39  
Boole'i  
    differentsiaal 30  
    differentsiaalalgebra 14  
    differentsiaalparaat 16  
    differentsiaalvõrrand 95, 104, 116

- funktsioon 17
- muutuja 50
- Boole'i funktsioon (BF) 17
  - disjunktiivne normaalkuju 18
  - osadifferentsiaal 30
  - täisdifferentsiaal 30
- Boole'i tuletis 17
  - ajafunktsiooni tuletis 27
  - kordne tuletis 23
  - liitfunktsiooni tuletis 25
  - osatuletis 17, 19, 86
  - osatuletise omadused 19
  - tuletis
  - vektortuletis 21

## C

- Carnaugh' kaart 22
- CMOS tehnoloogia 87, 90, 104

## D

- defekt 81
  - funktsionaalselt liiane 112
  - füüsikaline 14, 80, 108
  - katastroofiline 92
  - ühendusahelate 114
- defekti
  - aktiveerimine 108, 111
  - kirjeldamine 108
  - kujutamine 108
- defektimuutuja 115
- defektide tabel 111, 112
- defektipõhine modelleerimine 12
- defektipõhine testide genereerimine 113
- Descartes'i korrutus 49
- diagnoos 33
- diagnoosi resolutsioon 97
- diagnostika 6
  - kitsamas tähenduses 8
  - laiemas tähenduses 8
  - otseülesanne 34
  - probleemid 13

- pöördülesanne 34
- eksperiment 31
- eksperimendi mudel 35
- eksperimendi tulemus 32
- üldvõrrand 34
- diagnostiline analüüs 47, 113
- diagnostiline informatsioon 113
- differentsiaalioperaator 33
- digitaalsüsteem 13, 49
- disain 14
  - disain ja test 14
  - testikõlblik disain 14
- diskreetne matemaatika 15
- dominantsusreegel 100
- dünaamiline mälulement 110

## **E**

- ekvivalentskeem 105, 116
- ekvivalentsusklass 97
- ekvivalentsusreegel 100

## **F**

- funktsioon
  - ajafunktsioon 27
  - integreeritud funktsioon 56
  - liitfunktsioon 25
  - siirdefunktsioon 27
  - vektorfunktsioon 56, 70
  - väljundfunktsioon 27
  - üldistatud parameetiline funktsioon 105, 114, 116
- funktsiooni
  - differentsiaal 30
  - muutuja 51
  - muutumispiirkond 49
  - määramispiirkond 49
  - tuletis 16
- füüsikaliste defektide kujutamine 108

## **G**

- graaf
  - harugraaf 72

orienteeritud, tsükliteta 37, 49  
vektorgraaf 70

#### graafi

aadressipp 70  
algipp (juur) 40  
kaar (0-kaar, 1-kaar) 37  
mitteterminaalne tipp 51  
terminaalipp 37, 49  
0-terminal, 1-terminal 37  
tee, aktiveeritud tee 37  
tipp 37, 49  
tipumuutuja 37, 49  
tipu järglane (naaber) 37

### H

hierarhiline testimise kontseptsioon 118, 123  
Huffmann'i mudel 27, 55

### I

illegaalne olek 57  
invariantsus 33  
isetestimine 8

### J

JK-triger 28  
JK-trigeri Boole'i osatuletised 28  
juhtautomaat 55  
juhtumuutuja 50  
juhtsõna 127  
järjestikskeem 11

### K

kombinatsioonskeem 11  
komponentide teek 113  
komponendi lähiümbrus 114  
konkatenatsioon 56  
käskude dekodeerimine 122  
käsuformaad (käsu vorming) 50, 77, 120  
käsuformaadi väli 50  
käsusüsteemi tasand 77  
käsutsükel 77

## L

- lauseanalüüs 124
- liitfunktsioon 25
- liitfunktsiooni osatuletis 25
- liitkonstant 57
- loendur 13
- loogikatingimus (lipp) 50, 124
- lokaalne testvektor 127
- lõplik automaat 130
- läte (source) 89
- lävipinge 93, 93
- lühisriike 10, 87, 114
  - kombinatoorne lühisriike 89, 89
  - sekventsiaalne lühisriike 88, 88, 88
  - ventiilide vaheline (inter-gate short) 88
  - ventiilisisene (intra-gate short) 88

## M

- meetod
  - hierarhiline 123
  - “jaga ja valitse” 15
  - rikete defineerimise meetod 117
  - superpositsiooni meetod 39, 42, 52
- mehhanism 121
- mikrokäsk 63, 122
- mikrooperatsioon (mikrotehe) 68, 122
- mikroprogramm 68
- modelleerimine
  - defektipõhine 12, 82
  - diagnostiline 15, 117
  - hierarhiline 12
  - protseduurne 77
  - rikete modelleerimine 80, 104
- Moore'i automaat 56
- udel
  - funktsionaalne 77
  - funktsionaalne rikkemudel 83, 104, 108, 113, 116, 124
  - lõpliku automaadi mudel 130
  - mudeli “häirimine” (perturbation) 119
  - struktuurne 77
  - protseduurne 77

rikete mudel 80, 82  
must kast 39  
muutuja  
  aadressimuutuja 70  
  Boole'i muutuja (binaarmuutuja) 50  
  defektimuutuja 115  
  juhtmuutuja 50  
  käsumuutuja 75  
  liitmuutuja 56  
  seademuutuja 57  
  tipumuutuja 37, 49  
  tsüklimuutuja 77  
  täisarvuline 50  
mäludekooder 123  
mälumassiiv 122  
märgend 124  
määramatu signaal 109

## **N**

neel (drain) 89

## **O**

olekute ning siirete tabel 130  
operatsioon (tehe) 124  
operatsioonautomaat 52  
operatsioonelement 52  
operatsiooni kood 50, 77  
osaline käskude täitmine 122  
otsustusdiagramm 49

## **P**

parasiitmahtuvus 93  
pinge jagunemine 109  
protssessor 50  
puukujuline makro 98  
põhimik (substrate) 89

## **R**

registersiirete tasand 63  
registrite dekodeerimine 121  
rike 9, 82



- adresseerimise rike 120, 121
- katastroofiline 92
- katkestused 91
- katkestused transistorskeemis 110
- kombinatoorsed lühisrikked 89, 89
- kordsed rikked 11, 23, 87, 101
- loogiline 11
- lühisrike 10, 87, 114
- lühised transistorskeemides 89, 109
- mitmekordsed rikked 11, 23, 87
- mittetestitav 94
- liiane 94
- permanentne (püsiv) 85
- sekventsiaalsed lühisrikked 88, 88, 88
- signaalitee viiterike 93
- struktuursed rikked 45, 83
- takistuslikud lühisrikked 92
- testitav rike 94
- ventiili viiterike 93
- viiterikked 92

rikete

- avastamine 99
- defineerimise meetod 117
- diagnoos 35
- dominantsus 99
- ekvivalentsus 97
- eristatavus 97
- funktsionaalne ekvivalentsus 97
- hierarhiline esitus 117
- kollaps 97, 100
- kollapsi reeglid 100
- kollapsi üldreegel 101
- liiasus 94
- lokaliseerimine 8
- maskeerumine 22, 101
- modelleerimine 80, 104
- nimistu 119
- omadused 94
- ringmaskeeruvus 103
- simulaator 9
- simuleerimine 35

- sõnastik 9
- tõenäosus 12
- vektor 35
- rikke mudel
  - ajutise (*transient*) rikke mudel 85
  - funktsionaalne rikke mudel 83, 104, 108, 113, 116, 124, 124
  - kaudne rikke mudel 83, 120
  - konstantse rikke mudel 80, 85, 94, 132
  - kõrgtasandi rikkemudelid 119
  - kõrgtasandi rikkemudel otsustusdiagrammidel 126
  - mikroprotsessori funktsionaalne rikete mudel 120, 131
  - mäluseadmete rikete mudelid 122
  - otsene rikke mudel 83, 120
  - otsustusdiagrammi tipurikke mudel 132
  - registersiirete rikkemudel 124, 128
  - rikkemudelite vastavus 128
  - universaalne rikkemudel 126
  - universaalse rikkemudeli definitsioon 127
  - üksiku konstantse rikke mudel 85

## S

- signaalitee 44, 97, 98
- sihtregister 124
- siirdeadress 127
- simuleerimine
  - rikete simuleerimine 35
  - sümbolsimuleerimine 49, 57, 72
  - sümbolsimuleerimise puu 51
  - tüklipõhine simuleerimine 63
- sisetakistus 109
- skeem
  - järjestikskeem 11, 27
  - kombinatsioonskeem 11
  - liiane 94
  - loogikaskeem 12
  - makro 41, 44
  - puukujuline alamskeem 41, 44, 98
  - transistorskeem 12, 108, 108
- summaator 10
  - järjestikülekandega 11
- superpositsioon 26

sümbol  $D$  30  
sümboolne manipuleerimine 43  
sümbolsimuleerimine 49, 57, 72  
sümbolsimuleerimise puu 51  
sümbolväärtus 72  
süsteemi  
    protseduurne mudel 49  
    analüüs 12  
    usaldusväarsus 10  
    modelleerimine 12  
    registersiirete tasand 63  
    sümbolsimuleerimine 49  
    tööviis (töörežiim) 50  
    ventiiltasand 39

## T

tehe (operatsioon) 124  
tehniline diagnostika 6, 8  
tehniline süsteem 8  
tehnoloogia 122, 128  
tehnoloogiline realisatsioon 131  
test 8, 9, 14  
    testi kvaliteet 9, 10, 80, 107  
    testide analüüs 9  
    testide generaator 9  
    testide genereerimine 35, 45  
    testide süntees 9  
    täielik rikkeid lokaliseeriv test 97  
    täielik test 103  
testeksperiment 8  
tester 8  
testimine 8, 10, 14  
    funktsionaalne testimine 11  
    on-line testimine 8  
    riketepõhine testimine 11  
    struktuurne testimine 11  
    testimisaeg 11  
    testimise keerukus 11  
    testimise risk 9  
    testimise tööriistad 8  
testjada 94, 116

testprogramm 123  
testvektor 8  
tipuavaldis 127  
transparentsus 66  
töörezhiim (tööviis) 127

## U

ubikvism 6  
universaalne liides 104

## V

viga 81, 121  
    käitumisviga 122  
    veasignaali 22, 112  
    vigade maskeerumine 22  
vektorotsustusdiagramm 56  
ventiilide meri 13  
ventiiltasand 39  
VHDL kirjeldus 57  
VHDL protsess 57

## Ü

üldistatud parameetiline funktsioon 105, 114, 116